

at the University
Library in the year
of 1871

Library
no. 100

Cours de Géométrie descriptive .



Deuxième section .

Compléments de Géométrie pure .

M. Haag, Ingénieur des Ponts et Chaussées, chargé du Cours.

Bordeaux, 1870-1871.

Table des matières

Observations générales sur l'ensemble du cours

Diages

1. 2

Introduction: Des méthodes en géométrie

3. 8

1° Méthode analytique ou des coordonnées.

2° Méthode synthétique

a. Méthode de transformation:

transformation projective,

transformation par rayons optiques réciproques,

transformation par potences réciproques,

b. Méthodes mécaniques

c. Interprétation en figures planes par la Géométrie à trois dimensions

3° Méthode de la Géométrie expérimentale ou des fascicules et des arcs

4° Méthode des limites ou Méthode infinitésimale.

Donc moyen pour la détermination des quantités définies comme limites,
par le biais des propriétés de continuité,

sur la recherche des maxima et des minima.

Notions complémentaires sur les courbes planes et gauches

1°. Courbes planes

4. 15.

Courbes unicursales - Angle de contingence

Cercle au contact de deux courbes. Courbes osculatrices

Tangente.

Courbure - Cercle osculateur

Dérivée, normale, tangente osculatrice

Courbes singulières, leur définition et leur paramétrisation

Enveloppes et involutions

Dérivées secondes et torsions

Relation de la courbure aux points singuliers.

Courbes de courbure successives - Relation entre le centre du cercle
, centre et la dérivée.

2°. Courbes sphériques

50. 26.

Relation aux courbes sphériques via propriétés projectives des
courbes planes.

Courbes gauches

Appendice

Pages
1

Note I. Sur la transformation des figures par rayons vecteurs réciproques

Conservation des angles.

Créations géométriques.

Note II. Sur les méthodes mécaniques.

Méthode de Poncelet pour le tracé de tangentes, cycloïde, sections coniques

Extension de cette méthode à la détermination des tangentes : Parabole, cycloïde

Application de la théorie des centres de gravité à la Géométrie.

Note III. Sur l'interprétation des figures planes par la Géométrie à trois dimensions.

Exemples divers.

Figures planes considérées comme cas limites.

Note IV. Exposé succinct des théories fondamentales de la Géométrie supérieure

A. Préliminaires.

Distinction sur les figures. Géométrie supérieure ; identité d'origine entre les points

Considération sur les imaginaires

B. Théorie du rapport anharmonique.

Définition du rapport anharmonique : points, faisceaux de droites, faisceaux de plans

Théorèmes fondamentaux.

Construction de 4^e point d'un système dont les 3 premiers et le rapport anharmonique sont connus

Relation entre les rapports anharmoniques d'un même système de points ou de droites

Diverses formes du rapport anharmonique.

Formules relatives à deux systèmes de quatre points ou deux faisceaux de quatre droites ayant même rapport anharmonique.

C. Théorie du rapport harmonique.

Rapport harmonique de quatre points : diverses expressions de ce rapport.

Rapport harmonique de quatre droites : diverses expressions de ce rapport.

D. Théorie de l'homographie.

Définition d'un homographique : faisceaux homographiques.

Propriétés principales de l'homographie.

Expressions diverses de l'homographie.

E. Droites homographiques sur une même droite : points doubles

c. Faisceaux homographiques ayant même sommet : rayons doubles

F. Théorie de l'involution.

a. Involution de six points.

Définition et expressions diverses de l'involution de six points.

Théorème sur les involutions formées par quatre couples de points en ligne droite.

Points doubles

Point central de construction.

a'. Droites homographiques en involution.

Représentation entre les points homologues.

a". Involution de six droites.

Définition et expressions de l'involution de six droites

Rayons doubles.

Théorème sur les angles droits et sur les angles ayant même bissectrice.

a''' Faisceaux homographiques en involution.

Représentation entre les rayons homologues.

Existence d'un couple rectangulaire.
Application de la théorie de l'involutions à la construction des points doubles de deux droites homographiques situées sur un même axe.

B. Applications.

Triangle et quadrilatère.
Sections coniques.

Figures homographiques et homologiques.

Formule de Géométrie synthétique : application à la détermination de deux formules d'analyse.

Note V. Sur l'emploi de la méthode des limites dans les problèmes de Géométrie.

44

Exemples de tangentes et de quadratures.

Recherches de maxima et minima géométriques par la méthode infinitésimale. — Courbe de Bernat.

Problème de polyèdres à périmètre maximum ou minimum inscrits ou circonscrits à un arc de cercle.

Note VI. Sur l'étude des courbes planes au point de vue de la détermination de leurs éléments caractéristiques

48

A. Caustiques.

Définition. Formule générale des caustiques. Construction géométrique : centre de jonction. Caustiques nommées.

Relation entre les rayons de courbure des caustiques réciproques.

B. Roulettes.

Théorème fondamental sur le déplacement.

Enveloppe d'un point mobile. Tangente, courbure, construction de Savary.

Enveloppe d'une courbe mobile : points de l'orbologie, courbures.

b. Application sur quelques propriétés remarquables du mouvement d'une figure plane.

Principe de la méthode des équipollences — application au problème des roulettes.

Existence des centres instantanés de divers axes : centres principaux, triangles caractéristiques.

Relations entre la vitesse et les accélérations d'un point et les éléments caractéristiques de sa trajectoire. — Axes géométriques.

Relations nouvelles qui facilitent la détermination des centres instantanés.

1°. Relations entre les différents centres d'un même mouvement géométrique.

2°. Relations entre les centres principaux de divers mouvements liés entre eux d'une façon remarquable.

C. Conchoïdes.

D. Podaires.

E. Deux théorèmes sur les sous-normales.

F. Déformation locale.

G. Applications.

I. Enveloppe d'une droite connaissant les vitesses de deux points constamment situés sur cette droite.

II. Détermination du centre de la conique caustique en un point d'une courbe donnée.

III. Détermination de la tangente de la courbure et du diamètre dans quelques courbes remarquables :

a. Sections coniques.

b. Conchoïdes.

c. Triangles, cycloïde, développante de cercle.

d. Tangente d'un point relativement à un cercle : ovales de Bernat.

e. Choroïde.

f. Centre d'inflexion de la vis à filet triangulaire.

Note VII. Sur les séries et les résaux de courbes planes.

109

Généralités. Réseaux orthogonaux. Théorèmes de Lamé et de Lamour.

Courbes homofocales du second degré : ovales homofocaux ; Cassinoides et hyperboles équilatères.

Note VIII. Sur la rectification des courbes planes.

123

A. Rectification des caustiques : Application aux sections coniques. Théorèmes de Charles et de Pascal.

B. Rectification des roulettes : Application aux sections coniques. Théorème de Landen.

Ecole polytechnique.

Cours de Géométrie descriptive.

Deuxième section

Complément de Géométrie pure.

M. H. H. H., Ingénieur des Ponts et Chaussées,
Chargé du Cours.

Bordeaux, le 11 janvier 1871.

Observations générales
L'ensemble du cours

Le cours de Géométrie se divise naturellement en deux parties⁽¹⁾.
Dans la première, on expose les différentes méthodes employées pour la
représentation graphique des figures de l'espace.

Dans la seconde, qui fait l'objet de ces leçons, on étudie les lignes
et les surfaces d'une façon abstraite, et indépendamment de mode.

⁽¹⁾ Cette division qui se trouve indiquée dans le cours proprement dit, a été
donnée avant à l'Ecole s'accroissant sans cesse de plus en plus les méthodes géométriques
ont fait à peu près l'immense majorité de la géométrie descriptive un enseignement tel que celui
à l'Ecole polytechnique ne saurait rester étranger; et l'on voit naturellement, ainsi à
diverses époques, les belles théories de la géométrie métrique ou figurée
actuellement à l'état séparé dans les cours de Mécanique de l'Ecole et de l'École.

de réinterprétation opérée.

Cette double tâche forme un complément aux "Vues" énoncées de Gienichius pure.

On aperçoit rapide sur les méthodes géométriques qu'on va à l'interprétation. On expose ensuite dans les deux énoncés suivants, les propriétés générales les plus importantes des courbes planes, les conduit à double courbe et à double courbe en trois, et quelques-unes sera précisée le rôle de l'interprétation notamment liée à elle les autres courbes. Elle sera suivie par l'exposé des propriétés spéciales aux différentes espèces de surfaces et notamment aux surfaces coniques et à révolution. Enfin, et surtout, on s'occupera principalement du paraboloïde, de l'hyperboloïde à une nappes et des tétraèdres. Parmi les surfaces de révolution, le tore sera plus particulièrement étudié.

Après ce ne pas énoncer le cours, un des développements sont la longueur, pourrait faire paraître de que la suite générale des idées, qu'on aussi se s'occupe le même principe du programme actuellement suivi, on se réfère à un appendice toutes les matières sont la présente dans le texte et dans pas indispensable. Cette disposition a permis l'exposé avec plus de détails dans des notes spéciales relatives théories géométriques ou il semblait utile de signaler à l'attention des élèves.

Introduction.

Des méthodes en géométrie.

La géométrie élémentaire consiste dans un certain nombre de propositions fondamentales concernant la ligne droite, le plan, le cercle & la sphère, qui nous ont été léguées par les géomètres de l'antiquité & qui servent de base à toute la science des figures.

C'est en partant de ces notions primordiales & en s'élevant de proche en proche à des notions plus complexes, en rattachant des théorèmes isolés à d'autres théorèmes isolés, que pendant longtemps s'est développée la géométrie. Mais à mesure que l'esprit généralisateur dû à l'algèbre se regardait dans la science, on a cherché à substituer à cette marche lente & incertaine des procédés nouveaux pouvant fournir la solution des problèmes d'une façon plus régulière & plus assurée. De là les méthodes de la géométrie moderne. On se bornera à indiquer ici les principales en essayant d'en expliquer le caractère.

1^o Méthode analytique ou des coordonnées.

En première ligne se placent les procédés analytiques consistant à ramener directement les problèmes de géométrie à des questions d'algèbre par l'emploi des coordonnées. Que soit l'ancien & le système des coordonnées rectangulaires, l'effet de toutes ces méthodes est de substituer aux quantités géométriques données qui existent dans les relations, tant par leur situation que par leur grandeur d'autres quantités, géométriques ou non, mais toutes de même espèce, facilement comparables entre elles & qu'on puisse considérer, sans tenir compte de leur caractère géométrique, comme des grandeurs algébriques ou abstraites. C'est dans cette substitution que consiste le lien ou

équation des inclinaisons, & malgré la complication que cette mise en équation introduit la plupart du temps dans les relations la possibilité d'appliquer ensuite aux questions les plus diverses les procédés uniformes du calcul algébrique rend cette méthode des coordonnées extrêmement féconde. C'est celle qu'est sortie la géométrie analytique toute entière.

2^e Méthodes intuitives.

On peut réunir dans un second groupe un certain nombre de méthodes consistant dans l'emploi de principes intuitifs dont la portée souvent inattendue peut être prévue quelquefois d'après la nature même des problèmes aux quels ils sont appliqués.

a, Méthodes de transformation

Dans ce groupe il faut citer en premier lieu les méthodes de transformation. Leur principe consiste à reconnaître dans un mode de transformation donné, quelles sont les propriétés métriques ou graphiques qui subsistent. Ces propriétés une fois établies permettent dans une certaine mesure de ramener l'étude d'une figure compliquée à celle d'une figure plus simple.

Nous mentionnerons :

1^{re} La transformation par perspective (cylindrique ou conique), applicable aux figures planes seulement : à un point correspond un point, à une droite une droite, par conséquent le degré & la classe des courbes se conservent : les courbes tangentes entre elles restent tangentes, etc. — Cette méthode est spécialement applicable à l'étude des sections coniques qui peuvent toutes être considérées comme les projections d'un cercle.

2^e La transformation par rayons vecteurs réciproques :

Étant pris un pôle de transformation o , on construit le point m correspondant à un point m' en prenant sur le rayon Om une longueur om ou on aura d'après la définition donnée plus loin de l'ordre au contact de deux courbes que cet ordre n'est pas changé toutes les fois que dans un mode de transformation à un point donné correspondent un autre point & un droit.

telle que $om \times om'$ soit égal à une constante arbitraire R^2 : à un point correspond un point; à une droite α à un plan, un cercle & une sphère passant par le pôle: à un cercle ou une sphère en général un cercle & une sphère: le caractère le plus important de ce mode de transformation c'est que les angles feniés sous les quels deux courbes se coupent, se conservent. (Voir à ce sujet la note 1 & l'appendice.)

3^e La transformation par polaires réciproques: étant choisie une section conique dans un plan ou une surface du second degré dans l'espace, on prend par rapport à cette courbe ou à cette surface la droite polaire ou le plan polaire de chaque point de la première figure. Ainsi donc, dans le premier cas, à un point correspondra une droite & réciproquement; à des points en ligne droite correspondront des droites passant par un même point: Dans le second, à un point correspondra un plan, à une droite une droite, à des points en ligne droite des plans formant un faisceau, à des droites situées dans un même plan, d'autres droites passant par un même point: à une courbe, une courbe, aux points de l'une les plans tangents à l'autre; le degré d'une courbe ou transformation plane sera d'ailleurs égal à la classe de la transformée. Les lignes du second degré étant aussi de la seconde classe resteront donc du second degré.

Méthodes
canoniques

Après ces méthodes de transformation viennent Les Méthodes mécaniques: sousent par des considérations mécaniques on arrive à un résultat qui ne concerne ni le temps ni des fonctions (vitesse, accélération, etc) & qu'il eût été difficile d'obtenir sans l'emploi de ces quantités auxiliaires. Nous citons une foule de théorèmes de géométrie démontrés par la cinématique. La méthode de Proberval pour le tracé des tangentes. une méthode analogue pour la détermination des rayons de courbure (voir note 16: 3 et note 1, page 10)

6.

A. Interprétation
des figures planes

par la Géométrie à

3 dimensions.

3° Méthodes de la

Géométrie supérieure

ou des faisceaux métriques

4 des séries

ra dans un troisième groupe.

Les géomètres anciens, par la démonstration des propriétés fondamentales de la droite, du plan, du cercle & de la sphère avaient créé, comme on l'a dit en commençant, la base de toute géométrie, parce que la droite, le plan, le cercle & la sphère sont des éléments qui s'introduisent naturellement dans toute question géométrique. Pour une raison analogue, en étudiant d'une façon complète les séries de points en ligne droite, les faisceaux de droites & les faisceaux de plans, on est arrivé à des propriétés d'une application générale qui peuvent servir à leur tour à la démonstration des théorèmes. Ces propriétés constituent les théories du Rapport anharmonique de l'homographie & de l'Involution, sur les quelles on trouvera dans la note N° 4 quelques indications sommaires.

4° Méthode des

limites ou Méthode

infinitésimale

des limites dont il sera fait dans la suite de ces leçons un usage des plus fréquents.

Cette méthode a été employée dans les cours préparatoires à l'école, soit pour définir une position (limite, limite de sécante) soit pour déterminer une grandeur (rapport de la circonférence au diamètre).

Elle s'impose naturellement à l'esprit par la définition même de certains éléments métriques ou graphiques

Enfin il faut encore classer parmi les méthodes indirectes un procédé de démonstration qui donne souvent des solutions

matérielles & extrêmement simples & qui consiste dans l'interprétation des figures planes par la géométrie à trois dimensions, on en trouvera quelques exemples dans la note N° 3.

Une marche différente & plus conforme à l'esprit vraiment géométrique a conduit aux méthodes de la géométrie supérieure qu'on range

ra dans un troisième groupe.

Les géomètres anciens, par la démonstration des propriétés fondamentales de la droite, du plan, du cercle & de la sphère avaient créé, comme on l'a dit en commençant, la base de toute géométrie, parce que la droite, le plan, le cercle & la sphère sont des éléments qui s'introduisent naturellement dans toute question géométrique. Pour une raison analogue, en étudiant d'une façon complète les séries de points en ligne droite, les faisceaux de droites & les faisceaux de plans, on est arrivé à des propriétés d'une application générale qui peuvent servir à leur tour à la démonstration des théorèmes. Ces propriétés constituent les théories du Rapport anharmonique de l'homographie & de l'Involution, sur les quelles on trouvera dans la note N° 4 quelques indications sommaires.

Comme dernière méthode générale, on indiquera la méthode des limites dont il sera fait dans la suite de ces leçons un usage des plus fréquents.

Cette méthode a été employée dans les cours préparatoires à l'école, soit pour définir une position (limite, limite de sécante) soit pour déterminer une grandeur (rapport de la circonférence au diamètre).

Elle s'impose naturellement à l'esprit par la définition même de certains éléments métriques ou graphiques

7
tels que la tangente, ⁽¹⁾ la longueur d'un arc et l'aire d'une courbe, le plan tangent, l'aire et le volume d'une surface, etc. Et l'on peut dire en résumé que son emploi plus ou moins apparent est indispensable :

1° Toutes les fois qu'on se propose de déterminer l'un des éléments ci-dessus mentionnés et qui par définition même sont des limites

2° Toutes les fois qu'on étudie sur les courbes ou les surfaces des propriétés de continuité, c'est-à-dire indépendantes de la nature particulière de la courbe ou de la surface et dues simplement à la solidarité qui existe nécessairement entre leurs éléments consécutifs

En outre cette méthode pourra être utilement employée dans une foule de cas où elle n'est pas absolument nécessaire. Nous citerons la recherche des maxima et minima et plusieurs autres applications dont on trouvera dans la note 5 quelques exemples.

La méthode des limites consiste à substituer une figure et plus généralement une grandeur géométrique ou autre que l'on considère d'autres figures et d'autres grandeurs variables, plus faciles à étudier et dont les premières seront les limites.

C'est ainsi qu'on pourra remplacer une courbe par un polygone inscrit dans cette courbe et dont les côtés très petits, vont en décroissant indéfiniment. une tangente par une sécante dont deux points d'intersection avec la courbe se rapprochent de plus en plus, etc. pourvu que les relations qu'on établit se conservent lorsqu'on déforme la seconde figure pour revenir à la première.

C'est sur ce point délicat, et qui doit être soigneusement vérifié sous peine d'arriver aux résultats les plus inouïs, que doit se porter toute l'attention

(1) Les géomètres anciens avaient essayé de définir la tangente sans recourir aux considérations infinitésimales. Selon eux, la tangente est une droite, n'ayant qu'un point commun avec la courbe et laissant à un même côté tous les points de celle-ci. Il est aisé de voir combien cette définition est incomplète.

Sans le cours d'analyse, qui n'est qu'une application à l'algèbre de la Géométrie analytique de la méthode infinitésimale, on donne des règles précises pour faciliter la vérification dont nous venons de parler, mais les questions de géométrie proprement dite se prêtent difficilement à l'établissement de règles aussi générales, et chaque cas, chaque figure exige d'ordinaire une étude spéciale.

Afin de ne pas développer autre mesure, la longueur des démonstrations, on sera fréquemment obligé de glisser sur ces vérifications, qui d'ailleurs trop souvent répétées devenaient fastidieuses. Les élèves y suppléeront facilement et si ce travail, exige de leur part un peu d'attention, il ne présentera jamais de sérieuses difficultés et contribuera très utilement à les familiariser avec une méthode dont ils apprécieront bientôt les puissances et les ressources.

On emploiera, comme dans le cours d'analyse la dénomination d'infinitement petits ou infinitésimaux pour désigner des grandeurs variables et tendant vers la limite 0. Ainsi le rapport de deux lignes infinitement petites sera le rapport de deux lignes variables tendant chacune vers 0; un polygone infinitésimal sera un polygone dont les côtés de plus en plus petits tendent à devenir nuls, & dont la limite sera par conséquent une courbe. Enfin les infinitement petits pourront être distingués en divers ordres comme on le fait en analyse, par comparaison avec un infinitement petit principal. (1)

(1) La dénomination d'infinitement grand dont on fait moins fréquemment usage devrait désigner de même une quantité variable tendant vers l'infini.

(2) Les infinitement petits peuvent conduire à des relations entre quantités finies, soit qu'on considère leur somme ou nombre d'infinitement grand, soit qu'on prenne le rapport de deux quantités infinitement petites à même ordre. C'est principalement à ce dernier point de vue qu'on aura à les employer dans la suite de ces leçons.

Notions Complémentaires sur les courbes planes & gauches

1° Courbes planes

Une courbe plane étant donnée inscrivons dans cette courbe un polygone infinitésimal dont les cotés aient tous même longueur. Nous appellerons *points consécutifs* de la courbe, les sommets successifs de ce polygone : l'angle de deux cotés consécutifs sera dit *angle de contingence*.

Points consécutifs, angle de contingence, courbe un polygone infinitésimal dont les cotés aient tous même longueur. Nous appellerons *points consécutifs* de la courbe, les sommets successifs de ce polygone : l'angle de deux cotés consécutifs sera dit *angle de contingence*.

Ordre de contact de deux courbes. Deux courbes sont dites avoir entre elles un *Contact d'ordre* n si elles ont $n + 1$ points consécutifs communs.

Deux courbes qui n'ont qu'un point commun sont séparées entre elles.

Courbes osculatrices

Une courbe peut être caractérisée algébriquement par le nombre de paramètres que son équation comporte et géométriquement par le nombre de points par lesquels on peut la faire passer : On a démontré en géométrie analytique, que ces deux caractères n'en fontient qu'un.

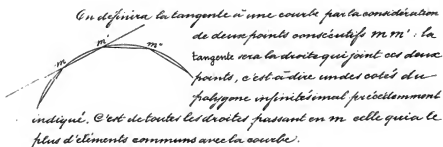
En se plaçant à ce point de vue on dira qu'une courbe est *osculatrice* à une courbe donnée en l'un de ses points lorsqu'elle a en ce point avec la courbe donnée le contact le plus intime compatible avec sa définition. On voit donc que si la première courbe peut passer par n points, pour qu'elle soit osculatrice à la seconde, il faudra qu'elle ait avec celle-ci un contact d'ordre $n - 1$.

Et par cette définition, les deux courbes dans l'osculation ne jouent pas le même rôle, et il serait inexact de dire que si la première est osculatrice à la seconde, la seconde soit réciproquement osculatrice à la première. Ainsi on cercle étant osculatoire à une conique, la conique n'est pas en

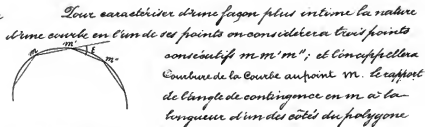
Cours du No 1111. 5^e édition (G. Darboux).

général osculatrice au cercle : la première condition en effet n'existe qu'en contact du second ordre, la seconde en troisième ou du quatrième.

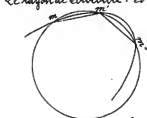
Tangente



Courbure ; Cercle osculateur



Le rayon de courbure : est l'inverse de la courbure : sa valeur sera

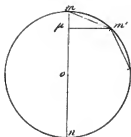
$$\rho = \lim_{\epsilon \rightarrow 0} \frac{m m'}{\epsilon}$$


Soit un cercle passant par les trois points m, m', m'' . Ce cercle a pour rayon le rayon de courbure, c'est le cercle osculateur. Trois points définissant un

cercle, on voit que le cercle osculateur est de tous les cercles passant au point m celui qui a en ce point le contact d'ordre le plus élevé avec la courbe. La dénomination de cercle osculateur se trouve ainsi justifiée.

Le cercle osculateur a son centre sur la normale. Il traverse la courbe.

Il existe une autre expression du rayon de courbure qui sera fréquemment employée et qu'il importe d'indiquer



ici : Soit MN la normale en M , N étant par son second point d'intersection avec le cercle osculateur. Si $m'\mu'$ est la perpendiculaire abaissée de m' sur MN , on a d'après la géométrie élémentaire

$$\overline{m\mu} \times \overline{\mu\nu} = \overline{m'\mu'}^2$$

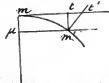
on déduit facilement $\rho = \lim. \frac{\overline{m\mu}^2}{2}$
 ou simplement $\rho = \frac{\overline{m'\mu'}^2}{\overline{m\mu}} \quad (1)$

en convenant que $m\mu$, $m'\mu'$ sont des quantités infinitésimales

(1) Cette formule n'est pas seulement utile par l'expression qu'elle fournit du rayon de courbure ; elle permet encore de calculer la quantité dont la courbe aux environs du point m s'écarte de sa tangente. Ainsi à un déplacement mm' sur la courbe correspond un écart qui mesuré parallèlement à la normale en m est égal à $m'\epsilon$ ou $m\mu$. On a donc pour

la valeur de cet écart

$$\epsilon = m\mu = \frac{\overline{m'\mu'}^2}{2\rho} \quad \text{ou} \quad \frac{\overline{m'm'}^2}{2\rho}$$



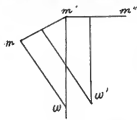
finique mm' et $m'\mu'$ ne diffèrent que de quantités négligeables

On voit que si mm' est du premier ordre de petitesse l'écart ϵ sera du second, toutes les fois que le rayon de courbure aura une valeur finie. Et il en serait encore de même si l'on mesurait l'écart suivant une oblique pourvu que cette oblique fasse avec la normale un angle différent de 90° .



On voit encore d'après la relation $\epsilon = \frac{\overline{m'\mu'}^2}{2\rho}$ que si deux courbes C, C' , ont en m même rayon de courbure la

Enfin on peut encore regarder le centre de courbure, comme l'intersection de deux normales consécutives (2). Il



géométrie infinitésimale

suffit de faire voir que le point d'intersection w des deux normales a même position limite que le point d'intersection w' des perpendiculaires élevées sur $m'm'$, $m'm''$ en leurs milieux. On y arrivera facilement par des considérations de

Direction, diamètre

parabole osculatrice

Soit menée par le point m une parallèle à $m'm''$, elle rencontre la courbe en un point dont la distance à m'' peut être négligée à côté des quantités que l'on conservera dans les relations suivantes.



On sera donc autorisé à considérer ces deux points comme confondus en un seul.

Cela posé en joignant les milieux i de $m'm''$, $m'm'''$ on obtiendra une droite dont la direction jointe aux éléments précédemment définis pourra servir à caractériser

Suite (1) quantité $\overline{m'm'}$ dont elles s'écartent l'une de l'autre suivant une direction quelconque est au moins du 3^{ème} ordre de petitesse pourvu que la direction choisie diffère de celle de la tangente.

Ces considérations montrent comment on peut revenir de la définition géométrique donnée plus haut, pour l'arc de contact de deux courbes à la définition analytique telle qu'on la trouve par exemple dans le cours de calcul différentiel et intégral de M^r Serret (tome 1 page 317 et suivantes).

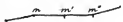
(2) Les normales consécutives sont les perpendiculaires aux côtés du polygone infinitésimal menés, sur les points consécutifs.

osculatrice à la courbe en m . Elle a once point même tangente, même ouverture et même diamètre que la courbe. Une parabole étant déterminée par quatre points, on voit que la parabole osculatrice est l'une de toutes les paraboles passant en m , celle qui a once point le contact le plus entier avec la courbe. (1)

L'étude que l'on veut de faire des courbes planes, en déterminant en chacun de leurs points des éléments caractéristiques tels que la tangente, la courbure, le diamètre, et en comparant ces courbes à des courbes connues, pourrait être évidemment poussée plus loin : En pouvant par exemple en passant au système cinq points consécutifs considérés en un point d'une courbe la conique osculatrice, et le centre de cette conique, qui serait d'ailleurs un point du diamètre, joignant joint aux éléments précédents servir à caractériser la manière dont en un point donné la dérivation varie. Mais on n'insistera pas d'avantage sur ces considérations et l'on se bornera pour terminer ce qui doit être dit des courbes planes à rappeler ici la définition de leurs points singuliers, et à donner quelques notions sommaires sur la théorie des enveloppes et sur celle des développés.

Points singuliers,
et points remarquables -

On dit qu'un point d'une courbe plane est un point remarquable lorsque les points consécutifs situés dans son voisinage présentent l'une des dispositions particulières suivantes :



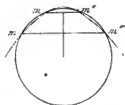
1° Trois points consécutifs en ligne droite : le point est dit point d'inflexion, l'angle de contingence change de

(1) Et qu'en général deux paraboles passant par quatre points, et n'y en ayant qu'une de ces quatre points forment un trapèze, parce qu'alors la seconde solution est donnée par le système des deux cercles parallèles du trapèze.

(2) On trouve dans le note 6 de l'appendice plusieurs exemples de la détermination du rayon de courbure et du diamètre dans les courbes planes.

donnée en passant par O : le rayon de courbure est infini ; la tangente a un contact du second ordre avec la courbe et la bissecte.

2°. Quatre points consécutifs sur un cercle : le point est dit *banal*. La variation de l'angle de contingence est nulle



et angle passe par un maximum ou minimum relatif, et il n'est le même du rayon de courbure $\rho = \frac{mm'}{\varepsilon}$, puisque mm' est constant.

La variation est nulle aux sommets : le cercle osculateur n'y traverse pas la courbe avec laquelle il a un contact du troisième ordre.

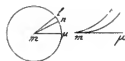
On appelle plus spécialement points singuliers les points de rebroussement, les points anguleux, les points d'arrêt, les points isolés et les points multiples.



Découpons un cercle en n et en m avec un rayon égal au côté du polygone infinitésimal inscrit dans la courbe : ce cercle passe par les deux points l et n infiniment voisins de m , et si le point m n'est pas un point singulier, l'arc lm diffère infiniment peu d'une demi-circumference (1).

Si cet arc tend vers 0, le point est dit de rebroussement.

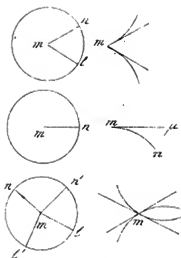
Si les deux arcs mn , ml tendent vers leur limite commune mp on obtient alors de part et d'autre de cette limite, le rebroussement est dit de première espèce : il est de seconde espèce dans le cas contraire.



Le rayon de courbure changeant de signe aux rebroussements de première espèce, sa valeur doit y être en général ou nulle ou infinie, il n'en est pas de même aux rebroussements de seconde espèce et l'étude des enveloppes nous en explique cette différence.

L'arc lm a pour limite une valeur quelconque différente de 0 et de π , le point est dit point anguleux ou

(1) Cette différence qui est en général du second ordre de ml est du premier souvent au moins du troisième ordre pour les points d'inflexion.



point saillant, il y a en ce point deux tangentes distinctes.

Si le point n n'existe pas et que le cercle ne coupe la courbe qu'en un seul point, on a un point d'arrêt.

Si le cercle ne rencontre la courbe en aucun point le point m est un point isolé.

Enfin si le cercle coupe le polygone infiniésimal en plus de deux points, le point est un point multiple. (1)

Soyez. Centres.
& axes diamétrales.
Axes.

On appelle foyers d'une courbe plane les points d'intersection de deux tangentes qui passent par les deux points imaginaires à l'infini de la courbe et de la n^{e} classe, elle aura donc n foyers réels, n foyers imaginaires.

On appelle centre d'une courbe un point tel que tous les points de la courbe soient relativement à ce point, deux à deux symétriques : une courbe ne peut avoir plus d'un centre : toute branche de courbe qui passe par un centre y a un point d'inflexion.

On a vu que le diamètre d'une courbe plane en l'un de ses points est la tangente à la courbe diamétrale qui passe en ce point. Cette courbe diamétrale, lorsque elle se réduit à une simple droite est souvent désignée elle-même sous le nom de diamètre : nous l'appellerons droite diamétrale pour éviter toute confusion.

Une droite diamétrale perpendiculaire à des cordes conjuguées est une axe des points d'intersection avec la courbe sont des sommets.

Si une courbe n'admet que deux droites diamétrales, ces droites sont conjuguées et leur point d'intersection est centre de la courbe.

Si une courbe admet plus de deux droites diamétrales, ces droites passent toutes par un même point et s'attachent en autant égale dans une certaine conique qui a son centre en ce point (Wangzel) (2)

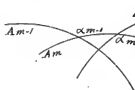
Les théorèmes suivants sont connus que s'achève, sur les diamètres harmoniques sont énoncés dans la note 9 de l'Appendice.

(1) Les points d'intersection sont autres toujours en nombre pair si la courbe est algébrique, et il y a autant de tangentes qu'il y a de couples de points, c. à d. de branches de courbe, les points anguleux et les points d'arrêt ne se produisant que dans le cas d'un cuspide, cuspide simple.

(2) Dans le cas où elle est une ellipse, les diamètres sont les rayons d'un polygone semi-régulier, inscrite d'un polygone régulier de cercle. (Carnot, Géom. St. les diamètres sont en nombre pair, ils se coupent deux à deux, et leur point d'intersection est centre de la courbe.

Enveloppes &
enveloppées.

Soit une courbe fixe ⁽¹⁾ se déplaçant dans son plan et $A, A_1, \dots, A_{m-1}, A_m, A_{m+1}, \dots$ des positions successives appelées d_{m-1} et d_m des points d'intersection de A_m avec A_{m+1} : parmi les points où A_{m-1} coupe A_m , il doit y en avoir un infiniment voisin de d_m .



Car si l'on donne à A_{m-1} & A_m la déformation, les déplacements infiniment petits qui les amènent en A_m & A_{m+1} , il y aura un de leurs points d'intersection qui viendra en d_m & cela par un déplacement infiniment petit en général.

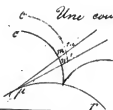
On aura ainsi sur la série des courbes $A, A_1, \dots, A_{m-1}, A_m, A_{m+1}$ une série de points d'intersection $d, d_1, \dots, d_{m-1}, d_m$ infiniment voisins les uns des autres & dont l'ensemble formera une courbe B qui est dite l'enveloppe des courbes A .

Réciproquement les courbes A sont les enveloppées de la courbe B .

On voit que toutes les enveloppées sont tangentes à leur enveloppe.

Les enveloppées peuvent d'ailleurs toucher leur enveloppe en plusieurs points à la fois. L'enveloppe peut aussi se composer de plusieurs courbes géométriquement distinctes.

Développantes &
développées



Une courbe P étant donnée, si une tangente touche

sans glisser sur cette courbe, on joint un quelconque de cette tangente à la courbe C qui est dite développante de la courbe donnée ⁽²⁾

(1) La forme de cette courbe n'est pas supposée invariable.

(2) La développante peut être considérée comme décrite par

Réciproquement la première courbe est la développée de la seconde.

La développante est normale en m à la direction $m\mu$ car le mouvement infinitésimal subi du point m est dû à une simple rotation autour de μ .

Une même développée a une infinité de développantes, toutes ces courbes sont orthogonales à une même série de droites sur les quelles elles interceptent des longueurs égales. Ce sont si l'on veut des courbes parallèles.

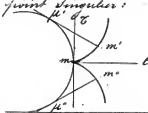
La développée est le lieu des centres de courbure de l'une quelconque de ses développantes : elle est l'enveloppe de leurs normales.

Valeur de la
courbure aux points
singuliers

Ces observations permettent d'éclaircir & de compléter ce qui a été dit au sujet de la courbure aux points singuliers des courbes planes.

On remarquera qu'en général :

1° d'un point de rencontre de la développante avec sa développée correspond un rebroussement de première espèce de la développante & toutefois le point de la développante n'est pas un point singulier :



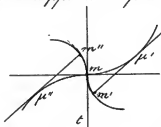
Le rayon de courbure en μ devient alors nul & change de signe en passant par O .

(3) (Suite) L'extrémité d'un fil flexible qui d'abord enroulé sur la courbe I' se déroule en restant constamment tangent à la I' le nom donné à cette courbe,

(1) Il s'agit ici bien entendu des points de rencontre de la développante avec la portion de la développée qui lui correspond : voir l'exemple de l'ellipse.

Exceptionnellement.

Si le point de rencontre de la développante avec sa développée est un point d'inflexion de celle-ci, la développante présente cette circonstance singulière qu'elle traverse sa tangente, et a un rayon de courbure nul.

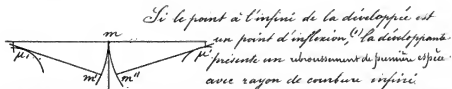


En se reportant à l'expression $\frac{m m''}{e}$, on voit que $m m''$ devient infiniment petit par rapport à e - Et étant d'ailleurs du second ordre, par rapport à l'élément de développée.

L'élément $m m'$ de développante est au moins du troisième ordre. Si l'on consent d'étendre la dénomination de point d'inflexion à tous les points d'une courbe où le rayon de courbure change de signe sans qu'il y ait rebroussement, on devra appeler.

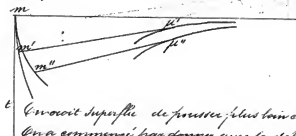
1° Points d'inflexion de première espèce les points d'inflexion précédemment étudiés où le rayon de courbure change de signe en passant par l'infini - $m m'$ étant alors du 1^{er} ordre de petitesse, e est du second.

2° Points d'inflexion de seconde espèce les points d'inflexion où le rayon de courbure change de signe en passant par zéro, en ces points e étant du second ordre de petitesse, $m m'$ est du troisième.



(1) On se servira utilement pour reconnaître la nature des points à l'infini d'une transformation perspective.

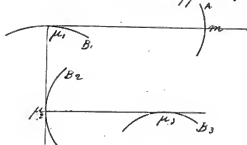
Enfin si le point à l'infini sur le développement est un point de rebroussement de seconde espèce, le développement présente un rebroussement de seconde espèce avec rayon de courbure infini.



Centres
de Courbure
Successifs

La notion des développés et des développantes conduit naturellement à celle des Centres de Courbure successifs.

La développée B, lieu des centres de courbure de

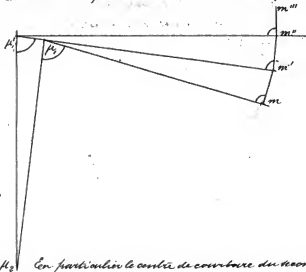


A ou corneille de ses
normales, a elle même une
desinfectée B qui pourra être
considérée comme la
desinfectée de second ordre
de B, et sera la centre de
conversion des sec. 2^e ordre.

En substituant à la courbe un polygone infini-
lateral les développés successives se trouvent aussi simplifiées.

Conrad H. Huang 3rd Avenue (Glenview Ave.)

pour des polygones (1), et l'on voit que le centre de courbure d'ordre n est déterminé par la connaissance de $n+2$ points de la courbe (2)

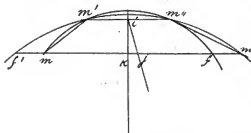


H_2 En particulier le centre de courbure du second ordre pourra être considéré comme élément caractéristique pour quatre points consécutifs de la courbe Dornier. Cherchons donc la relation qui existe entre ce point et le diamètre tel qu'il a été précédemment défini

(1) Ces polygones n'ont pas tous des côtés égaux comme nous considérerons jusqu'à présent, mais les considérations sur lesquelles on s'appuie dans le paragraphe sont indépendantes de cette propriété.

(2) ou plus généralement par la connaissance de $n+2$ éléments consécutifs de la courbe Dornier, on appelle indifféremment éléments les points ou les tangentes, c'est-à-dire les sommets ou les côtés du polygone infinitésimal : il faut remarquer que si l'on connaît $n+2$ tangentes on ne connaît que $n+1$ points et réciproquement, mais au point de vue de la détermination des développées et ya également

Sur cette reproduction la figure de la page 13 et l'expression $\tan \delta = \frac{Kj}{LK}$



Faisons passer par $m'm''m'''$, $m'm''m'''$ les deux cercles consécutifs, qui renouent en m''' en $f'f''$. Ces deux cercles ont leurs centres sur K et fm''' , $f'm$. En outre, nous avons sensible on appelant ρ , et $\rho + d\rho$ leurs rayons

$$\rho = \frac{Km''^2}{2 \cos K} = \frac{Km''^2 \tan \delta}{fm''}$$

$$\rho + d\rho = \frac{Km'''^2}{2 \cos K} = \frac{Km'''^2 \tan \delta}{fm'''}$$

$$d\rho = \frac{\tan \delta}{fm'''} (Km'''^2 - Km''^2) = mm''' \tan \delta \quad (1)$$

En en conclut, comme $d\rho = \mu, \mu'$

$$\tan \delta = \frac{\mu, \mu'}{3 mm'}$$

$$\text{C'est-à-dire } \tan \delta = \frac{\rho^2}{3 \rho'} \quad (2)$$

(1) Cette formule montre que conformément à ce que nous avons annoncé à quatre points consécutifs sont sur un même cercle, ce qui est le caractère des sommets, le dérivé des rayons de courbure s'annule

(2) L'angle de contingence étant le même pour toutes les développées consécutives les rayons de courbure consécutifs sont entre eux comme les cotés infinitésimaux $mm', \mu, \mu', \mu_2, \mu'_2$ de que nous désignerons par $d\rho, d\rho, d\rho_2$, en les considérant comme des accroissements différentiels d'arcs de cercles, ces cotés infinitésimaux (voir la figure de la page précédente)

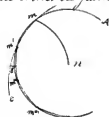
en m, m', etc, finies avec seconde courbe c qu'ils touchent en leur points
d'intersection w avec les droites telles que m p₁ : Ces points
offrent un intérêt spécial : ce sont les foyers de spirales logarithmiques
ayant en m quatre points consécutifs communs avec la courbe

Les propriétés des courbes planes qui ont été indiquées dans cette courte étude se rapportent toutes à des points infiniment voisins et sont dues au principe de continuité dont nous avons déjà signalé l'importance. Quelques propriétés aussi générales et tenant à la permanence d'une même relation (*) pour les différentes parties d'une même courbe ont été signalées par Newton, MacLaurin et Cotes et leur étude reprise par les géomètres modernes a fourni un certain nombre de beaux théorèmes qui s'étendent aux courbes gauches et aux surfaces. La note 9 de l'appendice renferme les énoncés de quelques uns de ces théorèmes.

2° Courber. Sphériques

L'étude qui vient d'être faite des courbes planes peut s'appliquer presque entièrement aux courbes sphériques, avec ce seul changement qu'on y remplace les droites par les grands cercles de la sphère.

Ainsi une courbe sphérique quelconque pourra être considérée comme la limite d'un polygone infinitésimal formé par une série d'arcs de grands cercles à longueurs égales se coupant sur la courbe.



La tangente, la normale à la courbe
en l'un de ses points se déterminent le
grand cercle qui joint le point m au pôle
inférieurement voisin m' , et le grand cercle m se
représentent ainsi

L'angle de contingence sera l'angle E de deux grands cercles tangents.

(1) Quelconque d'ailleurs

consécutifs.

La courbure sera mesurée par le rapport de l'angle de contingence à la longueur du coté mn . Cet élément qu'on désigne sous le nom de Courbure Géodésique pour le distinguer de la courbure absolue qui sera définie plus loin, dépend uniquement de trois points consécutifs m, n, n' et aura par conséquent même valeur pour toute courbe passant par ces trois points. Considérons en particulier le petit cercle intersection de la sphère avec le plan $mn'n$: ce cercle sera dit Cercle de Courbure géodésique de la courbe, son pôle sera le pôle de courbure géodésique.

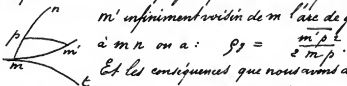


Et si l'on détermine le point S sommet du cône touchant la sphère tout le long de ce cercle, l'angle $mS n'$ étant égal à E , S sera précisément égal à l'arc de $\frac{mn}{E}$ de la courbure géodésique et est à dire au rayon de courbure géodésique ρ_g de A .

La courbure géodésique est constante en tous les points d'un même cercle.

Elle peut varier depuis 0 qui est la courbure d'un grand cercle jusqu'à l'infini qui est la courbure d'un cercle de rayon nul c'est à dire d'un point.

La courbure géodésique est susceptible d'une expression toute semblable à celle qui a été donnée à la page 11 pour les courbes planes: si l'on abaisse du point



m' infiniment voisin de m l'arc de grand cercle mn' perpendiculaire

à mn on a: $\rho_g = \frac{m'p}{E mn'}$.

Et les conséquences que nous avons déduites de la formule analogue dans le plan pourront être étendues aux courbes sphériques.

Enfin la définition du diamètre sera la dérivée dans les courbes sphériques pourvue de quelques sur celle relative aux courbes planes.

Enveloppes et enveloppées sphériques. Développantes et développées sphériques: on est naturellement conduit à leur considération par la continuation de l'extension précédente.

Les principales propriétés des développées planes appartiennent aux développées sphériques. Elles sont le lieu des pôles de courbure géodésique, et l'on se connaît facilement que comme dans les courbes planes, la développante est la courbe décrite par l'extrémité d'un fil flexible qui d'abord enroulé sur la développée se déroule ensuite en restant constamment tendu sur la sphère.

Appendice.



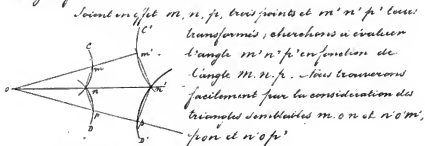
M^r Haag, Ingénieur des Ponts & Chaussées
Chargé du cours

Appendice ⁽¹⁾

Notes.

Sur le mode de la transformation par rayons vecteurs réciproques

La propriété de la conservation des angles attribuée à la méthode de transformation par rayons vecteurs réciproques doit être évidemment restreinte aux angles sous lesquels les lignes se coupent. Ainsi il ne serait pas exact de dire que l'angle sous lequel on voit d'un point donné deux autres points de la figure reste le même après transformation. En outre la proposition n'est vraie que pour des angles finis.



$$m'n'p' = mnp - mo'p'$$

Supposons maintenant que m, n, p soient les secantes à deux courbes C, D , qui se coupent en n et que l'angle mnp diminue de plus en plus à la limite m, n, p deviendront les tangentes à C, D $m'n', n'p'$ seront alors les tangentes aux transformées C', D' , et l'on voit que l'angle de ces deux tangentes

(1) Les notes renfermées dans cet appendice ne formeront point corps avec les leçons proprement dites, on y supposera connu l'ensemble du cours.

2.

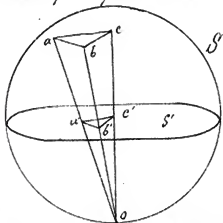
est égal à celui des deux premières diminué de l'angle infiniment petit $m \circ \mu$, qui sera négligeable toute les fois que les courbes considérées se couperont sous un angle fini.

Ce qui vient d'être dit pour l'angle de deux courbes dans la transformation d'une figure plane s'étend d'ailleurs sans difficulté à l'angle de deux surfaces dans la transformation des figures à trois dimensions.

On en conclut que dans la transformation des surfaces les lignes de Courbure restent lignes de Courbure (1).

La méthode de transformation par rayons vecteurs réciproques trouve dans le tracé des cartes géographiques une importante application. Nous voulons parler des projections stéréographiques.

On appelle projection stéréographique d'une figure sphérique, la perspective de cette figure faite sur un plan diamétral S' de la sphère en prenant pour point de vue le pôle O de ce plan diamétral. Or il est



facile de voir que la perspective ainsi obtenue n'est qu'une transformée de la première figure par rayons vecteurs réciproques.

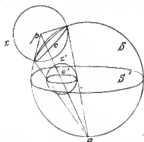
Toutes les propriétés de ce mode de transformation appartiennent donc à la projection stéréographique, et l'on comprend que dans l'application au tracé des cartes, la conservation des angles, et des cercles soit d'une très grande importance.

Remarquons en outre que le sommet du cône circonscrit à

(1) Car l'on peut toujours considérer les lignes de Courbure d'une surface comme données par l'intersection d'un système triplement orthogonal, et qui reste triplement orthogonal dans la transformation.

la sphère suivant un petit cercle quelconque c comme on le jugerait un pôle o le centre du cercle transformé c' .

En effet considérons le petit cercle comme intersection de la sphère S avec une autre sphère s de centre p . Les deux sphères s'intersectent sur le plan diamétral S' , l'autre cercle c' est l'intersection avec le plan S' est le cercle c' , mais les deux premières sphères sont orthogonales entre elles; donc la sphère s est orthogonale au plan S' a son centre sur ce plan, et comme ce centre doit se trouver sur le rayon op , ce sera le point où ce rayon perce le plan de la projection stéréographique.



Mentionnons pour terminer cette note deux importants théorèmes :
La méthode des rayons vecteurs réciproques et avec l'homothétie ordinaire, le seul procédé de transformation qui conserve la similitude infinitésimale des figures à deux dimensions⁽¹⁾ (Froville, Haton)

Lorsqu'on fait subir à une figure quelconque une série de transformations par rayons vecteurs réciproques, la figure résultante peut toujours être obtenue au moyen d'un pôle et d'une puissance unique⁽²⁾ (Froville)⁽³⁾

Note 2.

Sur les Méthodes mécaniques.

Nous nous bornerons à indiquer ici le principe et les premières applications de ces méthodes sur lesquelles nous aurons à revenir plus tard (note 6 page 65)

Méthode de Roberval pour la tracé des tangentes. Cette méthode est l'application du principe suivant :

(1) Il n'en est pas de même pour les figures planes (Voir plus loin Note 7).

(2) On appelle puissance le produit constant des rayons vecteurs.

(3) On retrouvera dans la suite de ces notes de nombreuses applications de la transformation par rayons vecteurs réciproques : cette méthode est comparable et se fonde à un seul point de départ dans les travaux de Belloviés, Charnier, Hutton et Froville.

La vitesse d'un point mobile est dirigée suivant la tangente à la courbe qu'il décrit.

Le problème de la tangente à une courbe sera donc résolu si l'on détermine la vitesse du point décrivant la courbe. Mais cette détermination de vitesse pourra être facilitée par la comparaison du mouvement en deux ou plusieurs mouvements indépendants, dont les vitesses pourront être très facilement à trouver et seront ensuite composées entre elles.

Exemples :

1°. Tangente à la cycloïde. — Considérons le mouvement du cercle générateur comme résultant de la composition de deux mouvements simultanés, rotation autour de O , translation de O parallèlement à xy ; pour que il y ait seulement sans glissement, il faudra que les vitesses mu , mu' du point m dans ces deux mouvements soient égales. la résultante mv est donc la bissectrice de l'angle umu' , c.à.d. qu'elle passe par l'extrémité a' du diamètre oa .



2°. Tangente à l'ellipse. — Le point m décrivant l'ellipse peut être considéré comme glissant sur le rayon fm , pendant que celui-ci tourne autour du foyer f . les deux mouvements donneront lieu aux vitesses composantes mu suivant fm et mw perpendiculaire à fm , dont mv sera la résultante. Mais on peut également supposer le point glissant sur $f'm$ et tournant autour de f' ; cette nouvelle hypothèse donne les vitesses composantes mu' , mw' , la première suivant $f'm$, l'autre perpendiculaire à ce rayon, et ces vitesses donnent par leur composition reproduire mv . On voit donc que mu , mu' sont les projections orthogonales de mv sur les deux rayons vecteurs. Mais ces projections sont égales puisque, d'après la définition de l'ellipse, la somme $mf + m'f'$ devant être constante, l'un des rayons doit s'allonger de la quantité même dont se raccourcit l'autre. Donc mv est la bissectrice de l'angle des rayons vecteurs.

raisonnement tout analogue pour l'hyperbole.

Extension à la parabole considérée comme cas limite.

Méthode mécanique pour la détermination des courbes

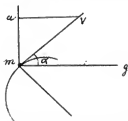
Cette méthode est l'application du principe susénoncé.

La composante normale de l'accélération d'un point est égale au carré de sa vitesse divisé par le rayon de courbure de la trajectoire. Le problème du rayon de courbure à une courbe sera donc résolu si l'on trouve la vitesse et l'accélération du point décrivant cette courbe, pourra être facilitée par l'application de la règle de mécanique qui donne l'accélération

résultante de plusieurs mouvements simultanés.

Exemples :

1°. Rayon de Courbure de la Parabole. La parabole peut être considérée comme engendrée par un point dont la vitesse initiale est quelconque et qui est animé d'une accélération constante en grandeur et en direction. Cette direction est celle de l'axe de la parabole. Soit m la vitesse au point m , mg l'accélération;



Si α est l'angle de la tangente avec mg , $mg \sin \alpha$ sera l'accélération normale. Le rayon de courbure sera donc $\rho = \frac{mv^2}{mg \sin \alpha}$

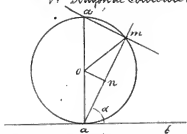
Mais la vitesse m ne recevant que des accroissements dirigés suivant

mg , sa projection $m \cos \alpha$ sur la direction perpendiculaire à mg est constante on a donc

$$\rho = \frac{mv^2}{mg} \times \frac{1}{\sin^3 \alpha} = \frac{K}{\sin^3 \alpha}$$

C'est-à-dire que le rayon de courbure est proportionnel à l'inverse du cube du Sinus que fait la tangente avec l'axe.

2°. Rayon de Courbure de la Cycloïde. Décomposons comme



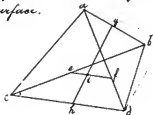
précédemment le mouvement du point décrivant la cycloïde en un mouvement de rotation autour de O et un mouvement de translation parallèle à ab . L'accélération du point m sera uniquement due au

mouvement de rotation : elle sera dirigée suivant om et égale à $\omega^2 r$, si ω est la vitesse de rotation. Supposons $\omega = 1$ et appelons α l'angle $ma b$, la vitesse de m sera 1 après ce qui a été vu dirigée suivant $a'm$ et égale à $2 \sin \alpha$ ou à $2 \sin \alpha$. L'accélération normale sera $m \frac{v^2}{\rho} = 2 \sin \alpha$. On aura donc pour le rayon de courbure $\rho = \frac{a m}{\frac{v^2}{2 \sin \alpha}} = 2 a \sin \alpha$.

(Cycloïde). Cours de M^{re} Haug 2^e édition. - 2^e édition. - Cours de Géométrie.)

Ces méthodes, on le comprend aisément, pouvaient s'étendre à la recherche des éléments qui comme le diamètre servent à définir une courbe ou l'un de ses points d'une façon plus intime encore que le cercle de courbure. Nous n'insisterons pas davantage sur ce sujet, mais nous citerons encore comme exemple de méthode mécanique l'application de la théorie des centres de gravité à un problème de géométrie :

Soit un quadrilatère gauche $a b c d$ formé par quatre génératrices d'un parabolôïde. Si l'on mène les diagonales $a c, b d$, et qu'on joigne leurs milieux $e f$, le milieu i de cette droite $e f$ sera un point de la surface.



En effet ce point peut être considéré comme le centre de gravité de quatre poids égaux appliqués aux quatre sommets. Mais ces poids peuvent se composer ensemble d'une autre manière, en prenant les milieux $g h$

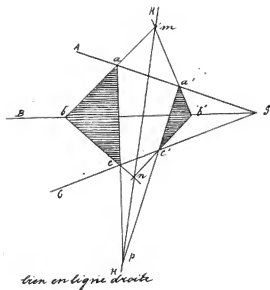
de $a b, c d$ et le milieu de la droite $g h$. Donc la droite $g h$ passe en i , or, $g h$ est une génératrice de la surface. Donc.... etc

Note 3

Sur l'interprétation des figures faites par la géométrie à trois dimensions.

Voici quelques applications de cette méthode :

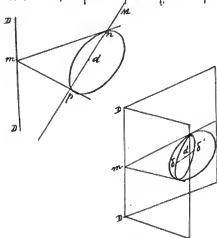
1° Etant donnés dans le plan deux triangles $a b c, a' b' c'$, tellement placés que les droites $a a', b b', c c'$ convergent en un même point S , les points de concours $m n p$ de leurs côtés correspondants sont en ligne droite.



7
 Considérons la figure comme la projection d'un trièdre $S(ABC)$ de l'espace dans lequel deux plans sécants P, P' détermineraient les sections $abc, a'b'c'$. Il est aisé de voir que les droites telles que $ab, a'b'$ intersections des plans P, P' avec une même face ASB du trièdre iront se rencontrer sur l'intersection H des plans PP' . Donc les trois points m et p , situés sur cette droite H sont

lien en ligne droite

2. Étant donnée une ellipse et un point m , si le point m décrit une droite D , sa polaire passe par un point fixe d .



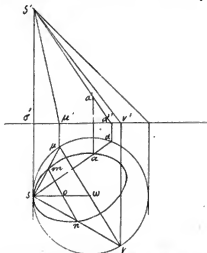
En effet considérons l'ellipse donnée comme la section principale d'un ellipsoïde dont le 3^{ème} axe serait perpendiculaire au tableau et menons par la droite D du tableau les deux plans tangents à cet ellipsoïde. Ces plans toucheront en δ, δ' la surface et à cause de la symétrie de la figure, la droite $\delta\delta'$ sera perpendiculaire au tableau.

D'ailleurs nous pouvons considérer l'angle nm ou p comme la projection d'une cône menée du point m tangentielllement à l'ellipsoïde. La ligne de contact de ce cône sera située dans un plan perpendiculaire au tableau et se projettera sur nm ou p , mais cette ligne de contact passe en $\delta\delta'$, sa trace passe donc un point d où $\delta\delta'$ perce le tableau et comme ce point

est indépendant de la position du point m sur la droite D , le théorème est démontré.

5°. Un angle droit tournant autour d'un point d'une conique, sa corde passe par un point fixe.

Soit S le point donné et C la conique ; traçons une circonférence quelconque tangente à la conique en S et considérons cette circonférence comme la base d'un cône oblique dont le sommet est situé sur la verticale du point S et projeterait verticalement en S'



Il est facile de relever un moyen de la génératrice Sa , Sa' un point du cône dont la projection horizontale a est donnée et dont la projection verticale sera a' . Relisons ainsi sur le cône trois points quelconques a, b, c de la conique et considérons le plan P passant par les trois points ainsi relevés. Ce plan coupera le cône suivant une conique dont la projection horizontale passant par a, b, c et tangente en S à la conique donnée sera se confondre avec cette corde.

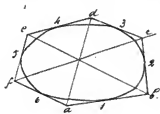
Étant passé, soit m, n une position de l'angle droit tournant autour de S . Considérons les côtés de cet angle comme les projections S horizontales des deux génératrices suivant lesquelles le cône est coupé par un plan Q passant par son sommet, et dont μ, v serait la trace horizontale : m, n sera en projection horizontale la trace de plan Q sur le plan P . Or l'angle μ, S, v étant droit, μ, v passe constamment par le centre w du cercle. Donc le plan Q dans ses différentes positions ne fait que pivoter autour de la droite fixe $S w S' w'$, donc sa trace m, n sur le plan P passe constamment par un point fixe qui est celui où la droite $S w S' w'$ perce ce plan.

On voit par la démonstration que ce point fixe est situé sur la normale en S à l'ellipse.

On démontrera d'une façon tout analogue un autre théorème dont voici l'énoncé : Si un angle variable ayant une bissectrice fixe a son sommet en un point d'une conique sa corde passe par un point fixe (1)

4° Théorème de Brianchon. Un hexagone éani circonscrit à une ellipse, ses trois diagonales se coupent en un même point.

Considérons la courbe donnée comme l'ellipse de gorge d'un hyperboléide d'une nappe et l'hexagone comme la projection sur le plan



de l'ellipse d'un hexagone gauche formé sur la surface par une série de génératrices alternativement de premier et de second système (les côtés impairs se rapportant à un système, les côtés pairs à l'autre). Les génératrices de système différent étant toujours dans un même plan, les

génératrices opposées 1 et 4, 3 et 6, 5 et 2 déterminent trois plans dont les diagonales de l'hexagone sont la projection les intersections respectives. Ces trois diagonales passent donc par un même point.

Ce théorème s'énoncé immédiatement par transformation respectrice à toutes les sections coniques (2)

Figures planes Considérées comme cas limites

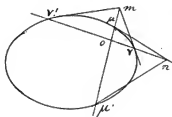
C'est ici le lieu de mentionner un mode de démonstration qui a quelques rapports avec le précédent bien qu'il en diffère dans son principe.

- (1) Ces deux théorèmes ne sont d'ailleurs que des cas particuliers d'un théorème plus général dépendant de la théorie de l'involution, et dont on trouvera plus loin l'énoncé.
- (2) Le Théorème de Brianchon peut se démontrer d'une façon semblable par la considération des couples de plans 1, 2 et 4, 5. 3, 5 et 6, 4 et 2, 1. Ces couples de plans ont trois intersections respectives dans un même plan Q . Donc les traces de ces plans se coupent deux à deux sur une même droite qui est la trace du plan Q . Mais ces traces sont les côtés opposés d'un hexagone inscrit, donc etc.

Bourg de M^r Haag. Géométrie descriptive (appendice) 3^e édition

10 Le procédé consiste à démontrer les théorèmes de la géométrie plane en considérant les figures planes comme cas limites de figures à 3 dimensions infiniment aplaties

Preons par exemple une ellipse et soit un point O que nous supposons



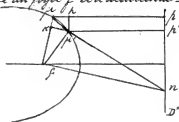
pour fixer les idées situés à l'intérieur de la courbe. Prenons par O deux droites conjuguées. C'est-à-dire passant l'une par le pôle de l'autre et considérons en particulier l'une de ces droites om et son pôle n . (1). Si nous regardons l'ellipse comme un ellipsoïde infiniment aplati pp' sera la corde de contact du cône de sommet n tangent

à l'ellipsoïde, no sera une génératrice de ce cône, donc les droites om et on sont conjuguées en O par rapport à l'indicatrice du point O . Ainsi toutes les couples de droites conjuguées qui passent en son point O sont diamètres conjugués d'une même conique : il y a donc en chaque point deux directions conjuguées rectangulaires.

La considération des ombilics fera voir qu'il y a toujours deux points situés sur le grand axe pour le quel la conique considérée étant un cercle toutes les droites conjuguées sont rectangulaires entre elles : il est facile de déduire de là toutes les propriétés importantes de ces points remarquables qui ne sont autres que les foyers de l'ellipse (2)

(1) rappelons que le triangle mon dont chaque sommet est le pôle du côté opposé est dit triangle conjugué par rapport à la conique

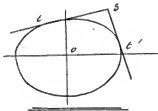
(2) Démontrons par exemple que le rapport des distances d'un point de la courbe au foyer f et à la directrice DD' (C. polaire du foyer) est constant



Considérons la tangente pn comme gagnant deux points infiniment voisins pp' de la courbe. Abaissons pk pe respectivement perpendiculaires sur pf , pe les triangles nfp , $pe'p$

Autre exemple :

Soit un angle droit circonscrit à l'ellipse. Étant démontré comme dans le cours que le lieu des points où les génératrices d'un hyperboloïde sont rectangulaires est l'intersection de la surface avec une sphère de même centre et de rayon $r = \sqrt{a^2 + b^2}$, considérons l'ellipse donnée comme un hyperboloïde infiniment aplati et nous verrons immédiatement que le lieu des sommets de l'angle droit est un cercle décrit avec $\sqrt{a^2 + b^2}$ comme rayon et concentrique à l'ellipse.



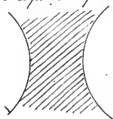
Suite (2) rectangles en f, K (puisque f est conjugué de f') sont semblables et donnent :

$$\frac{\mu}{\mu'} = \frac{\mu}{\mu'} = \frac{\mu}{\mu'}$$

C'est à dire en désignant par Δ des accroissements $\frac{\Delta \mu}{\mu} = \frac{\Delta \mu'}{\mu'}$

On en conclut $\frac{\Delta \mu}{\mu} = \text{constante}$

Si le point O précédemment considéré avait été extérieur à l'ellipse on aurait eu recours à un hyperboloïde à une nappe infiniment aplati.



Si au lieu d'une ellipse on avait eu une hyperbole on se serait servi de deux hyperboloïdes l'un à une nappe se projetant sur la partie ombrée du plan, l'autre sur deux nappes couvrant le reste.

Remarquons enfin que dans cette énonciation des propriétés locales des coniques il n'y a aucune mention de principe, la connaissance de ces propriétés n'étant nullement nécessaire pour établir l'existence de l'indicatrice et des ombilics d'une surface du second degré.

Exposé succinct des théories fondamentales de la Géométrie Supérieure

A Préliminaires

Conventions sur les signes Convention sur les signes des segments. $ab + ba = 0$.
Convention sur les signes des angles $AB + BA = 0$

Géométrie segmentaire Lorsqu'un certain nombre de points a, b, c, \dots, K, L sont situés sur une même droite, ils déterminent sur cette droite des segments qui donnent lieu entre eux à de nombreuses relations. L'étude très intéressante de ces relations a donné naissance à toute une branche de la Géométrie, la Géométrie segmentaire. On terminera à la fin de cette note une curieuse application de ces relations. Pour le moment, on se bornera à démontrer la plus simple d'entre elles.

Identité linéaire entre m points Étant pris m points a, b, c, \dots, K, L en ligne droite, on a toujours l'identité

$$ab + bc + cd + \dots + K L + La = 0$$
 que l'on vérifie en prenant les lettres dans un ordre quelconque pourvu que la seconde lettre d'un segment soit la première du segment suivant, et que la lettre commençant la série soit aussi celle qui la termine.

Cette identité est facile à vérifier directement pour trois

(1) Ces théories sont dues aux beaux travaux de M. Charles : l'importance croissante qu'elles ont prise dans les recherches de la géométrie moderne joint aux difficultés qu'auraient les élèves pour se procurer dans les circonstances actuelles des renseignements sur ces matières, m'ont décidé à donner à cette note un autre grand développement. On y trouvera outre les propositions essentielles pour la connaissance des trois grandes théories étudiées un certain nombre d'applications qui ont été choisies de manière à familiariser le lecteur avec les procédés particuliers de ce mode d'investigation.

points a b c : on passera au cas d'un quatrième point d en ajoutant les intensités

$$\begin{aligned} ab + bc + ca &= 0 \\ cd + da + ac &= 0 \end{aligned}$$

qui donnent, $ac + ca$ étant nul: $ab + bc + id + da = 0$

Et ainsi de suite

Convention sur les
imaginaires

Si deux points m et m' étant rapportés à une même origine O , on appellera éléments de ces points par rapport à cette origine les quantités:

$$\mu = 0m + 0m'$$

$$r = 0m, 0m'$$

qui représentent la somme et le produit des segments relatifs aux deux points

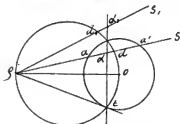
Étant donnés deux points quelconques, on pourra toujours déterminer leurs éléments

Réciproquement étant données deux quantités p. v. on pourra toujours trouver deux points dont ces quantités seront les éléments si la condition $\mu^2 > 4V$ est satisfaite. Si μ^2 est inférieur à $4V$, les points cessent d'exister; mais s'ils n'entrent dans une question que par leurs éléments, tous les raisonnements qu'on aura pu faire subsistent; et si dans ces raisonnements et dans les énoncés auxquels ils ont conduit, on a mentionné les points m m', on pourra conserver à ces raisonnements et à ces énoncés la même forme en disant que dans ce cas les points m m' sont conjugués imaginaires.

Le mot ou le voc. n'est qu'une fiction. L'utilité de
de cette fiction est de réaliser un idéal ou une construction
générale au cas particulière dans lequel la présence de deux
points forme une image visible et parfaitement claire des
propriétés de la figure. Seulement il faut remarquer que dans
tous les cas, un idéal trouve lieu en considération de deux
points de la figure (Gommes de la figure) (Gommes de la figure)

points subsiste lorsque ces deux points deviennent imaginaires
les points imaginaires ne figurant dans les relations que par leurs
éléments, ce résultat est susceptible d'une expression plus générale dans
laquelle les deux points n'intervient pas.

Comme exemple à l'appui de ces considérations nous
citéons le théorème suivant :



Soit un cercle C et un point S extérieur
à ce cercle, menons par S , une sécante
qui coupe le cercle en a & a' & construisons
d par la relation :

$$\frac{Sd}{Sa} = \frac{1}{\frac{Sa}{Sa'} + 1}$$

Le lieu du point d qui est dit
conjugué harmonique de S par rapport à a & a' est une droite, c'est la
polaire du point S relativement au cercle, c'est à dire la corde de
contact des tangentes issues de ce point. Si la sécante ne rencontre
pas le cercle on ne voit plus ce que devient la relation, mais
en la mettant sous la forme :

$$\frac{Sd}{Sa} = \frac{Sa + Sa'}{Sa \cdot Sa'}$$

On remarque que les points a & a' n'y entrent que par leurs élé-
ments. D'ailleurs si l'on trace sur SO comme diamètre un cercle
dont l'intersection avec la sécante est en d & si l'on appelle t
le point de contact d'une tangente menée de S au premier cercle
on a :

$$\frac{Sa}{Sa'} = \frac{Sa}{Sa'} = \frac{Sd}{Sc}$$

Et la relation peut donc s'écrire :

$$\frac{1}{Sa} = \frac{Sd}{Sc^2}$$

Sous cette forme on voit qu'elle définit le point d pour
toute position de la sécante.

En disant d'une manière générale que la droite troncée est le lieu du point α conjugué harmonique de S par rapport aux deux points a et a' réels ou imaginaires, on rattachera le résultat obtenu au cas particulier où les points a et a' existent et sont image, mais l'expression.

$$\frac{1}{S\alpha} = \frac{S\alpha}{S\alpha'}$$

Montre que le résultat général serait susceptible d'un énoncé où les points a et a' n'entreraient pas.

B Choix du rapport anharmonique

Définition du rapport anharmonique. 1° Étant donnés quatre points a, b, c, d en ligne droite on appelle rapport anharmonique de ces quatre points les fonctions : telles que :

$$r = \frac{ac}{ad} : \frac{bc}{bd}$$

qu'on représentera pour simplifier par le symbole $(abc d)$

On peut former avec les quatre points donnés 6 rapports différents dont trois sont les inverses des trois autres (1)

2° Étant donnés quatre droites AB, CD passant par un même point, on appelle rapport anharmonique de ces quatre droites la fonction

$$S = \frac{\sin AC}{\sin AD} : \frac{\sin BC}{\sin BD} = (ABCD)$$

Les analogues

3° Étant donnés quatre plans AB, CD , on appelle rapport anharmonique de ces quatre plans, la fonction

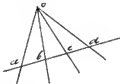
$$R = \frac{\sin AC}{\sin AD} : \frac{\sin BC}{\sin BD} = (ABCD)$$

(1) Remarquons que si l'un des quatre points s'éloigne à l'infini, les segments impliquant ce point disparaissent du rapport comme s'il devenait égale à l'unité. Il en sera de même pour toute fonction ou rapport anharmoniques.

et les analogues. C'est le rapport anharmonique du faisceau de droites obtenu en coupant le faisceau de plans par un plan secant perpendiculaire à l'axe du faisceau.

Théorèmes fondamentaux

Théorème I Si un faisceau de quatre droites passe par un système de 4 points les rapports anharmoniques des quatre droites sont respectivement égaux à ceux des quatre points.



Théorème II Si un plan transversal rencontre un système de quatre plans passant par une même droite, le faisceau des droites d'intersection a un rapport anharmonique égal à celui des quatre plans. Car si l'on coupe par un plan perpendiculaire à l'axe, on trouve: (faisceau α) = (a b c d) = (faisceau β)



Remarque Les deux théorèmes précédents peuvent s'énoncer ainsi: Si l'on fait la perspective de quatre points en ligne droite ou de quatre droites concourantes situées dans un même plan, leur rapport anharmonique n'est pas changé (1)

(1) Cette propriété du rapport anharmonique a fait souvent confondre les méthodes de la géométrie supérieure avec la méthode de transformation par perspective, mais cette confusion ne peut exister que pour un examen superficiel, & nous croyons qu'après ce qui a été dit dans le cours, on se rendra compte de la profonde différence qui existe entre l'esprit des deux méthodes: tout ce qu'on peut dire à cet égard, c'est que la méthode de transformation projective offre de nombreuses applications de la théorie du rapport anharmonique & des autres théorèmes qui s'en déduisent.

Construction du quatrième Soient a et c deux points donnés et $(a b c d)$ le rapport d'un système dont les 3^{es} points b et c le rapport anharmonique. On prend sur ac quelconque d et d' tels que $cd = d'c$ on joint a à d , a' à c , et par l'intersection e de ces deux droites on mène eb parallèle à ac b est le point cherché (1)
On voit que la question admet toujours une solution et une seule.

Relation entre les rapports 1^o Système de quatre points Soient :

Anharmoniques d'un $r = (abcd)$ $r' = (acdb)$ $r'' = (adbc)$

même système de points ou $r = (abcd)$ $r' = (acdb)$ $r'' = (adbc)$ (2)
de choisis

Les six rapports anharmoniques considérés : ils sont liés par les relations $\frac{1}{r} = 1 - r'$ $\frac{1}{r'} = 1 - r''$ $\frac{1}{r''} = 1 - r$ qui font que l'un d'entre eux étant donné les cinq autres en résultent.

Preuve la première. Elle s'écrit :

$$(acbd) + (abcd) = 1$$

Preuve la deuxième. Prenons un faisceau auxiliaire

$ABCD$ l'équation devient

$$(ABCD) + (ABCD) = 1$$

Coupons par une nouvelle sécante, il vient $(a'c'b'd') + (a'b'c'd') = 1$.

Si la sécante est parallèle à AC , cette équation se réduit à :

$$\frac{a'b'}{a'd'} + \frac{b'd'}{a'd'} = 1$$

$$\text{on : } a'b' + b'd' + d'a' = 0$$

C'est l'identité entre trois points.

(1) Cette construction permet d'ailleurs en la variant sur les théorèmes fondamentaux de résoudre la question analogue pour des droites et des plans.

(2) Les couples $a b$ et $c d$ sont dits conjugués anharmoniques dans le rapport $(a b c d)$

Cours de M. Haag.

Géométrie descriptive. (Laplace) 5^e édition.

Autres relations remarquables. $r \cdot r' \cdot r'' = -1$

$$(a \ b \ c \ d) = (b \ a \ d \ c) = (d \ c \ b \ a) = \frac{1}{(a \ b \ d \ c)}$$

2° Les relations qu'on vient de démontrer s'étendent évidemment aux rapports anharmoniques des droites et des plans (1)

Ces formes du rapport anharmonique

1° Système de 4 points première forme $(a \ b \ c \ d) = \frac{ac}{ad} : \frac{bc}{bd}$
Introduisons un point arbitraire m : ou a:

$$\frac{ac}{ad} : \frac{bc}{bd} = \frac{ac}{ad} : \frac{cm}{ca} = \frac{(d \ b \ m \ a)}{(d \ a \ m \ a)} : \frac{(c \ b \ m \ a)}{(c \ a \ m \ a)}$$

$$c, d, d. \quad (a \ b \ c \ d) = (d \ c \ b \ a) = (d \ m \ b \ a) / (c \ m \ b \ a)$$

$$\text{on a aussi de: } (d \ m \ b \ a) = \frac{1}{(d \ m \ a \ b)} = 1 - (d \ b \ m \ a)$$

$$(c \ m \ b \ a) = \frac{1}{(c \ m \ a \ b)} = 1 - (c \ b \ m \ a)$$

$$(a \ b \ c \ d) = \frac{1 - (d \ b \ m \ a)}{1 - (c \ b \ m \ a)} = \frac{1 - \frac{dm}{da} : \frac{bm}{ba}}{1 - \frac{cm}{ca} : \frac{bm}{ba}} = \frac{\frac{bm}{ba} - \frac{dm}{da}}{\frac{bm}{ba} - \frac{cm}{ca}}$$

Si le point m s'éloigne à l'infini, il reste $(a \ b \ c \ d) = \frac{\frac{1}{ab} - \frac{1}{ad}}{\frac{1}{ab} - \frac{1}{ac}}$

Mais nous donnerons ici ces deux formes du rapport anharmonique qui sont les plus utiles.

2° Système de 4 droites et de 4 plans. ... Expressions analogues

$$\text{aux précédentes } (A \ B \ C \ D) = \frac{\sin AC}{\sin AD} : \frac{\sin BC}{\sin BD}$$

$$(A \ B \ C \ D) = \frac{\cot AB - \cot AD}{\cot AB - \cot AC}$$

(1) On ne traitera dans la suite de cette note que des faisceaux de points & des faisceaux de droites, mais les théorèmes s'étendent généralement aux faisceaux de plans.

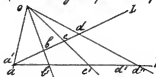
(2) La relation
$$\frac{\frac{bm}{ba} - \frac{dm}{da}}{\frac{bm}{ba} - \frac{cm}{ca}} = \frac{ac}{ad} : \frac{bc}{bd}$$

est une identité entre cinq points $a \ b \ c \ d \ m$ qui se trouve ainsi démontrée.

L'équation
$$\frac{\frac{1}{ab} - \frac{1}{ad}}{\frac{1}{ab} - \frac{1}{ac}} = \frac{ac}{ad} : \frac{bc}{bd}$$

est une identité entre quatre points

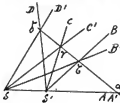
Propriété relative à Théorème I Si deux systèmes de quatre points a, b, c, d , a', b', c', d' deux systèmes de 4 points se correspondant deux à deux ont même rapport anharmonique ou deux faisceaux de quatre droites ayant même rapport anharmonique, par exemple, les trois droites qui joignent les autres points rapport anharmonique, homologues passeront par un même point.



Évident, car s'il en était autrement, joignant d au point de concours o de $b'b'$, $c'c'$, cette droite couperait la droite I' en d'' différent de d' , l'on aurait $(a'b'c'd'') - (a'b'cd') - (a'b'c'd)$

Ce qui est impossible, si d'' ne coïncide pas avec d'

Théorème II. Si deux faisceaux de quatre droites $ABCD$, $A'B'C'D'$ ont même rapport anharmonique, si l'on fait coïncider deux droites homologues A & A' par exemple, les trois points d'intersection des autres droites homologues seront situés en ligne droite.



Se démontre comme le précédent.

La théorie du Rapport harmonique.

La théorie du rapport harmonique se présente comme cas particulier de celle du rapport anharmonique.

Rapport harmonique de quatre points

Si les quatre points en ligne droite a, a', b, b' donnent lieu à la relation $(a, a', b, b') = -1$

ils sont dits en rapport harmonique: les deux couples a, a' & b, b' sont alors dits conjugués harmoniques l'un par rapport à l'autre. (2)

Divises positions possibles de b' est à l'infini, b est le milieu de aa' .

(1) Il suffit que deux rapports anharmoniques correspondants soient égaux pour que les autres le soient aussi.

(2) Les deux autres rapports anharmoniques du système sont alors égaux à $a + \frac{1}{a}$ et $a' + \frac{1}{a'}$

Diverses expressions

du rapport harmonique de quatre points au moyen des relations suivantes :

de quatre points

$$1^{\circ} \quad \frac{ab}{ab'} = -\frac{a'b}{a'b'}$$

$$2^{\circ} \quad \frac{\frac{1}{aa'} - \frac{1}{ab}}{\frac{1}{aa'} - \frac{1}{ab'}} = -1$$

$$\text{ou} \quad \frac{2}{aa'} = \frac{1}{ab} + \frac{1}{ab'}$$

Et cause de la symétrie on aura également :

$$\frac{2}{bb'} = \frac{1}{ba} + \frac{1}{ba'}$$

3° Si dans l'équation $\frac{ab}{ab'} = -\frac{a'b}{a'b'}$ on rapporte les segments à une origine arbitraire, on trouve :

$$\frac{ma - mb}{ma - mb'} = -\frac{ma' - mb'}{ma' - mb'}$$

$$\text{M}^2 (ma + ma')(mb + mb') = 2ma \cdot ma' + 2mb \cdot mb'$$

Si α et β sont les milieux de aa' , bb' cette relation peut s'écrire

$$2m\alpha m\beta = ma \cdot ma' + mb \cdot mb'$$

4° Si m coïncide avec α on trouve $\alpha\beta \cdot \beta\alpha' = \alpha a \cdot \alpha a'$

5° Si m coïncide avec β on a : $\beta\alpha \cdot \beta\alpha' = \beta a \cdot \beta a'$

Rapport harmonique

de quatre droites

Un faisceau de 4 droites $AA'BB'$ est harmonique

lorsque : $(AA'BB') = -1$.

Si deux droites conjuguées sont rectangulaires

ce sont les bissectrices des deux autres

Diverses expressions

du rapport harmonique

de quatre droites

Se déduisent de celles du rapport anharmonique

comme dans le cas du système de quatre points,

C. Théorie de l'homographie.

Définitions

1° *Séries homographiques.* Deux séries de points en ligne droite. a, b, c, \dots, k, l et $a', b', c', \dots, k', l'$ sont dites homographiques lorsque quatre points quelconques de l'une des deux séries ont même rapport anharmonique que leurs homologues dans l'autre. On désigne généralement sous le nom de i et de j' les points qui dans l'une des deux séries correspondent aux points a et l infinis dans l'autre.

Les droites Li et $L'j'$ sont dites axes d'homographie.

2° *Faisceaux homographiques.* Deux faisceaux de droites $ABC \dots KL$ et $A'B'C' \dots K'L'$ sont dits homographiques lorsque quatre droites quelconques de l'un des faisceaux ont même rapport anharmonique que leurs homologues dans l'autre.



Si l'on coupe deux faisceaux homographiques par une sécante on obtient deux séries homographiques.

Propriétés principales de l'homographie

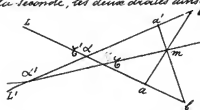
Théorème I Si l'on fait coïncider deux points homologues a et a' de deux séries homographiques $a, b, c, \dots, a', b', c', \dots$, toutes les droites telles que a, a', b, b', \dots concourent en un même point.

Théorème II Si l'on fait coïncider deux rayons homologues A et A' de deux faisceaux homographiques $ABC \dots$ et $A'B'C' \dots$, les autres droites homologues se coupent en des points qui sont tous en ligne droite.

Théorème III Étant données deux divisions homographiques d'un cours de Géométrie descriptive de M. Haug (appendice) 6. P.raison.



a b c ... a' b' c', sur deux droites L, L' , si l'on prend deux points de la première et qu'on les joigne on obtient avec points homologues de la seconde, les deux droites ainsi obtenues se coupent en un point m



qui est constamment situé sur une même droite quelque soient les points a b que l'on ait choisis. En effet soit α, α' le point d'intersection des droites L, L' ce

point a pour homologue α' ou α selon qu'on le considère comme appartenant à la première série ou à la seconde, et l'on a

$$(\alpha, \alpha' a b) = (\alpha, \alpha' a' b')$$

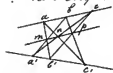
ou en prenant deux fois comme de sommet a a',

$$a' (\alpha, \alpha' a b) = a' (\alpha, \alpha' a' b')$$

Or deux rayons homologues coïncident, donc les trois autres angles se coupent en ligne droite, c'est-à-dire que le point m est sur la droite fixe α, α'

Corollaire I - Hexagone inscrit dans un angle

Les 3 couples $a a', b b', c c'$ peuvent toujours être considérés comme appartenant à deux séries homographiques. Donc les points m n p sont en ligne droite. C'est un cas particulier de l'hexagramme de Pascal

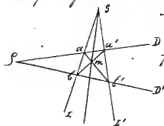


Corollaire II Soient d'un point par rapport à un angle

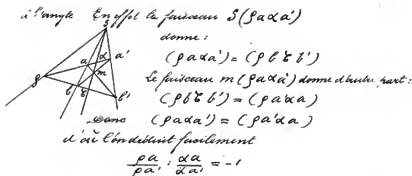
angle fixe S, L, L' , Soient P, D, P', D' quelconques par un point fixe, le lieu des points m est une droite passant par S.

Résulte immédiatement du théorème III

La droite $S m$ est dite la polaire du point P par rapport à l'angle.



Remarquons que cette droite peut être considérée comme le lieu des points harmoniques conjugués de P par rapport



Théorème IV. Analogue au précédent sur les faisceaux

Expressions directes
 de l'homographie

Soient deux séries :

1° On a d'abord a, b, c, a', b', c' étant 3 couples définissant les deux séries, m, m' un couple variable qui les décrit

$$(abc m) = (a'b'c' m')$$

$$\text{ou} \quad \frac{am}{bm} = \left(\frac{ac}{bc} : \frac{a'e'}{b'e'} \right) \frac{a'm'}{b'm'}$$

$$\text{ou} \quad \frac{am}{bm} = \lambda \frac{a'm'}{b'm'}$$

λ étant une constante (1)

$$2^\circ \text{ On a } (abcm) = (a'b'm'o') = \frac{1}{(a'a'o'm)} = 1 - (a'm'b'e')$$

C'est-à-dire

$$(abcm) + (a'm'b'e') = 1$$

$$\text{ou} \quad \frac{am}{ac} : \frac{bm}{bc} + \frac{a'b'}{a'e'} : \frac{m'a'}{m'e'} = 1$$

$$\text{ou enfin} \quad \lambda \frac{am}{bm} + \mu \frac{c'm'}{b'm'} = 1$$

λ et μ étant deux constantes

(1) Si $\lambda = 1$ les divisions sont proportionnelles : on a alors

$$\frac{am}{ac} = \frac{a'm'}{a'b'}$$

Les points à l'infini se correspondent dans les deux séries

3° Faisons sur la position des points fixes dans l'équation précédente différentes hypothèses

Si b est à l'infini on a $\lambda am + \mu \frac{c'm'}{f'm'} = 1$

Si b et c' sont à l'infini: $\lambda am + \mu \frac{c'm'}{f'm'} = 1$

Si a et c' sont à l'infini $\frac{\lambda}{am} + \frac{\mu}{f'm'} = 1$ (1)(2)

4° Si dans l'équation $\frac{am}{bm} = \left(\frac{ac}{bc} \cdot \frac{a'c'}{b'c'}\right) \frac{a'm'}{b'm'}$

on suppose b et a' à l'infini, cette équation devient:

$$im j'm' = bc \cdot j'c' = \text{une constante } K$$

5° Introduisons dans l'équation précédente les points a et b' quelconques, il vient:

$$(am - ai)(b'm' - b'j') = K$$

$$\text{o. a. d. } am \cdot b'm' - b'j' am - ai b'm' + ai b'j' = K$$

$$\text{ou } am b'm' + \lambda am + \mu b'm' + v = 0$$

λ, μ, v étant trois constantes dont les valeurs seront

$$\lambda = -b'j' \quad \mu = -ai$$

$$v = + b'j' ab = + ai ba$$

on trouve v en faisant coïncider m avec a ou avec b

Suite (1) Il est facile de s'assurer que les trois hypothèses que nous venons de faire conduisent toutes à une expression générale des divisions homographiques. Il n'en serait pas de même de l'hypothèse b et b' à l'infini qui supposerait les divisions proportionnelles.

(2) l'équation $\frac{\lambda}{am} + \frac{\mu}{b'm'} = 1$ exprime une propriété des divisions homographiques, c'est qu'on peut prendre m ou m' tels que les segments bm , $b'm'$ soient égaux et de même signe ou bien égaux et de signe contraire. Dans le premier cas on est conduit à la relation

$$bm = b'm' = R + \mu$$

Dans le second on a $bm = -b'm' = R - \mu$

Les valeurs montrent que les trois constantes peuvent être prises arbitrairement (1) et comme d'ailleurs la relation

$$a m, b' m' + \lambda a m + \mu b' m' + \nu = 0$$

est la relation la plus générale du premier degré entre deux segments $a m, b' m'$, on voit que toutes les fois que deux séries seront telles qu'à un point de l'une correspondra un point de l'autre et un seul, les deux séries seront homographiques.

Tout deux faisceaux. Relations analogues avec précédentes et qui s'en déduisent facilement au moyen des théorèmes fondamentaux.

C Divisions homographiques sur une même droite

Points doubles

Deux divisions homographiques peuvent être situées sur une même droite et l'on est conduit dans ce cas à rechercher les points doubles c'est-à-dire les points qui se correspondent à eux-mêmes dans les deux séries.

Les points sont fournis par la relation:

$$a m b' m' - a' j' a m - a i b' m' + a i b' a' = 0$$

qu'on peut simplifier en faisant coïncider a et b' et on l'on supposera que m et m' se confondent il vient:

$$a m' - (a i + a' j') a m + a i a a' a = 0.$$

équation donnant deux points doubles, qui pourront être imaginaires conjugués.

Remarques: 1° Le milieu des points doubles coïncide avec celui de i et de j' .

2° Si l'un des points doubles est à l'infini les divisions sont proportionnelles.

(1) Car étant choisis arbitrairement sur deux droites deux points a, a' par exemple, on déterminera ensuite successivement au moyen de $\lambda, \mu, \nu, b, b', i, \infty, j'$ qui déterminent les séries

Cours de Géométrie descriptive de M. Haug (appendice) 7 Livraison,

3° Si le point a dans l'équation trouvée coïncide avec le milieu des points doubles cette équation se réduit à :

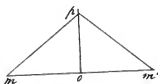
$$\overline{om}' = -oi \cdot oo'$$

et l'on voit que : $oi \cdot oo' < 0$

sera la condition de réalité.

4° Dans le cas où les points doubles sont imaginaires une remarque intéressante peut être faite. On peut en effet pour

$$oi \cdot oo' = op \cdot op'$$



Tirons sur la perpendiculaire op à l'axe d'homographie une longueur égale à op , et joignons le point P à deux points conjugués quelconques mm' .

La relation entre m et m' peut s'exprimer par :

$$om \cdot om' + oi (om - om') + oi \cdot oo' = 0$$

divisant par $oi \cdot oo'$ ou $op \cdot op'$ on a :

$$\frac{om}{op} \cdot \frac{om'}{op'} + \frac{oi}{op} \left(\frac{om}{op} - \frac{om'}{op'} \right) + 1 = 0$$

$$\frac{\lg m/p + \lg o/p \cdot m'}{1 - \lg m/p \cdot \lg o/p \cdot m'} = - \frac{op}{oi}$$

ou $\lg. m/p \cdot m' = \text{constante}$

C'est à dire qu'il existe un point p d'où l'on voit tous ces couples conjugués sous un même angle.

Réciproquement si, sur un angle constant l'ensemble de son sommet les points où ses côtés rencontrent une droite fixe, forment deux séries homographiques dont les points doubles sont imaginaires.

27

2° Plusieurs homographies ayant
même sommet.

Rayons doubles.

Les plusieurs homographies ayant même sommet dont les rayons doubles sont imaginaires jouissent d'une propriété remarquable. On peut faire d'une infinité de manières leur perspective sur un plan de manière à ce que les rayons homologues fassent en perspective un angle constant. Résulte immédiatement de ce qui a été démontré pour les séries

D Théorie de l'Involution d'involution de six points

Définition

Étant donnés trois systèmes de deux points en ligne droite aa', bb', cc' , si l'on a entre ces six points la relation

$$(abc'c') = (a'b'c'e)$$

Les trois couples sont dits en involution

Il est facile de s'assurer que si l'équation précédente est vérifiée toute équation analogue dans laquelle entrent les six points donnés le sera également. Ces équations sont au nombre de six (1)

Expressions de l'in-

volution de 6 points

1° Écrivant les équations dites à 8 segments, en éliminant les relations précédentes de manière à ce que les points du couple qui entrent dans les deux membres servent d'origine aux segments, d'où

(1) On pourra les former en faisant jouer successivement aux trois couples le rôle du couple cc' , aa' et bb' en permettant ensuite les accents des autres points de la manière suivante :

$$cc' \begin{cases} a'' \\ a'b' \end{cases} \cdot aa' \begin{cases} bc \\ b'e \end{cases} \cdot bb' \begin{cases} ac \\ a'e \end{cases}$$

La relation: $(abca') = (a'b'c'a)$

S'écrira: $\frac{ab}{ac} : \frac{a'b}{a'c} = \frac{a'b'}{a'e'} : \frac{ab'}{ac'}$

ou: $\frac{aa'.ab'}{ac'.ac'} = \frac{a'b'.a'b'}{a'e'.a'e'}$

il y aura trois équations de cette espèce

2° Les équations dites à 8 segments s'obtiennent en écrivait les relations d'involution de manière à introduire le segment du couple commun dans les deux membres

Ainsi: $(abca') = (a'b'c'a)$

S'écrira $\frac{ab}{aa'} : \frac{cb}{ca'} = \frac{a'b'}{aa'} : \frac{c'b'}{ca'}$

ou $ba. a'c. c'b' = -b'a.ac'.c'b$

il y aura trois équations de cette espèce

Remarquons comme cas particuliers que si C' s'éloigne à l'infini & qu'on désigne par 0 ce qui devient alors son conjugué, l'une des équations à 8 segments donnera: $0 \cdot 0 \cdot a' = 0 \cdot b \cdot b'$

6° Soient

Si deux couples cc' , dd' forment chacun une involution avec deux autres couples aa' , bb' les deux premiers couples formeront aussi une involution avec l'un quelconque des deux derniers. En effet les involutions aa' , bb' , cc' , aa' , bb' , dd' s'expriment par: $(abcb') = (a'b'c'b)$ ou $\frac{ab}{aa'} : \frac{cb}{cb'} = \frac{a'b'}{aa'} : \frac{c'b'}{cb'}$

$(a b d d') = (a' b' d' b)$ ou $\frac{ab}{a'b'} : \frac{db}{d'b'} = \frac{a'b'}{a'b'} : \frac{d'b'}{d'b'}$

Divisant membre à membre on obtient

$$\frac{cb}{cb'} : \frac{db}{db'} = \frac{c'b'}{c'b} : \frac{d'b'}{d'b}$$

Ce qui exprime l'involution bb' , $c'c'$, dd' - qu'on voulait démontrer.

Points doubles

Si c coïncide avec c' l'équation a huit segments

$$\frac{ab \cdot ab'}{ac \cdot ac'} = \frac{a'b \cdot a'b'}{a'c \cdot a'c'}$$

$$\text{donc } \frac{\overline{ac}^2}{a'c'^2} = \frac{ab \cdot ab'}{a'b \cdot a'b'}$$

Soient c / les deux points déterminés par cette relation, on aura :

$$\frac{ac}{a'c} = + \sqrt{\frac{ab \cdot ab'}{a'b \cdot a'b'}}$$

$$\frac{af}{a'f} = - \sqrt{\frac{ab \cdot ab'}{a'b \cdot a'b'}}$$

$$\text{On conclut } \frac{ac}{a'c} = - \frac{af}{a'f}$$

ce qui prouve que c / divise harmoniquement aa' . Par raison de symétrie il doivent aussi diviser harmoniquement bb' . Et l'on a ainsi une propriété remarquable des deux points doubles qui forment chacun avec deux segments donnés une involution.

Réciproque évidente

Corollaire Si trois couples aa' , bb' , cc' sont en involution et que c / divisent harmoniquement aa' , bb' , il divisent aussi harmoniquement. En effet d'après la propriété des points doubles c / fait involution avec aa' , bb' , il fait donc aussi involution avec aa' , cc' , et comme il en est de même de f , on voit que c / divisent harmoniquement cc' .

Point Central

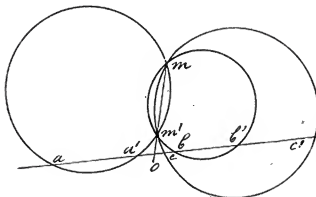
Quand six points aa' , bb' , cc' sont en involution, il existe toujours un point o de l'axe qui donne lieu à :

$$oa \cdot oa' = ob \cdot ob' = oc \cdot oc'$$

Cours de Géométrie descriptive de M. Hany (appendice) 8 Livraison.

En effet prenons un couple o en involution avec $a a', b b',$ etc... Le point o est du point central.

Construction du point central d'une involution. En on trace deux cercles quelconques pour $a a',$ et $b b',$ la corde $m m'$



de ces deux cercles passera par o ce qui donne une construction très simple de ce point. Il résulte de cette construction que si l'on mène un cercle pour $o c'$ et $m,$ ce cercle passera aussi en $m'.$

d' Divisions homographiques en involution.

Deux divisions homographiques décrites sur un même axe peuvent être en involution.

Dans ce cas il y a réciprocity entre les points homologues.

Cette réciprocity résulte immédiatement de la relation

$$o a. o a' = o b. o b' = o c. o c'$$

D'ailleurs cette condition est suffisante pour que deux séries homographiques soient en involution. Car si il y a réciprocity pour deux homologues $o c'$ par exemple, on a l'équation

$$(a b c c') = (a' b' c' c)$$

qui exprime l'involution des trois couples considérés

Remarque On peut toujours superposer deux divisions homographiques données sur deux droites de manière à ce qu'elles soient en involution. Il suffit pour cela de déterminer deux segments homologues $m a. m' a'$ de même longueur (ce qui est toujours possible d'après la note de la page 28) et de superposer a et m' et a'

d.^e Involution de six droites

Définition

Analogue à celle donnée pour les points

Si l'on coupe par une sécante quelconque, on a six points en involution

Expressions de
l'involution de
six droites1^{re} Equation à 8 termes :

$$\frac{\sin A.B. \sin A.B'}{\sin A.C. \sin A.C'} = \frac{\sin A'.B. \sin A'.B'}{\sin A'.C. \sin A'.C'}$$

et deux analogues

2^e Equation à 6 termes

$$\sin B.A. \sin A'.C. \sin C'.B' = - \sin B'.A'. \sin A.C'. \sin C.B.$$

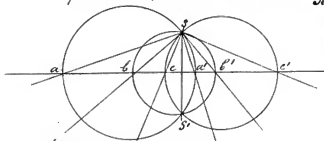
et deux analogues

Rayons doubles

divisent harmoniquement l'angle de deux conjugués quelconques.

Théorème analogue au point central

à réciproques

I Si AA', BB', CC' font involution et que les deux premières couples soient rectangulaires, le troisième l'est également

sécante donc, etc.

Réciproquement, trois angles droits forment un faisceau en involution

Se voit en coupant le faisceau par une sécante, et menant les trois cercles par le sommet du faisceau et les trois segments obtus. La corde commune SS' est perpendiculaire à la

II Si trois angles ont une même bissectrice, ils forment une involution.

En effet soient AA', BB', CC' les trois angles, E leur bissectrice commune; on a les involutions

$AA', BB' E$

$AA', CC' E$

Donc on aura aussi l'involution $AA' BB' CC'$.

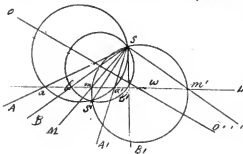


d^{me} faisceaux homographiques en involution

Deux faisceaux homographiques de même sommet peuvent être en involution.

Le cas se cas il y a réciprocité entre les rayons homologues Condition nécessaire et suffisante

Si deux faisceaux en involution il y a toujours un couple rectangulaire et constant. En effet coupons par une secante L : Tous les cercles passant par les couples de points d'in-



tersection conjugués tels que $a a'$ et par le sommet S auront une même corde commune SS' . Leurs centres seront donc situés sur la perpendiculaire OS en son milieu. Cette droite OS rencontre L en un certain point W . Prenons W pour centre et WS pour rayon, nous obtenons le couple conjugué $m m'$ et les rayons conjugués correspondants MM' seront rectangulaires

Application de la théorie de l'involution à la construction des points doubles de deux divisions homographiques quelconques.

On s'exprimera sur la remarque suivante :

Si e et f sont les points doubles de deux divisions homographiques, le segment ef fait involution avec a, b' , b, a' .

En effet l'équation

$$(a, b, ef) = (a', b', ef)$$

$$\text{se résout en } (a, b, ef) = (b', a', ef)$$

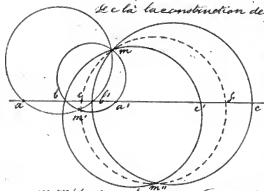
Sous cette forme elle ne comporte plus que trois couples

$$a, b', \quad b, a', \quad e, f$$

dont elle exprime l'involution.

C'est là la construction des points doubles de deux séries déterminées par les trois

couples a, a' , b, b' , e, e' . En effet si l'on mène par un point quelconque deux cercles embrassant les segments ab' , b, a' , il y aura un troisième cercle passant par les points e et f par la corde



m, m' des deux premières. Faisons la même construction pour les segments ac' , ca' , et nous obtenons un nouveau point m'' du cercle cherché. on pourra alors tracer ce cercle qui donnera les points doubles par son intersection avec l'axe d'homographie.

Cours de Géométrie descriptive de M. Haug (supplément) 9^e Édition.

E Applications

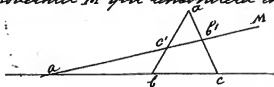
Nous avons terminé ici ce que nous nous étions proposé de dire sur les théories générales de la géométrie supérieure.

Mais avant de quitter cette matière, nous indiquerons encore quelques propriétés importantes du triangle, du quadrilatère et des sections coniques par lesquelles ces figures se rattachent aux recherches précédentes (1)

Nous nous occuperons dans les énoncés un parallélisme remarquable entre les propriétés des points et des droites, parallélisme dont l'origine se retrouve dans le théorème fondamental sur les rapports anharmoniques

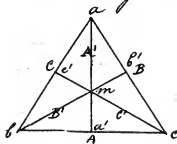
Triangle

1° Si l'on coupe un triangle a, b, c par une transversale M qui rencontrera en a', b', c' les côtés, on a :



$$\frac{a'b' \cdot b'c' \cdot c'a'}{a'c' \cdot c'b' \cdot b'a'} = +1$$

2° Si l'on joint les sommets d'un triangle a, b, c



à un point m , et qu'on appelle $A'B'C'$ les droites - ainsi obtenues A, B, C étant les côtés du triangle on a :

$$\frac{\sin A'B' \cdot \sin B'C' \cdot \sin C'A'}{\sin A'C' \cdot \sin C'B' \cdot \sin B'A'} = -1$$

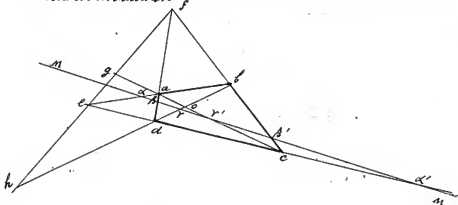
Corollaire Si l'on appelle a', b', c' les points d'intersection de $A'B'C'$ avec les côtés on a :

$$\frac{a'b' \cdot b'c' \cdot c'a'}{a'c' \cdot c'b' \cdot b'a'} = -1$$

(1) On se bannira à énoncer ces propriétés toutes les fois que leur démonstration n'offrirait ni difficulté ni intérêt spécial.

Quadrilatère.

Théorème I Les points de rencontre des quatre côtés et des deux diagonales d'un quadrilatère avec une sécante quelconque sont en involution.

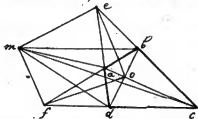


Corollaire Si la sécante coïncide avec la ligne qui joint les points de rencontre des sommets e, f et sont points doubles de l'involution.

(gh et ff)

on voit qu'ils divisent harmoniquement le segment gh .

Théorème II Si l'on joint un point quelconque aux sommets d'un quadrilatère et aux points d'intersection e, f des côtés opposés. On a trois couples en involution.



Corollaire Si le point coïncide avec l'intersection o des diagonales, les rayons oa, ob, oc sont rayons doubles dans l'involution.

(oao, obo, oco)

On voit qu'ils divisent harmoniquement l'angle $\angle o f$

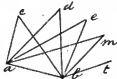
Les sections coniques sont définies comme sections planes d'un cône de révolution ;

Théorèmes fondamentaux :

1^{er} Si l'on joint deux points fixes a & b de la conique à un point variable m pris sur la courbe les droites am , bm décrivent deux faisceaux homographiques.

2^{er} Si l'on prend les points d'intersection m & m' de deux tangentes fixes A , B avec une tangente mobile M , les deux points m & m' décrivent deux divisions homographiques

Construction de la conique passant par cinq points donnés. Soient a b c d e les cinq points; un point quelconque



m de la courbe s'obtiendra en menant par a par exemple la droite quelconque am et déterminant bm par la condition $\delta(m c d c) = \alpha(m e d e)$

le point d'intersection m sera un point de la courbe

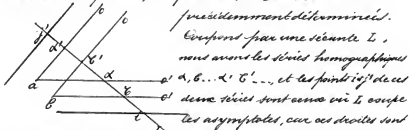
En tangent en un point, on b par exemple sera déterminé par

$$\delta(b e d c) = \alpha(b c d e)$$

Points d'intersection de la courbe avec une droite: Un faisceau α et β déterminent sur la droite deux séries homographiques dont les points d'intersection cherchés sont les points doubles.

Asymptotes. Les asymptotes sont les tangentes à la courbe aux points situés à l'infini. Si α est un faisceau β' parallèle au faisceau β . Les rayons doubles des faisceaux α et β' déterminent les directions des asymptotes. Pour avoir

Leurs positions appelons oo' les points à l'infini sur la courbe, et considérons les faisceaux homographiques issus de ces points et se coupant sur la conique; ces faisceaux se composent de droites telles que $ao, a'o'$ parallèles dans deux directions - précédemment déterminées.

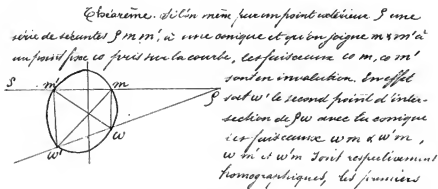


Composés par une sécante L , nous avons les séries homographiques $a', b, \dots, d', e', \dots$, et les points ij, j' de ces deux séries sont ceux où L coupe les asymptotes, car ces droites sont dans chaque faisceau homologue du rayon oo' considéré comme appartenant à l'autre faisceau, et oo' étant tout entier à l'infini rencontre L à l'infini.

Des constructions analogues s'appliqueraient aussi cas où la conique serait déterminée par cinq tangentes, ou par des points et des tangentes quelconques.

Les diamètres conjugués d'une conique forment deux faisceaux en involution.

Soles et Polaires. Nous ne nous arrêterons pas à démontrer ici ces propriétés bien connues.



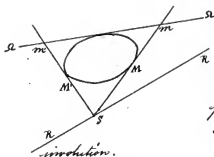
Exemple. Si l'on mène par un point intérieur S une série de sécantes Sm, m' , à une conique et qu'on joigne m et m' à un point fixe co pris sur la courbe, les faisceaux $co m, co m'$ sont en involution. En effet soit w le second point d'intersection de Sw avec la conique; les faisceaux $w m$ et $w' m'$, $w m'$ et $w' m$ sont respectivement homographiques, les premiers

Cours de Géométrie descriptive de M. Haug (1874) 10^e Édition.

parcequ'ils se coupent sur la courbe, les seconds
parcequ'ils se coupent sur la polaire du point S ; donc
les faisceaux $w m w m'$ sont aussi homographiques, et comme
il y a évidemment réciprocité pour les rayons homologues
le théorème est démontré.

Propriété évidente (1)

Théorème Corrélatif. Si d'un point S d'une droite R



ou même deux tangentes MM' à
une conique, et si l'on prend les
intersections $m m'$ de ces tangentes
avec une tangente fixe Ω , lorsque
le point S décrit la droite R , les
points $m m'$ décrivent sur Ω des
divisions homographiques en

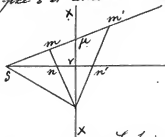
involution.

Figures homographiques.

et homologues

Deux figures sont dites homographiques, lorsque les
rapports anharmoniques que l'on peut considérer dans l'une
sont égaux aux rapports homologues de l'autre.

Deux figures planes sont dites homologues lorsque la
droite qui joint leurs points homologues passe par un point
fixe S et rencontre une droite fixe X en un point quelque



$$\frac{S m}{S m'} = R \frac{\mu m}{\mu m'}$$

R étant une constante.

Le point S est dit Centre d'homologie des deux
figures, la droite XX' axe d'homologie.

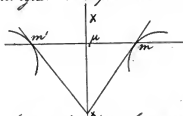
(1) Voir appendice, page 8, deux cas particuliers de ce théorème réciproque.

Les droites joignant deux points m, n et leurs homologues m', n' , et coupent sur la λ^{e} homologie: on effectue:

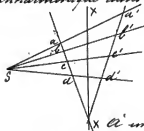
$$(S\mu\ m\ m') = (S\nu\ n\ n') = \mathcal{R}$$

A des points en ligne droite correspondent des points en ligne droite

Les tangentes à des courbes homologues en des points homologues se coupent sur l'axe d'homologie.



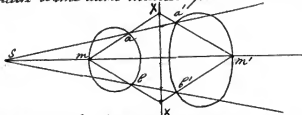
Quatre points en ligne droite ont même rapport anharmonique dans les deux figures; car ils sont les sections de deux droites par une même trajectoire.



Les courbes homologues se coupent sur l'axe d'homologie. Elles sont tangentes aux mêmes droites issues du centre d'homologie.

X A' une courbe de degré n de la première figure correspond une courbe de degré n de la seconde. Le voit par le nombre de points d'intersection avec une sécante.

Le cas particulier des sections coniques
peut être traité d'une autre manière par la considération



des fractions a'm', b'm' qui sont homographiques de
les fractions a m, b m le sont. ^x(1)

(4) L'une des coniques a son centre au centre d'homologie; ses asymptotes sont les tangentes menées de ce point à l'autre conique, et l'axe d'homologie est la parallèle à la droite de S dans cette dernière menée à une distance égale du centre S .

Les droites conjuguées d'une figure ont pour homologues des droites conjuguées de l'autre: à des foyers et des polaires correspondant du pôle & du polaire. Nous avons vu (Note 3) qu'étant donnée une conique il existait pour chaque point de son plan une conique indicatrice ayant ce point pour centre. Or les diamètres conjugués étaient droites conjuguées de la première: ces coniques sont les homologues de la conique donnée, lorsque on prend les points considérés pour centres d'homologie. De là cette nouvelle définition des foyers: ce sont les points qui pris pour centres d'homologie donnent des cercles comme figures homologues de la conique proposée.

Les figures homologues sont des figures homographiques situées l'une par rapport à l'autre dans une position spéciale: ce sont aussi des figures perspectives. (1)

Formule de
Géométrie
segmentaire

Utilons pour terminer une formule de Géométrie segmentaire qui donne lieu à une remarquable application algébrique.

Étant pris n points a, b, c, \dots, k et $n-1$ points m, n, p, \dots, s . Sur une droite, on a toujours:

$$(A) \frac{am \cdot an \cdot ap \cdot \dots \cdot as}{a b \cdot a c \cdot a d \cdot \dots \cdot a k} + \frac{bm \cdot bn \cdot bp \cdot \dots \cdot bs}{b c \cdot b d \cdot b e \cdot \dots \cdot b k} + \dots = 1$$

Car si cette équation n'était pas identique elle pourrait servir à déterminer l'un des points qui y entrent le point m par exemple, or en supposant le théorème démontré pour deux séries de $n-1$ & $n-2$ points, on voit que l'équation A sera vérifiée si m coïncide avec l'un quelconque des points de la première série, mais l'équation qui détermine m est du premier degré, & comme elle devrait admettre n solutions il est nécessaire qu'elle soit identique.

(1) L'une des figures peut être considérée comme située en perspective, l'autre sera la vraie grandeur de cette figure ramenée dans le plan du tableau par une rotation autour de la ligne de base XX . S sera le point de fuite des lignes perpendiculaires à XX et inclinées à 45° sur le géométral.

41

On raisonnement par exemple que si l'équation A est démontrée pour $n-1$, $n-2$ points, elle le sera aussi pour n , $n-1$: sont réciproque donc à démontrer la relation dans le cas de 2 et 1 points, car dans ce cas on a :

$$\frac{am}{ab} + \frac{bm}{ba} = 1$$

$$\text{ou } am + mb + ba = a^2$$

ce qui est l'identité linéaire.

La formule A que l'on peut mettre sous la forme

$$(A) \sum \frac{am \cdot an \cdot ap \dots us}{ab \cdot ac \dots at} = 1$$

donne des cas particuliers à d'autres formules remarquables

Supposons d'abord qu'un point S de la seconde série s'éloigne à l'infini, divisant tous les termes par as, on trouve l'équation

$$(B) \sum \frac{am \cdot an \cdot ap \dots at}{ab \cdot ac \dots at} = 0$$

Actuellement on peut faire disparaître une a.m. de l'équation B toutes les lettres de la seconde série sans en changer la forme: on voit donc que cette équation est générale pour ce système de n et de x points, pourvu que il soit inférieur à $n-1$

Si $x = 0$ on a :

$$(C) \sum \frac{1}{ab \cdot ac \cdot ad \dots at} = 0$$

Il est bien entendu que dans toutes ces équations plusieurs points peuvent coïncider :

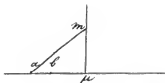
En faisant sur la coïncidence de points différentes répétitions on arrivera à une foule de relations différentes, qui seront toutes des identités

En supposant par exemple tous les points de la seconde série coïncidant avec M, on trouve,

$$(D) \sum \frac{am^x}{ab \cdot ac \dots at} = 0$$

et il est facile de reconnaître que si x est pair, cette équation peut

Cours de M^r Haay. Géométrie descriptive (Appendice) 11^{me} leçon



être étendue à un point m extérieur à la droite considérée, en utilisant la formule

$$\overline{am}^2 = \overline{m\mu}^2 + \overline{a\mu}^2$$

puisque $\alpha \overline{m\mu}$ est de la forme

$$A + B \overline{a\mu}^2 + C \overline{a\mu}^4 + \dots + \overline{a\mu}^{2n}$$

donc, de

Application à la décomposition des fractions rationnelles

dans la relation

$$\sum \frac{am \cdot an \dots as}{ab \cdot ac \dots ah} = \frac{as}{ah} = 1$$

remplaçons la lettre K par la lettre x ; nous aurons en n 'é-
tendant le signe \sum qu'une $n-1$ premières lettres de la somme
soient

$$\sum \frac{am \cdot an \dots as}{ab \cdot ac \dots ah} = 1 - \frac{bc \cdot m \cdot bc \cdot n \cdot bc \dots bc \cdot s}{bc \cdot a \cdot bc \cdot b \cdot bc \cdot c \dots bc \cdot h}$$

On en rapportant les segments à une même origine et
désignant par chaque lettre l'abscisse du point correspondant:

$$\sum \frac{(a-m)(a-n) \dots (a-s)}{(a-b)(a-c) \dots (a-h)} = 1 - \frac{(x-m)(x-n) \dots (x-s)}{(x-b)(x-c) \dots (x-h)}$$

et nous obtenons actuellement:

$$F(x) = A(x-a)(x-b) \dots (x-n)$$

$$Y(x) = \alpha(x-m)(x-n) \dots (x-s)$$

La relation précédente s'écrit:

$$\sum \frac{Y(a)}{F'(a)} = 1 - \frac{Y(x)}{F(x)}$$

$$\text{ou } \frac{Y(x)}{F(x)} = \frac{\alpha}{A} + \sum \frac{Y(a)}{F'(a)(x-a)}$$

C'est la formule générale de la décomposition des

fractions rationnelles (1)

Application à la démonstration d'une autre formule d'analyse

Prenons l'équation (A) sous la forme

$$(A) \sum \frac{(a-n)(a-n) \dots (a-1)}{(a-b)(a-c) \dots (a-k)} = 1$$

Si l'on fait $F(x) = A(x-a)(x-b) \dots (x-k)$

$Y(x) = L(x-m)(x-n) \dots (x-d)$

L'équation précédente signifie que

$$\sum \frac{Y(a)}{F'(a)} = \frac{L}{A}$$

Le signe \sum s'étendant à toutes les racines de $F(x) = 0$

Cette est la formule d'analyse que nous nous étions proposés de démontrer.

Si $Q(x)$ est de degré inférieur à $n-1$, $F(x)$ restant de degré n , on trouverait en faisant $L = 0$

$$\sum \frac{Q(a)}{F'(a)} = 0$$

Enfin si $f(x)$ se réduisait à une constante on retrouverait la formule d'Euler :

$$\sum \frac{1}{F'(a)} = 0$$

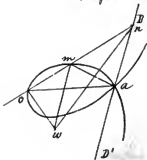
(1) Nous ne nous arrêterons pas à examiner ici le cas des racines multiples, ni celui où $F(x)$ est d'un degré inférieur à $f(x)$. Le cas où $F(x)$ est d'un degré supérieur à $f(x)$ résulte immédiatement de la formule en y faisant $L = 0$

Note 5

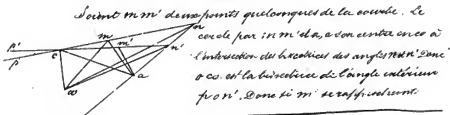
Sur l'Emploi de la Méthode des limites dans les problèmes de Géométrie

Les exemples de cette méthode sont si fréquents dans la
science même du cœur qu'il peut sembler inutile d'indormer encore
d'autres. Cependant les questions traitées dans le cours se rapportent
presque toutes à des propriétés de continuité indépendantes de la
nature particulière des courbes et des surfaces et comme d'autre
part les infimement petits y sont exclusivement considérés par leurs
rapports et non par leur somme, il y a quelque intérêt à faire connaître une
ou deux applications d'une autre nature.

1° Tangente à la Strophoïde. La Strophoïde est une courbe qui



se rencontre fréquemment dans les quatuor (1)
sa définition la plus générale est la
suivante : Etant fixé un pôle O , une
droite quelconque DD' , et un point a sur
cette droite, on mène le rayon oa ou oa' , et l'on
prend sur ce rayon non a non a' : le point
 m décrit la Strophoïde : elle est dite droite
si l'angle OaD est droit, gauche dans le
cas contraire.

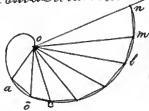


C1) On la trouve notamment comme cas particulier de la coque d'ombre de Lurii à flut triangulaire.

indéfiniment de m . L'angle $m om'$ devient nul, $o co$ devient la perpendiculaire à $a' om$, et comme alors mc est la normale à la courbe on a une construction simple de cette normale au moyen de l'intersection de la bissectrice de l'angle ona , et de la perpendiculaire en o à on (1)

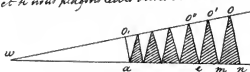
2^o Quadrature de la spirale logarithmique. La spirale logarithmique se définit géométriquement de la façon suivante : C'est une courbe qui coupe sous un angle constant tous les rayons vecteurs issus d'un point fixe appelé pôle.

Cherchons la quadrature de la surface comprise entre cette courbe et deux de ses rayons oa, on .



Divisons l'angle $a on$ en un grand nombre de parties égales par les rayons ob, oc, od, oe, om . Tous les triangles tels que onm, oml, oln , ainsi formés sont semblables (2)

et si nous plaçons leurs bases bout à bout sur une même droite, leur



sommes. à cause des triangles isocèles $o m' a', o l' m''$, etc. seront égaux sur une seconde droite qui coupera

en o la première

(1) En indiquant cette construction de la tangente à la cycloïde, on a voulu donner un exemple de la marche la plus régulière à suivre pour la détermination des tangentes ergostolaires ; étudier les propriétés de la spirale d'abord finit on passant à la limite rechercher ce que ses propriétés deviendront et selon point on donne une construction

(2) Ces deux arcs de courbe quelconques correspondant à un même angle au pôle sont évidemment semblables

Supposons maintenant que le nombre des triangles aille en croissant indéfiniment, les angles tels que $\angle m'o'$ tendant vers zéro, le triangle $oo'n$ devient rectangle en o , l'angle en o devient l'angle constant θ sous lequel la courbe coupe les rayons issus du pôle, la somme des aires ombrées a pour limite l'aire courbe que l'on cherche et au minimum est la moitié du trapèze $on'oa$ - son expression sera donc:

$$A = \frac{1}{2} \frac{oa + o'n}{2} \times \theta,$$

$$\text{ou bien } A = \frac{(oa + on')}{4} \theta = \frac{(o\bar{a}^2 - \bar{o}n')}{4} \theta \quad (1)$$

Recherche des maxima et minima géométriques par la méthode infinitésimale.

En s'appuyant sur le principe suivant du *la Feuille*:

Lorsque une quantité géométrique est maximum ou minimum (2), deux valeurs infiniment voisines peuvent être considérées comme égales entre elles. En effet les accroissements successifs de la quantité qu'on considère devenant *soit* négatifs *positifs* ou *inverseront*: la loi de continuité exige qu'ils passent par zéro (car le changement de signe par l'infini n'est pas admissible)

Applications:

Prenez par un point o dans une courbe une sécante qui détache un segment minimum. Soit on la sécante cherchée

Soit on' son déplacement infinitésimal; la considération des triangles ombrés qui doivent être égaux montre que on doit être égal à on' ce qui définit la position de la sécante.

(1) On fera seulement le raisonnement rigoureux que nous nous entendons ici

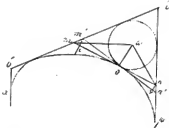
(2) La définition du maximum et minimum est bien entendue celle de l'algèbre

Problème du polygone à périmètre maximum ou minimum inscrit ou circonscrit à une arc de cercle (1).

1°. Polygone inscrit. Soit $ab mnp$ un polygone de m côtés à périmètre maximum inscrit à une courbe tangent à tous les côtés, sans autre sommet, n , le sommet a ou p doit être évidemment un maximum, parce tous ceux obtenus en passant à m et à p par un point quelconque de l'arc mnp . Donc pour un déplacement infinitésimal relatif de n le somme mnp ne varie pas, c. à d. que la courbe est tangente en n à une droite dont m et p sont les foyers. De même les côtés mn , np sont également inclinés sur la tangente en n . Il en sera de même évidemment pour tous les sommets autres que n , ce qui caractérise le polygone.



2°. Polygone circonscrit. Soit $ab mnp$ un polygone de m côtés à périmètre minimum circonscrit à une courbe tangent à tous les côtés, sans autre sommet, n . Donnons à cette courbe un déplacement infinitésimal positif, la variation infinitésimale du périmètre devra être nulle, c. à d. qu'on aura, m et n étant sur une même courbe (sans autre sommet),



$$m m' - m' n' = n n' - n' p'$$

$$\text{ou } m' \left(\frac{1}{\sin m} - \frac{1}{\sin n} \right) = n' \left(\frac{1}{\sin n'} - \frac{1}{\sin n''} \right)$$

$$\text{ou encore } m' \cot \frac{1}{2} m = n' \cot \frac{1}{2} n'$$

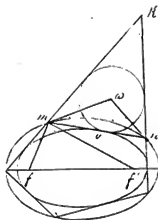
$$\text{c. à d. la limite } \cot \frac{1}{2} m = \cot \frac{1}{2} n$$

Cette équation montre que le point O doit être la projection sur mn du point d'intersection des bissectrices des angles m et n , ou en d'autres termes le point de contact de mn avec le cercle inscrit au triangle mnp . Cette condition caractérise le polygone à périmètre minimum.

Remarque. Tous les polygones à périmètres maximum ou minimum relatifs à une même arc de cercle sont isopérimétriques. En effet on peut passer d'un de ces polygones au polygone infinitésimalement voisin de variation du périmètre soit nulle ou du premier ou second ordre de petitesse.

Appliquant ces considérations au cas de l'ellipse, on arrive facilement aux théorèmes suivants :

(1) La comparaison ne porte que sur des courbes qui sur des arcs isopérimétriques ayant mêmes extrémités et un même nombre de côtés.



Si un polygone à périmètre minimum est inscrit dans une ellipse, ses côtés sont tangents à une seconde ellipse homofocale à la première et pour laquelle il est un polygone minimum circonscrit.

Si un polygone remplit la condition d'être à la fois inscrit et circonscrit à deux ellipses homofocales, son périmètre est maximum pour la première ellipse, minimum pour la seconde. (1)

Note 6.

Sur l'étude des Courbes planes au point de vue de la détermination des éléments caractéristiques en chacun de leurs points.

La question la plus générale, que l'on est à résoudre dans l'étude descriptive des courbes planes consiste dans la détermination de sa tangente, du cercle osculateur, du diamètre, ou un mot des éléments qui caractérisent la courbe en chacun de ses points.

La méthode des coordonnées fournit la solution générale de ce problème, mais dans les formules qu'elle donne, la simplicité géométrique des résultats se trouve souvent effacée. Il y a donc intérêt à étudier la question sous forme plus directe et cette étude est facilitée dans la plupart des cas par la connaissance des théorèmes géométriques dont nous exposons les principaux dans le cours de cette note. Les nombreux exemples par lesquels nous illustrerons cet exposé ont été choisis de façon à compléter ce qui peut faire de ces théorèmes : ces exemples ont été choisis de façon à rendre autant que possible les procédés de construction tout en faisant connaître.

(1) La démonstration de ces théorèmes résulte de deux propriétés des courbes homofocales qui ont été remarquées plus tard, en conséquence géométrique d'un théorème de M. de Steiner. Les analogues de ces théorèmes traitent d'autres analogues, mais que je n'exprime pas de même intérêt parce qu'ils sont traités par projection ou cercle.

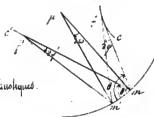
les propriétés les plus intéressantes des courbes connues.

A. Caustiques.

Définitions.

Les rayons issus d'un point f se réfléchissent à leur rencontre avec une courbe A de façon à faire un angle de réflexion égal à l'angle d'incidence, changé de signe: l'enveloppe C des rayons réfléchis est dite la Caustique par réflexion de la courbe A relativement au foyer f .

Plus généralement, si les rayons incidents au lieu d'émaner d'un point fixe f touchent en f une enveloppe, cette enveloppe C et la courbe A prennent le nom de caustiques réciproques de la courbe A .



Formule générale des caustiques.

Soit α et β l'angle de réflexion au lieu i être égal à l'angle d'incidence changé de signe lui et β par la relation de réflexion $\sin \alpha = n \sin \beta$, α est une ligne et β est une surface.

Appelons θ l'angle que fait avec les directions mf , mf' des rayons incidents et réfléchis la direction mn sur la courbe venante: γ , γ' et ω les angles de ces directions mf , mf' et mn avec une direction fixe. En tenant compte des signes des angles, nous aurons ensuite que c'est la disposition de la figure:

$$\alpha\theta = \alpha\gamma - \alpha\omega \quad \alpha\theta' = \alpha\gamma' - \alpha\omega$$

et ailleurs la relation permanente: $\cos \theta = n \cos \theta'$

comme par différentiation: $\sin \theta d\theta = n \sin \theta' d\theta'$

$$\alpha = i \quad \sin \theta (d\omega - d\gamma) = n \sin \theta' (d\omega - d\gamma')$$

D'autre part, appelant l les longueurs positives mf , mf' et p le rayon de courbure de A avec son signe, on a avec la même généralité:

$$l d\gamma = m n' \sin \theta \quad l' d\gamma' = m n' \sin \theta' \quad p d\omega = m n'$$

on portait dans l'équation précédente les valeurs de $d\gamma$, $d\gamma'$ et $d\omega$ tirées de ces dernières relations on trouve:

$$\sin \theta \left(\frac{l}{p} - \frac{\sin \theta}{\sin \theta'} \right) \sin \theta' \left(\frac{l'}{p} - \frac{\sin \theta'}{\sin \theta} \right) = \frac{l}{p} \theta' \left(\frac{l'}{p} - \frac{\sin \theta'}{\sin \theta} \right)$$

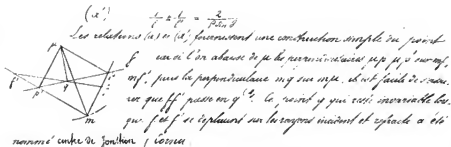
$$n \alpha \sin \theta \left(\frac{l}{p} - \frac{\sin \theta}{\sin \theta'} \right) = \frac{l}{p} \theta' \left(\frac{l'}{p} - \frac{\sin \theta'}{\sin \theta} \right)$$

c'est la formule des caustiques par réflexion.

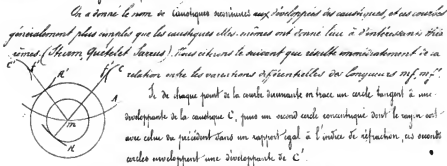
Dans le cas de la réfraction, θ étant égal à $\pi - \theta'$ ou à θ elle se réduit à:

(1) On peut faire, page 48, la note relative au signe des rayons de courbure

Construction géométrique
Centres de jonction



Caustiques secondaires



Relation entre les rayons de courbure des caustiques réciproques.

On déduit facilement de la formule a la relation :

$$(b) \quad \frac{1}{f_2} \cos \theta \sin^2 \theta - \frac{p_2}{p_1^2} \cos \theta + \frac{1}{2} \frac{\sin \theta}{p_1} \left(\frac{1}{p_1} - \frac{1}{f_1} \right) = \frac{1}{f_2} \cos \theta \sin^2 \theta - \frac{p_2}{p_1^2} \cos \theta + \frac{1}{2} \frac{\sin \theta}{p_1} \left(\frac{1}{p_1} - \frac{1}{f_1} \right)$$

où p_2 représente le rayon de courbure du second ordre la courbe d'incidence, et p_1 les rayons de courbure des caustiques réciproques (les des points étant comptés sur ces courbes dans le sens des rayons mf, mf').

Dans le cas simple de la réflexion, cette formule se réduit à :

$$(b') \quad \frac{1}{f_2} + \frac{1}{f_1} = \frac{2p_2}{p_1^2 \sin^2 \theta} = \frac{1}{p_1^2} \left(\frac{1}{f_1} - \frac{1}{f_2} \right)$$

et cette dernière relation peut encore se mettre sous la forme plus élégante :

$$(b'') \quad \frac{1}{f_2} + \frac{1}{f_1} = \frac{1}{\omega^2 \theta} \left(\frac{1}{p_1^2} - \frac{1}{p_2^2} \right)$$

si l'on appelle θ la déviation dans la courbe A et p' le rayon de courbure de la courbe A' orthogonale à A et relativement à laquelle CC' sont aussi caustiques réciproques.

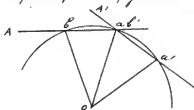
B. Roulettes.

Théorème 1°. Soit l'aplomb d'une figure plane indéformable point-à-point par une courbe relation.

Il suffit évidemment de démontrer le théorème pour deux

(1) la forme de la relation à montrer que si f désignent les rayons mf et mf' des points homologues, et comme les axes d'homographie se croisent en un point m qui est son homologue dans les deux images, donc ff' passe par un point fixe. Il suffit alors de montrer que m se déplace par deux f et f' par exemple, passant en q .

points quelconques de la figure mobile. Soit A une droite de cette figure,



A' sa nouvelle position. Prenons le point d'intersection de ces deux droites, ce point considéré comme appartenant à A et désigné alors par a vient en a' par suite du déplacement. Ce même point

considéré comme point de A' et désigné par b' dans cette nouvelle hypothèse devient b avant le déplacement, mais $ab = a'b'$, de sorte qu'on mène un cercle par B à a' on pourra amener a à b' sur A' par une rotation autour du centre de ce cercle.

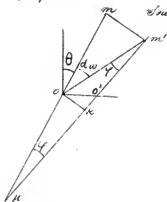
En appliquant ce théorème à des déplacements infiniment petits successifs, on voit que le mouvement quelconque d'une figure plane peut être produit par le roulement d'une courbe liée à la figure mobile sur une courbe fixe qui est dite base du roulement. Le point de contact de ces deux courbes est appelé l'centre instantané de rotation. La trajectoire d'un point quelconque lié à la figure mobile est dite roulette.

Tangente

La trajectoire d'un point mobile,

Les normales à toutes les trajectoires passant au centre instantané de rotation, leurs tangentes sont déterminées si l'on connaît ce centre ou inversement. Application à la cycloïde, à l'épicycloïde etc.

Courbure



Sont oo' deux centres instantanés successifs du triangle infinitésimal dont la figure tourne autour de o . cherchons le rayon de courbure de la trajectoire $m; m'; m''$ étant des normales consécutives pe est le centre de courbure. Or le triangle $mm'o'$ donne $dw = \theta + \theta'$

On en conclut aisément en affectant θ l'angle supplémentaire

de moo'

$$\frac{1}{om} + \frac{1}{o\mu} = \frac{d\omega}{o\theta \cos \theta}$$

il maintenant l'on désigne par R et R' les rayons de courbure respectifs de la base et de la courbe roulante, d'où étant la somme des angles de contingence de ces deux courbes, la formule précédente pourra s'écrire: $\frac{1}{om} \pm \frac{1}{o\mu} = \frac{1}{\cos \theta} \left(\frac{1}{R} \pm \frac{1}{R'} \right)$

en retrouvant la question des signes.

Cette équation détermine le centre de courbure μ de la courbille.

Construction de Javary. Soient CC' les centres de courbure correspondant à R et R' . Elevons une perpendiculaire mm' à mo en o , et joignons m à c . Ces deux droites se coupent en h , et l'intersection μ de $C'R$ avec om est le centre de courbure de la trajectoire m .

En effet abaïssons cc perpendiculaire sur om , le point c (d h om) et les parallèles

de f , ho , ce donnent:

$$(f \mu om) = (d h o m) = (f o m) = 1 - (f o o m)$$

$$\text{c'est-à-dire } \frac{fo}{f\mu} : \frac{fo}{\mu m} + \frac{fo}{f o m} : \frac{e o}{o m} = 1$$

$$\text{d'où } \frac{\mu m}{\mu o} + \frac{o m}{o o} = \frac{f o m}{f o}$$

$$\text{ou enfin } \frac{1}{om} - \frac{1}{o\mu} = \frac{1}{o c} - \frac{1}{o f} = \frac{1}{o\theta \cos \theta} \left(\frac{1}{R} - \frac{1}{R'} \right)$$

Le calcul que nous venons de faire n'a pu s'effectuer pour résultats la vérification de la construction précédente; et nous montrés encore quels signes doivent être affectés aux segments dans l'équation du rayon de courbure: nous serions en reste arrivés au même résultat si nous avions donné des signes aux angles φ et aux angles de contingence.

Remarques: 1° Les rayons RR' n'entrant dans l'équation qu'à l'expression $\frac{1}{R} - \frac{1}{R'}$, on voit que pour toutes

Les questions de courbure, on pourra substituer avec avantage de roulement d'autres courbes quelconques pourvu que la somme $\frac{1}{r} - \frac{1}{R}$ reste constante. En particulier on pourra prendre une droite et un cercle w et le rayon du cercle sera déterminé par

$$\frac{1}{p} = \frac{1}{r} - \frac{1}{R}, \quad (1).$$



Dans ce cas la construction de Savary se simplifie.

2° Le lieu des points pour lesquels le rayon de courbure est infini est le cercle décrit sur oa comme diamètre. Ce

cercle a pour cette raison la dénomination de *Circumference des inflexions*.

Enveloppe d'une courbe mobile

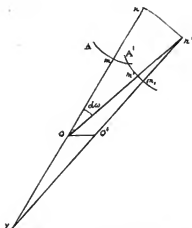
La détermination de l'enveloppe d'une courbe mobile se présente comme problème corrélatif de la détermination de la trajectoire d'un point.

Construction de l'enveloppe. Les points de l'enveloppe s'obtiennent en abaissant du centre instantané O des normales à la courbe mobile, de même que les normales à la trajectoire s'obtiennent en joignant le point mobile au centre O . La tangente est celle à l'enveloppe.

Courbure

Pour déterminer la courbure, prenons deux positions consécutives A et A' de l'enveloppée, et soient om , les points correspondants de l'enveloppe: mo , o' étant deux normales consécutives de cette dernière, o sera son centre de courbure; mais A est venue en A' par une rotation dw autour de O , donc si l'on fait tourner om de dw de façon à l'amener en $o'm'$ il devient normal à A' . Son intersection n' avec $o'm$, est alors le centre de courbure de A' .

(1) On vient de déterminer le rayon de courbure des trajectoires par la méthode des cycloïdes engendrées elles-mêmes par le contact de deux cercles.



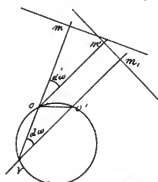
au point m' et l'on voit que la trajectoire $n n'$ de ce point a précisément pour centre de courbure le centre de courbure cherché.

Le problème de la courbure des enveloppes se trouve ainsi ramené au problème déjà résolu de la courbure des trajectoires

Remarque 1^{re}. Plusieurs courbes qui ont même tangente en un même point des courbes qui ont aussi même développée.

2^e. Le cas particulier où A est une droite donne lieu

à une remarque intéressante. Dans ce cas la figure précédente se simplifie et fait voir que l'angle $o x o'$ étant égal à $d w$, le lieu du point Y est un cercle par $o o'$, c'est à dire tangent à la base U . Ainsi les enveloppes de toutes les droites de la figure mobile ont leur centres de courbure sur son même cercle.



On peut étendre cette remarque aux centres de courbure d'ordre quelconque de ces enveloppes; en effet leurs premières développées sont les enveloppes de leurs normales.

Mais toutes ces normales forment un faisceau variable de forme, auquel la propriété démontrée est applicable, donc etc. etc.

(1) Il est facile de s'assurer soit directement, soit par la construction de Savary que ce cercle est le symétrique par rapport à $o o'$ de la circonférence des inflexions.

Digression sur quelques propriétés mécaniques du mouvement d'une figure plane.

Pour compléter la théorie des courbilles, nous démontrerons ici quelques propriétés mécaniques ou physiques du mouvement qui sont à lui engendrées. Nous aurons recours pour ces démonstrations à une méthode spéciale dont il est nécessaire que nous indiquions d'abord le principe.⁽¹⁾

C'est en traitant par son aspect général dans la classe des méthodes algébriques, cette méthode qu'y distingue on ce que, en traitant sous un seul symbole les deux coordonnées relatives à un même point, elle est ramenée à une algèbre spéciale où les égalités ordinaires sont remplacées par des égalités géométriques ou équivalences.

Ainsi :

Une point m est représenté par la quantité géométrique Om ou \vec{Om} ⁽²⁾ on désigne sa grandeur et on direction. L'instance de ce point à une origine fixe, O étant l'angle de Om avec une direction fixe :



La somme géométrique de deux quantités Om , on sera la grandeur géométrique on obtenue en portant les deux quantités données l'une à suite l'une de l'autre.

Le produit géométrique de deux quantités Om , on sera une quantité Op qui sera être à Om sa grandeur et on direction.

⁽¹⁾ Cette remarquable méthode est due au géomètre italien Bellavitis.

⁽²⁾ Souvent quand à question d'un point on s'occupe de résoudre par la connaissance explicite de l'angle α on se borne à désigner le rayon Om par \vec{Om} , la barre qui surmonte le lettre indiquant suffisamment qu'il s'agit d'une quantité géométrique et que les équations où elle entre sont des équivalences.

Théorie de la Mécanique
des équivalences
mécaniques, physiques, mathématiques
et géométriques.



comme om est à l'unité positive, c'est-à-dire à la longueur 1 posée dans la direction qui sert d'origine aux angles. Ce sera en d'autres termes le cosinus homologué de om dans le triangle semblable au triangle omn construit sur on .

Enfin les définitions de la soustraction, de la soustraction, de la somme et de la puissance géométriques consistent en celles de l'addition et de la multiplication.

En partant de ces définitions simples, dans lesquelles les lois de l'algèbre entrent comme cas particuliers, il est facile de s'assurer que les règles générales du calcul algébrique sont applicables au calcul des équipollences.

Ainsi on peut intervertir l'ordre des termes dans une somme, dans les facteurs dans un produit, les équipollences peuvent être ajoutées, multipliées entre elles membre à membre etc, etc.

Differentielles et
intégrales géométriques

Les différentielles géométriques sont des différences géométriques infinitésimales, et les intégrales ou sommes et grandeurs géométriques infinitésimales. Et d'après ce qui vient d'être dit, les règles générales du calcul différentiel et intégral peuvent leur être également appliquées.

En particulier les accélérations, ordres successifs d'un point a qui décrit dans le plan une trajectoire curviligne sont représentées par $\gamma_n = \frac{d^2 a}{dt^2}$, formule absolument analogue à celle donnée pour le mouvement rectiligne en mécanique.

Emploi des projections

D'après ce qu'on vient de voir, une quantité géométrique u peut toujours être remplacée dans les relations où elle entre par la somme géométrique de ses projections sur deux axes rectangulaires. Si l'on choisit pour un de ces axes la direction qui sert d'origine et si l'on désigne par x la grandeur algébrique de u , les projections

serait :

$$\vec{r}_0 \cos \alpha \quad \vec{r}_0 \sin \alpha$$

Mais d'après les définitions précédentes, $\vec{r} = \vec{r}_0 \sqrt{t}$ ⁽¹⁾
 En sorte que l'on peut écrire :

$$\vec{r} = \vec{r}_0 (\cos \alpha + \sqrt{t} \sin \alpha)$$

Si l'on ramène toutes les quantités géométriques à cette forme simple, elles se trouveront plus facilement comparables entre elles et les modules \vec{r}_0 étant tous ces quantités de même direction⁽²⁾, il sera inutile de leur conserver la base et l'indice.

Application au problème
 des roulettes
 Examine des Centres
 instantanés de divers ordres

Appliquons ces considérations au mouvement d'une figure plane invariable de forme, mobile dans son plan.

La distance $\vec{u} - \vec{v}$ de deux points m et n peut se mettre, comme toute quantité géométrique, sous la forme :

$$R (\cos \alpha + \sqrt{t} \sin \alpha)$$

La différence entre les additions d'ordre $n-1$ de ces deux points s'obtiendra donc en différenciant n fois cette dernière expression.

Mais dans ces différentiations, R qui est la distance des deux points est ée considérée comme une constante et α qui est l'inclinaison de la droite mn sur la direction origine a pour dérivée par rapport au temps la vitesse angulaire ω de la figure.

(1) Le signe \sqrt{t} indique ici une opération géométrique, la quantité \sqrt{t} n'a rien d'imaginaire.

(2) Nous empruntons quelquefois à l'algèbre l'expression de quantités nulles pour désigner les grandeurs portées dans la direction origine. Mais cette expression employée simplement par analogie n'impliquera rien de plus.

On obtiendra donc un résultat de la forme :

$$R(\cos \alpha + \sqrt{-1} \sin \alpha) \bar{\theta}_n$$

en désignant par $\bar{\theta}_n$ une fonction géométrique de ω et de ses $(n-1)$ premières dérivées⁽¹⁾

Remplaçons dans ce résultat $R(\cos \alpha + \sqrt{-1} \sin \alpha)$ par $\bar{u} \cdot \bar{v}$ et nous aurons :

$$(A) \quad \frac{d^n \bar{u}}{dt^n} - \frac{d^n \bar{v}}{dt^n} = (\bar{u} \cdot \bar{v}) \bar{\theta}_n$$

$$\text{ou} \quad (A') \quad \frac{d^n \bar{u}}{dt^n} - \bar{\theta}_n \bar{u} = \frac{d^n \bar{v}}{dt^n} - \bar{\theta}_n \bar{v} = \dots = 0_n \bar{v}_n$$

en désignant par \bar{v}_n une grandeur géométrique qui est la même pour tous les points de la figure.

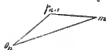
Soit o_n le point qui a \bar{v}_n pour rayon vecteur : l'accélération d'ordre $n-1$ de ce point est évidemment nulle. De plus, l'équation (A'), pouvant s'écrire :

$$\frac{d^n \bar{u}}{dt^n} = \bar{\theta}_n (\bar{u} - \bar{v}_n) = \bar{\theta}_n \bar{o}_n \bar{u}_n$$

on peut dire qu'il existe à chaque instant du mouvement et pour chaque valeur de n un point O_n tel que l'accélération d'ordre n correspondant à un point quelconque de la figure s'obtient en multipliant la distance de ce point au point O_n par une même quantité géométrique.

On s'écrit les formules :

L'accélération d'ordre $n-1$ $\bar{m} \bar{r}_{n-1}$ d'un point quelconque de la figure formée avec la droite $m o_n$ qui va de m à un point fixe, un trajectoire dont la forme sera toujours la même, quel que soit le point m qui sera choisi.



⁽¹⁾ Les fonctions $\bar{\theta}$ sont liées entre elles par la relation :

$$\bar{\theta}_{n+1} = \frac{d \bar{\theta}_n}{dt} + \bar{\theta}_1 \bar{\theta}_n$$

Une expression générale est donnée par la formule :

$$\bar{\theta}_n = \sum_{k=1}^{n-1} \frac{d^k \sqrt{-1}^k}{dt^k} \frac{d^{n-k} (\frac{d}{dt})^k}{dt^{n-k}}$$

(Bertrand, calcul diff. page 141)

Il convient être regardé comme constant dans la différentiation et remplacé par α dans le résultat. D'ailleurs $\frac{d \alpha}{dt} = \omega$, on trouve :

$$\bar{\theta}_1 = \omega \sqrt{-1} \quad \bar{\theta}_2 = -\omega^2 + \frac{d \omega}{dt} \sqrt{-1}, \text{ etc.}$$

Si ω est constant

$$\bar{\theta}_n = \omega^n (\sqrt{-1})^n$$

Le point P_n a reçu le nom de centre instantané d'ordre n et le triangle auquel $m_n, n-1$ est semblable peut être dit triangle caractéristique.

Centres instantanés
principaux et secondaires

On voit d'après ce que précède que pour un même mouvement géométrique, à chaque mode de variation de ω correspond un système particulier de centres. Pour simplifier le langage, nous appellerons centres principaux ceux qui correspondent à l'hypothèse de ω constant par opposition aux autres que nous désignons sous le nom de centres secondaires.

Extension au cas où
la figure mobile se déforme
restant semblable à elle-même

Le mode même de démonstration qui vient d'être employé conduit assez naturellement à une extension importante du théorème.⁽¹⁾ Supposons en effet que R , au lieu d'être constant soit seulement assujéti à la condition que $\frac{dR}{dt}$ ait à chaque instant la même valeur pour tous les couples de points mobiles de la figure, la série des raisonnements précédents pourra être poursuivie et la forme de la fonction θ_n sera modifiée seulement.⁽²⁾

Ensi après une première dérivation, on trouvera :

$$\frac{d(\vec{u}-\vec{v})}{dt} = (\vec{u}-\vec{v})[\omega \cdot \vec{V} + \frac{dR}{dt}] = (\vec{u}-\vec{v})(\omega \cdot \vec{V} + R)$$

en appelant R la valeur de $\frac{dR}{dt}$ à l'instant considéré.

Et ainsi de suite.

(1) Cette extension a été imaginée par M. Couard, officier d'artillerie.

(2) Cette forme même peut être conçue si l'on met que la rotation ω est remplacée par une quantité géométrique $\omega \cdot \vec{V} + R$. Il va sans dire aussi que une sorte de rotation remplacée comprise d'une rotation ordinaire accompagnée de contraction dirigée vers le centre de rotation, et R serait le coefficient ou, si l'on veut, la valeur de cette contraction.

La notion du triangle caractéristique subsiste, seulement avec les modifications qui comportent les nouvelles valeurs des fonctions θ , ainsi le triangle du premier ordre n'est plus rectangle en m , ou d'autres termes les vitesses ne sont plus perpendiculaires aux rayons allant du centre du premier ordre aux points mobiles, mais font un angle constant avec ces rayons.

Mais l'hypothèse que nous avons faite revient à supposer que la figure mobile se déforme en restant semblable à elle-même.

L'inverse général est donc applicable à une journalle figure.

Relations entre la vitesse et les accélérations à un point et les éléments caractéristiques de la trajectoire.

Les théorèmes que nous venons de démontrer, en établissant des relations remarquables entre les accélérations des divers points d'une figure plane ne mentionnent pas encore comment la connaissance de ces accélérations peut servir à déterminer les éléments des courbes décrites.

C'est cette même question que nous allons traiter maintenant.

Considérons la trajectoire d'un point α sur la rayonne recteur $\alpha\beta$ et soient $\beta_1, \beta_2, \dots, \beta_n$ les rayons de courbure d'ordre $1, 2, \dots, n$ de cette trajectoire. Soit v est en grandeur la vitesse du point mobile et α la direction de cette vitesse, nous pourrions écrire l'équation

$$\frac{dv}{dt} = v(\kappa \alpha + \sqrt{\kappa} \sin \alpha)$$

ou plus simplement, $\frac{dv}{dt} = v\bar{\kappa}$

en désignant par $\bar{\kappa}$ l'angle porté sur la direction de la tangente à la courbe et dans le sens du mouvement.

Différencions géométriquement cette relation en ayant soin de remplacer à chaque différentiation :

$$\begin{aligned} \frac{d\bar{\kappa}}{dt} & \text{ par } \frac{v}{\rho_1} \bar{\kappa} \sqrt{\kappa} \\ \frac{d\rho_1}{dt} & \text{ par } \frac{\rho_1 v}{\rho_1} (1) \end{aligned}$$

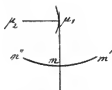
(1) Afin de lever toute ambiguïté sur les signes à attribuer aux rayons de courbure dans les équations géométriques, considérons une courbe quelconque : les angles étant comptés positivement dans le sens inverse du mouvement des aiguilles d'une montre, l'angle de contingence sera positif ou négatif suivant que on se déplacera en passant la courbure à sa gauche

Il nous donnera :

$$(B) \quad \begin{aligned} \frac{d\bar{u}}{dt} &= v\bar{h} \\ \frac{d^2\bar{u}}{dt^2} &= \left[\frac{dv}{dt} + \frac{v^2}{f_1} \sqrt{-1} \right] \bar{h} \\ \frac{d^3\bar{u}}{dt^3} &= \left[\frac{d^2v}{dt^2} - \frac{v^3}{f_1^2} + \sqrt{-1} \left(\frac{dv}{dt} \frac{dv}{dt} - v^3 \frac{f_2}{f_1^3} \right) \right] \bar{h} \\ &\text{etc.} \end{aligned}$$

La solution de la question qui nous occupe est contenue dans ces formules.

On remarquera en effet que la partie du coefficient de \bar{h} qui est multipliée par $\sqrt{-1}$, et qui représente par conséquent la composante normale à la corde de l'accélération correspondante, se laisse exprimer en fonction seulement des accélérations d'ordre inférieur et des éléments de la trajectoire.



ou à sa droite, l'accroissement de \bar{u} et l'axe sera également affecté d'un signe dépendant de l'origine qu'on aura choisie pour les arcs, on voit que le rayon de courbure $f_1 = \frac{d\bar{u}}{d\alpha}$ aura lui-même un signe, mais ce signe ne dépendra pas du sens dans lequel on se déplacera sur la courbe, puisque $d\alpha$ et $d\bar{u}$ changeront de signe simultanément.

Et il est facile de reconnaître que le centre de courbure μ_1 s'obtiendra toujours en faisant f_1 avec son signe à partir du point m dans une direction faisant l'angle $\alpha + \frac{\pi}{2}$ avec celle des positifs.

De même le rayon de courbure d'ordre n $f_n = \frac{d^2 f_{n-1}}{d\alpha}$ aura un signe dépendant de celui de $d\alpha$ et de $d^2 f_{n-1}$, mais indépendant du sens du mouvement, et le centre d'ordre n s'obtiendra en partant à partir de celui d'ordre $n-1$ la valeur de f_n avec son signe dans une direction faisant l'angle $\alpha + \frac{\pi}{2}$ avec celle des positifs.

Ce \bar{u} est le rayon vecteur du point m , celui de μ_1 sera par conséquent :

$$\begin{aligned} \bar{u}_n &= \bar{u} + \bar{h} \left(f_1 \sqrt{-1} + f_2 \sqrt{-1}^2 + \dots + f_n \sqrt{-1}^n \right) \\ &= \bar{u} + \bar{h} \sum_1^n f_i \sqrt{-1}^i \\ &= \bar{u} + \bar{h} \sum_1^n \frac{d^2 \bar{u}}{d\alpha^2} \sqrt{-1}^i \end{aligned}$$

on appellera \bar{h} l'unité portée sur la tangente dans le sens des positifs.

Cours de Géométrie descriptive de H. Haug (Paris, 1871) ; Édition 15.

Nous désignons par $\bar{a}\bar{q}_n$, $\delta\bar{q}_n$ et $\delta\bar{q}_n$ les déplacements de q_n pendant le temps δt dans ces trois hypothèses.

Courbes principales.

Occupons-nous d'abord des courbes principales :

En supposant $\omega=1$, ce qui ne change rien au résultat géométrique que nous voulons obtenir, l'équation fondamentale (A) conduira facilement par différentiation (1) aux relations suivantes :

$$(C) \quad \frac{\delta^2 \bar{q}_n}{\delta t^2} = \sqrt{-1}^n (\bar{q}_{n+p} - \bar{q}_p) \quad (2)$$

$$(C') \quad \frac{\delta^2 \bar{q}_n}{\delta t^2} = \sqrt{-1}^n (\bar{q}_{n+p} - \frac{1}{2} \bar{q}_{n+p-1} + \dots \pm \bar{q}_n) \quad (3)$$

cette dernière pouvant s'écrire symboliquement :

$$(C'') \quad \frac{\delta^2 \bar{q}_n}{\delta t^2} = \sqrt{-1}^n \bar{q}^n (\bar{q}-1)^n$$

en convenant de remplacer dans le développement les exposants par des indices.

Les relations qui déterminent les courbes C_n & K_n lorsque les autres sont connus pourront permettre réciproquement la détermination de certains courbes lorsque quelques-unes des courbes C_n & K_n seront d'ailleurs connues :

Ainsi les trois équations :

$$\begin{aligned} \frac{\delta \bar{q}_n}{\delta t} &= \sqrt{-1} (\bar{q}_n - \bar{q}_1) \\ \frac{\delta^2 \bar{q}_n}{\delta t^2} &= \sqrt{-1} (\bar{q}_{n+1} - \bar{q}_1) \\ \frac{\delta^3 \bar{q}_n}{\delta t^3} &= \sqrt{-1} (\bar{q}_{n+1} - \bar{q}_n) \end{aligned}$$

(1) On remarquera que dans ces différentiations il faut attribuer aux points q_n des déplacements δ après que l'équation (A) ait prisenstante et pouvoir ainsi celle être différentiée.

(2) La relation exprimée par cette équation s'interprète par le théorème suivant : l'accélération d'ordre $p-1$ en un point q_n d'une courbe C_n est égale à l'accélération du même ordre en un point q_{n+p} considéré comme simple point mobile.

(3) La formule c' est établie au moyen de l'équation de mouvement relatif qui sera donnée plus tard.

Cours de Géométrie descriptive de M. Haag (révisé) - 1880

explicitement que les tangentes aux courbes T_n , C_n , R_n sont respectivement perpendiculaires aux côtés du triangle $O_n O_1 O_{n+1}$, et le centre O_{n+1} se trouve ainsi déterminé par la connaissance de O_1 , O_n et de ces trois tangentes, etc.

On pourrait déduire des formules (C) un très-grand nombre de relations géométriques analogues à la précédente. Nous nous bornerons aux remarques suivantes :

Si le centre O_n reste immobile dans le plan fixe, tous les centres d'ordre supérieur à n coïncident avec lui.

Si le centre O_n reste immobile dans le plan fixe, tous les centres d'ordre $p+k$ (quelles que soient les valeurs attribuées aux nombres entiers k et p) coïncident avec le centre d'ordre p . En particulier, les centres d'ordre k coïncident avec O_n et sont comme lui immobiles dans le plan fixe.

Si le centre O_n a seulement ses accélérations d'ordre supérieur à q égales à 0, la même observation peut être répétée avec cette seule restriction que p doit être supérieure à $q+2$.

Réciproquement si deux centres principaux d'ordre p et $p+n$ par exemple coïncident d'une façon continue, le centre O_n a toutes ses accélérations d'ordre supérieur à $p-2$ égales à 0 et par suite les centres d'ordre $p+1$ et $p+n+1$, $p+2$ et $p+n+2$, etc., doivent aussi coïncider.

Le problème consistant à déterminer les centres principaux au moyen des courbes O , R , supposées connues, doit être traité spécialement et vu son importance, nous allons l'étudier d'une façon complète.

La solution en est fournie par la relation :

$$(C') \quad (\bar{y}_{n+2} - \bar{y}_n) \sqrt{-1}^n = \sqrt{-1}^{n+1} + \frac{\partial \bar{y}_n}{\partial t} + \sqrt{-1}^{n+2} \frac{\partial^2 \bar{y}_n}{\partial t^2} + \dots + \frac{\partial^n \bar{y}_n}{\partial t^n}$$

équivalente à l'équation (C) et dans laquelle on fait $n=1$.

En effet, appelons R_0 et r_0 , R_1 et r_1 les rayons de courbure du premier et du second ordre des courbes

contre de courbure du second ordre c' sur la parallèle à la tangente par v .

Si les courbes c, k , sont des cercles, le point o_3 se trouve en ligne droite avec o, o_2 : c'est le cas des cycloïdes. Si de plus $R_k = \frac{R_c}{2}$, c'est-à-dire si la courbe roulerie est un cercle roulant dans un cercle de rayon double, o_2 qui coïncide avec le centre de ce dernier cercle est un point fixe, et comme d'ailleurs o_3 coïncide alors avec o , d'après une remarque précédemment faite, les diamètres de toutes les P trajectoires passent constamment par un point fixe : ces trajectoires sont des ellipses.

Centres secondaires.

Nous nous bornons à quelques mots sur ce qui concerne les relations beaucoup plus compliquées tant entre eux les centres secondaires : énonçons seulement les deux propositions suivantes :

1°. Dans un mouvement géométriquement défini, la connaissance de ω et de ses $(n-1)$ premières dérivées équivaut à celle des n premiers centres secondaires.

2°. Si l'on suppose déterminés les $n-1$ premiers centres le n^{me} n'est pas arbitraire, et son lieu est un cercle passant par o ,⁽¹⁾

⁽¹⁾ Ce cercle est le lieu des points pour lesquels étant donné le mouvement géométrique et les $n-1$ premiers centres, l'accélération normale d'ordre $n-1$ est nulle.

En général on peut disposer de $\frac{d^n \omega}{dt^n}$ pour que $\bar{\omega}_n$ soit une quantité nulle (pouvant que n soit supérieure à 1), on obtient ainsi un certain centre ω'_n qui jouit de cette propriété que toutes les accélérations correspondantes convergent vers lui : le lieu des centres secondaires ω_n est le cercle décrit sur $\omega'_n o$ comme diamètre.

Si les $n-1$ premiers centres sont des centres principaux, selon que n est pair ou impair, ω'_n coïncide avec o_n ou est à l'infini sur la direction perpendiculaire à o, o_n . Si le lieu des centres secondaires ω_n est dans ce dernier cas la droite o, o_n elle-même.

Relation entre les centres
principaux de divers mou-
vements liés entre eux d'une
façon remarquable.

1°. Mouvements réciproques. — Étant données deux courbes C, K , tangentes entre elles en un de leurs points, si partant de cette position initiale on fait rouler la première courbe sur la seconde ou la seconde sur la première on obtient deux mouvements qui peuvent être dits réciproques l'un de l'autre.

Étant données à un instant quelconque les courbes prin-
cipales \bar{p}_n du premier mouvement, ceux \bar{p}_n du second sont
déterminés par la relation :

$$(B) \quad \bar{p}_{p+1} - \bar{p}_p = (-1)^p [\bar{q}_{p+1} - \bar{q}_p + \dots \pm \bar{q}_1]$$

qui permet de les construire de proche en proche. On trouve en
supposant $\bar{q}_1 = \bar{p}_1 = 0$:

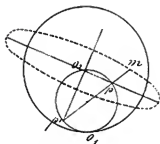
$$(c) \quad \bar{p}_2 = -\bar{q}_2$$

$$(c') \quad \bar{p}_3 = \bar{q}_3 - 3\bar{q}_2 \quad \text{etc.}$$

Si dans le premier mouvement une courbe M a pour
enveloppe une courbe M' dans le mouvement réciproque, la
courbe M' devenue mobile enveloppe la courbe M .

Si la trajectoire décrite par un point a dans le
premier mouvement rencontre en n points réels une droite
 A du plan fixe, dans le mouvement réciproque la droite
 A passera n fois par le point a , c'est-à-dire que du point
 a on pourra mener à l'enveloppe de A n tangentes
réelles.

Un exemple remarquable de mouvements réciproques
est fourni par le mouvement à trajectoires elliptiques déjà signalé
plus haut.



Ce mouvement est produit par le
roulement d'un cercle K dans un
cercle O_2 de rayon double. Tous les
points du petit cercle décrivent des
diamètres du grand cercle⁽¹⁾, tous les
cercles ayant leur centres sur le petit
cercle enveloppent des droites : tout point mobile m dé-
crit une ellipse dont O_2 est le centre et dont les axes sont faciles

(1) Les diamètres doivent être considérés comme des lignes infiniment petites

à obtenir, car pp' étant le diamètre du petit cercle qui passe en m , o, p et o, p' sont les directions de ces axes, mp, mp' leurs projections.

Dans le mouvement relatif, ce n'est le cercle α_2 qui roule sur le cercle R . Tout diamètre du grand cercle, passant par un point fixe qui est sa vitesse instantanée avec le petit cercle : toute droite mobile enveloppe un cercle ayant son centre sur le petit cercle : ainsi tout point mobile m décrit un limaçon de Pascal, car le rayon mo_2 , passé par un point fixe p et la longueur mo_2 est constante⁽¹⁾.



2°. Mouvements relatifs. Un point m de rayon α appartenant à un système invariable A qui se déplace par rapport à un autre système B ;

Pendant ce temps, le système A se déplace lui-même d'un mouvement quelconque.

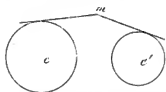
On demande : connaissant les vitesses instantanées \vec{v}_m du mouvement de B et \vec{v}_n du mouvement de A relativement à B en un point fixe, de déterminer les vitesses \vec{p}_n dans le mouvement absolu de A .

Appelons $\vec{\theta}, \vec{\tau}$ et $\vec{\bar{\theta}}$ les fonctions $\vec{\theta}$ dans ces trois mouvements.

La solution de la question est donnée par les formules :

$$(P) \quad \begin{aligned} \vec{v}_n &= \vec{v}_m + \frac{\vec{v}_m}{\vec{v}_n} \vec{v}_n + \frac{n(n-1)}{n-2} \vec{v}_n + \dots + \vec{v}_n \\ \vec{\bar{v}}_n \vec{\bar{v}}_n &= \vec{\bar{v}}_n \vec{v}_n + \frac{\vec{v}_m}{\vec{v}_n} \vec{v}_n + \dots + \vec{v}_n \vec{v}_n \end{aligned}$$

que l'on peut écrire symboliquement :



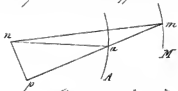
(1) Le limaçon se présente aussi comme l'enveloppe de cercle. Dans chacune des droites quelconques menées par un point appartenant aux cercles, on voit que la trajectoire du point m peut être également considérée comme lieu du centre : un angle constant sont les côtés touchant deux cercles.

$$(x') \quad \begin{aligned} \bar{\Theta}_n &= (\bar{\theta} + \bar{\epsilon})^n \\ \bar{\Phi}_n &= \left(\frac{\bar{\theta}\bar{\gamma} + \bar{\epsilon}\bar{\psi}}{\bar{\theta} + \bar{\epsilon}} \right)^n \end{aligned}$$

et l'on convient de remplacer dans le développement les exposants par des indices et les puissances de $\bar{\theta}$ inférieures à n par l'unité (1).

C. Conchoïdes.

On appelle Conchoïdes d'une courbe par rapport à un point les différentes courbes que l'on obtient en portant une longueur constante sur



tant une longueur constante sur une droite fixe, à l'exception de leur rencontre avec la courbe donnée.

On voit d'après cette définition que la théorie des roulettes s'applique immédiatement à l'étude des Conchoïdes.

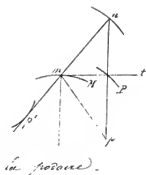
D. Podaires.

On appelle Podaire d'une courbe, place relativement

(1) La démonstration des relations $\bar{\theta}$ est fondée sur la formule remarquable que je vois intéressant de donner ici = $\bar{\theta}$ et $\bar{\psi}$ représentant les différentielles géométriques correspondantes aux deux mouvements d'écart plus haut, et $\bar{\epsilon}$ étant le rayon osculateur au point considéré, on a :

$$\begin{aligned} \frac{D^n \bar{u}}{d\bar{\epsilon}^n} &= \frac{d^n \bar{u}}{d\bar{\epsilon}^n} + \frac{n}{1} \bar{\theta}_{n-1} \frac{\partial \bar{u}}{\partial \bar{\epsilon}} + \frac{n(n-1)}{1 \cdot 2} \bar{\theta}_{n-2} \frac{\partial^2 \bar{u}}{\partial \bar{\epsilon}^2} + \dots + \frac{\partial^n \bar{u}}{\partial \bar{\epsilon}^n} \\ &= \frac{d^n \bar{u}}{d\bar{\epsilon}^n} + \sum_{p=1}^{n-1} \frac{n(n-1)\dots(n-p+1)}{1 \cdot 2 \dots p} \bar{\theta}_{n-p} \frac{\partial^p \bar{u}}{\partial \bar{\epsilon}^p} \end{aligned}$$

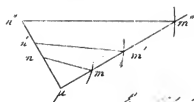
C'est l'expression générale de l'accélération absolue dans le mouvement relatif d'un point.



Remarquons encore au sujet des podaires que, parmi les caustiques secondaires d'un point p relativement à une courbe K , il y en a toujours une dont tous les points ont pour tangentes en p par rapport aux tangentes à K , et que cette caustique secondaire est par conséquent homothétique à la podaire.

E. Deux théorèmes sur les sous-normales.

Théorème I^{er}. Lorsque trois courbes ABC interceptent sur des rayons issus d'un point fixe p des segments mn , $m'n'$ qui sont entre eux dans un rapport constant, les normales à ces courbes interceptent sur la perpendiculaire au rayon pn entre p et les segments $n'n$, $n'n'$ qui sont entre eux dans un rapport égal au précédent.



Ce théorème est applicable immédiatement au cas que les sous-normales en coordonnées polaires sont les bissectrices du rayon vecteur par rapport à l'angle.

C'est-à-dire, de la relation, permanente :

$$mn' = K m n''$$

on déduit :

$$\frac{dmn'}{d\omega} = K \frac{d(mn'')}{d\omega}$$

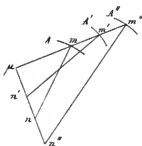
c. à d.

$$n'n' = K n'n''$$

Théorème II. Lorsque trois courbes ABC interceptent sur des rayons issus d'un point fixe p des segments mn , $m'n'$ dans un rapport constant, les normales à ces courbes interceptent sur la perpendiculaire au rayon pn entre p et des segments $n'n$, $n'n'$ qui sont entre eux dans le rapport de mn à $m'n'$ échangé de signe.

C'est-à-dire si l'on a constamment

$$mn \times m'n' = K$$



on en déduit :

$$\frac{dm'm'}{dm'm''} = -\frac{m'm'}{m'm''}$$

$$\text{c.à.d.} \quad \frac{n'n'}{n'n''} = -\frac{m'm'}{m'm''}$$

Les deux théorèmes s'étendent évidem-
ment au cas où la droite mm' au lieu de
pivoter autour du point fixe m tou-
cherait en m son enveloppe.

Et si cette enveloppe se confondait avec l'une des
trois courbes considérées, la courbe A , par exemple, il est facile
de reconnaître que le point n se trouverait sur la courbe de con-
vexité de cette courbe.

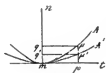
F. Déformation locale.

Nous désignons ainsi les transformations qui s'appliquent
non pas à l'élipse d'ensemble d'une courbe, mais à la re-
cherche de ses éléments caractéristiques en un point particulière.

Nous citerons les deux théorèmes suivants dus à
M. Charles Dupon :

Théorème I. Étant rapportée une courbe A à sa tangente mt et à
sa normale mn , si l'on construit une nouvelle courbe A' en multipliant par une constante
quelconque les ordonnées de la première, les deux courbes sont évidemment tangentes en
 m et leurs rayons de courbure sont dans le rapport inverse de leurs ordonnées.

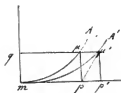
Reportons-nous en effet à la seconde
expression du rayon de courbure donnée
dans le cours de nous arrivons :



$$\rho = \frac{\mu q^2}{\mu' p} \quad \rho' = \frac{\mu q'^2}{\mu' p}$$

$$\text{d'où} \quad \frac{\rho'}{\rho} = \frac{\mu' p}{\mu' p} \quad \text{c.à.d.}$$

Théorème II. Si l'on construit la courbe A' en prenant par le pied
de l'ordonnée μp une oblique sous un angle constant de l'axe tangent jusqu'à sa rencontre avec l'hor-
izontale au point μ , la courbe A' et la courbe A ont même courbure osculatoire.



En effet, les rayons de courbure sont :

$$\rho = \frac{\mu q^2}{\mu' p^2} \quad \rho' = \frac{\mu' q'^2}{\mu p'^2} = \frac{(\mu q + \mu' p)^2}{\mu \mu' p^2}$$

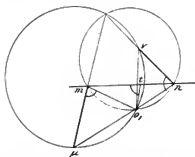
et comme $\mu p \mu' p'$ est négligeable à côté de μq , l'égalité annoncée en résulte.

Remarque. Dans ces deux modes de transformation, les branches des courbes transformées se réduisent à ceux des courbes primitives par la loi de déformation des courbes elles-mêmes.

Comme exemple de déformation locale, nous citerons encore la solution 2 donnée plus loin pour la tangente à la courbe d'ombre de la vis à filet triangulaire.

G. Applications.

I. Enveloppe d'une droite enroulant un grand cercle et un section des vitesses de deux points constamment reliés aux cette droite.

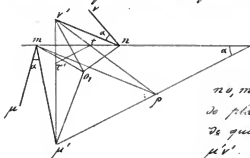


Soient m, n les deux points m, n leurs vitesses, nous pouvons considérer le segment m, n comme une figure qui se déplace en restant semblable à elle-même. Nous avons construite son centre instantané o ; (page 64).

Le point t où la droite touche son enveloppe doit avoir sa vitesse dirigée suivant cette droite même, on n'a donc pu l'obtenir qu'à partir de o , une droite faisant avec m, n un angle égal à celui que fait m, n avec o, m .

La solution précédente peut être modifiée et généralisée.

Supposons qu'au lieu de connaître les vitesses mv et nv par leurs grandeurs portées sur les tangentes aux trajectoires, la figure donne seulement des longueurs mv' , nv' proportionnelles à ces vitesses et portées sur des droites faisant avec les tangentes aux trajectoires un même angle α .



D'après la propriété du centre instantané O , le triangle $v'o, p'$ est semblable au triangle

no, m , on voit que si n changeait de place sur mn , v' se déplacerait de quantités proportionnelles sur $\mu'v'$. Le donc n vient à coïncider avec le point t où mn touche

son enveloppe, le point v' sera venu en un point t' qui divisera $\mu'v'$ dans le rapport même dans lequel t divise mn , et comme de plus tt' doit faire avec mn l'angle α , on voit que la solution du problème revient à trouver une droite faisant avec mn l'angle α et divisant $\mu'v'$ et mn dans le même rapport.

Pour cela menons par m une parallèle mp à nv' et par μ' une parallèle à la direction de la ligne cherchée; cette dernière rencontre mp en p et $v'p$ coupe mn en t , car si par t ainsi obtenue on mène tt' parallèle à $\mu'p$ on a :

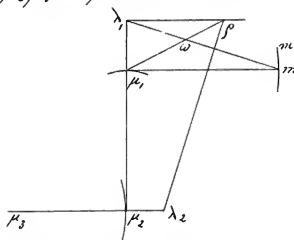
$$\frac{\mu't'}{tv'} = \frac{pt}{tv'} = \frac{mt}{tn}$$

Corollaire. On trouverait de la même façon les points où une droite autre que mn , mais passant par l'un des points m ou n et faisant avec mn un angle constant touche son enveloppe. Car cette droite pourrait être considérée comme liée au système mobile.

II. Détermination du centre du la courbe osculatrice à une courbe donnée

ou l'un de ses points. (1)

Supposons connus les rayons de courbure μ_1, μ_2, μ_3 , du premier, deuxième et troisième ordres.



Nous savons que le diamètre s'obtient en prolongeant $\mu_2 \mu_1$, du tiers de sa longueur au delà de μ_1 , et en joignant à m le point λ_1 , ainsi obtenu.

Le centre ω de la conique osculatrice est évidemment le point d'intersection de deux diamètres conjugués, c'est-à-dire

le point où le diamètre touche son enveloppe.

Pour déterminer ce point, considérons le segment de droite $m\lambda_1$, comme une figure mobile qui se déplace en restant semblable à elle-même : soient \bar{u}, \bar{v} et \bar{w} les rayons vecteurs des points m, λ_1 , et du point avec lequel ω coïncide.

On a d'abord :

$$(a) \quad \bar{u} \cdot \bar{w} = K(\bar{u} \cdot \bar{v})$$

en appelant K la valeur réelle ou rapport constant dans lequel le point \bar{w} divise $m\lambda_1$.

Différenciant cette relation permanente, il vient :

$$(b) \quad d\bar{u} \cdot d\bar{w} = K(d\bar{u} \cdot d\bar{v})$$

D'ailleurs le déplacement du point \bar{w} s'effectuant dans la direction même de λ_1, m

$$(c) \quad d\bar{w} = g(\bar{u} \cdot \bar{v}) d\varphi$$

g étant une autre constante réelle et $d\varphi$ l'angle dont tourne la figure dans le temps dt .

Les équations (a) (b) et (c) donnent par l'élimination de $d\bar{w}$

$$(d) \quad d\bar{u} \cdot g d\varphi(\bar{u} \cdot \bar{v}) = K(d\bar{u} \cdot d\bar{v})$$

(1) D'après ce qui a été vu dans le cours la conique osculatrice est la conique ayant cinq points d'osculation communs avec la courbe initiale.

Prenons μ , pour origine, μ, m pour axe des quantités réelles et supposons que les ds positifs soient comptés dans le sens $m\mu$ sur la courbe donnée. Nous avons alors en tenant compte des signes des rayons de courbure et appelant α l'angle de contingence de la courbe $m\mu$:

$$\bar{u} = +\rho, \quad d\bar{u} = +\rho, d\alpha \sqrt{-1}$$

$$\bar{v} = +\frac{\rho_2}{3} \sqrt{-1}, \quad d\bar{v} = \left[-\frac{4}{3}\rho_2 + \frac{1}{3}\rho_3 \sqrt{-1} \right] d\alpha$$

$$\text{d'où :} \quad \bar{u} - \bar{v} = \rho_1 - \frac{\rho_2}{3} \sqrt{-1}$$

$$d\bar{u} - d\bar{v} = \left[\frac{4}{3}\rho_2 + \left(\rho_1 - \frac{1}{3}\rho_3 \right) \sqrt{-1} \right] d\alpha$$

L'équation $d\bar{u}$ où l'on introduit ces valeurs se décom-
pose en :

$$(e) \quad g \frac{d\bar{u}}{d\alpha} \rho_1 + \frac{4}{3} K \rho_2 = 0$$

$$g \frac{d\bar{v}}{d\alpha} \frac{\rho_2}{3} + \rho_1 - K \rho_2 + \frac{K}{3} \rho_3 = 0$$

Éliminant $g \frac{d\bar{v}}{d\alpha}$, on trouve

$$(f) \quad K = \frac{\rho_1^2}{\rho_1^2 - \frac{1}{3}\rho_1\rho_2 + \frac{4}{3}\rho_2^2}$$

L'où cette construction : prolongeons μ, μ_2 ou tiers de sa longueur en λ_2 , de λ_2 abaissons la perpendiculaire sur λ, m et soit p le point où cette droite rencontre la parallèle λ, p à μ, m : la droite μ, p coupe en ω le diamètre.

Selon le signe de K la conique osculatrice est une hyperbole ou une ellipse, c'est une parabole si $K = \infty$ et si $K = 0$, c'est un point ou un système de deux droites qui se coupent.

Au point λ , dans le mouvement de m sur la courbe donnée décrit une certaine trajectoire dont il est facile de trouver la normale : car λ, μ , étant constamment le tiers de μ, μ_2 cette normale d'après le théorème I page 74, doit précisément passer au point λ_2 précédemment déterminé. D'ailleurs les vitesses de m et de λ peuvent être considérées par les lignes $m\mu$, et λ, λ_2 auxquelles elles sont normales et proportionnelles, donc le point cherché

(1) parce que μ, m et μ_2, λ , tournent simultanément du même angle.

on voit s'obtenir par l'application de la construction indiquée plus haut et qu'il est facile d'identifier avec la précédente.

III. Détermination de la tangente de la conique et du diamètre dans quelques cas remarquables.

2. Sections coniques.

Rappelons d'abord une propriété des sections coniques qui nous sera souvent utile.

La perpendiculaire d'une conique relative à l'un de ses foyers est le cercle décrit sur l'axe qui passe par les foyers.

$$\text{Car } op = \frac{1}{2}fp' = a$$

Corollaire. Soit p , le second point d'intersection de fp avec le cercle :

on a :

$$fp \cdot fp' = fa \cdot fa' = a^2 - c^2 = b^2$$

Mais p est le pied de la perpendiculaire abaissée de f sur la tangente

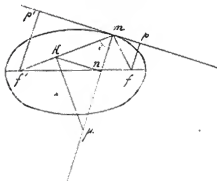
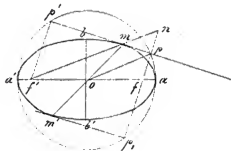
à l'ellipse au point m diamétralement opposé à m , fp est donc égal à la perpendiculaire $f'p'$ abaissée de l'autre foyer sur la tangente en m : donc le produit des distances des foyers à une tangente est constant et égal à b^2 .

Détermination du rayon de courbure.

Solutions communes aux trois courbes du second degré.

1°. Par la théorie des caustiques.

Dans les sections coniques, l'un des foyers peut être considéré comme la caustique par réflexion de la courbe relativement à l'autre foyer. Il résulte de cette remarque et de la propriété du centre de jonction une construction simple du rayon de



concentre de ces courbes.

Cette construction se traduit par une élégante expression du rayon de courbure : appelant i l'angle de la normale avec les rayons vecteurs on a d'après la formule des caustiques

mais $h \pm h' = 2a$, et si h et h' sont les distances des foyers à la tangente en m ,

$$h' = \frac{4h'}{\cos^2 i} = \frac{8^2}{\cos^2 i}$$

donc enfin en appelant p le paramètre $\frac{b^2}{a}$ de la conique :

$$(a) \quad \rho = \frac{p}{\cos^2 i}$$

On peut encore transformer cette formule en y remplaçant $\cos i$ par son expression en fonction de la normale n , en appelant n cette normale, on a d'après la figure :

$$n = p \cos^2 i$$

et cette valeur portée dans la première expression du rayon de courbure donne

$$(b) \quad \rho = \frac{n^2}{p^2} \quad (1)$$

2°. Par le théorème de Mollat.

Le théorème s'enonce ainsi :

Dans la quadrilatère formé par les quatre points d'intersection d'une conique et d'un cercle, les bissectrices des angles que font les côtés opposés sont parallèles aux axes de la conique. (2)

En l'appliquant au cas particulier du cercle osculateur, on reconnaît que les axes sont bissectrices de l'angle formé par la

(1) La combinaison des formules a et b montre immédiatement que la projection de la normale sur l'un des rayons vecteurs est constante et égale à p .

(2) Ce théorème résulte immédiatement de l'équation générale $S + \lambda A + \mu B = 0$ que représentent toutes les coniques passant par les intersections du cercle S et des cercles A, B . Si les axes coordonnées ont été choisis de façon à ce que les droites A, B soient également inclinées sur eux, les coniques se trouveront rapprochées à être parallèles à leurs axes.

Cours de Géométrie descriptive de A. Haag (Appliquée) Exercices 21.

qui les valeurs $\frac{b^2}{a^2}$ trouvées pour le rayon de courbure au sommet est applicable à l'hyperbole, vérification facile à faire d'après l'une des expressions précédemment données.

Les formules n. 116, recouvrent des constructions géométriques et qu'il sera utile d'employer toutes les fois que le diamètre aboutissant au point c soit en recherche le rayon de courbure des arcs, que son conjugué est facile à déterminer sur la figure.



Il suffit alors d'abaisser du centre la perpendiculaire sur la tangente en c , de joindre a au point e et d'obtenir du point d'intersection t des tangentes en c et en a la perpendiculaire sur ae pour et

pour l'intersection de cette dernière droite avec la normale en c le centre de courbure γ relatif à ce point. Dans le cas où le point c est l'un des sommets, la même construction donne à la fois les centres de courbure α et β correspondant aux extrémités des deux axes.



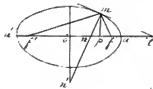
4° Pour l'application au théorème I sur la

constr. harmonique.

soit un cercle et une tangente, on la normale, on la tangente en ce point.

Le faisceau harmonique (niff'nt) donne :

$$on \times ol = of^2 = c^2$$



Si d'autre part on abaisse mp perpendiculaire sur le grand axe, cette droite étant la polaire de t , les points p et t sont conjugués harmoniques avec les sommets ad et l' m . on :

$$op \times ol = oa^2 = a^2$$

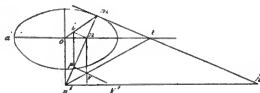
soient m et n des points, on obtient

$$\frac{on}{cp} = \frac{c^2}{a^2} \text{ d'où } \frac{mn}{na} = \frac{b^2}{a^2}$$

donne les deux axes de la conique s'écluminent sur la normale à la courbe des segments qui sont dans un rapport constant égal à $\frac{p}{a^2}$ ⁽¹⁾. Donc d'après le théorème I sur les sous-normales, la perpendiculaire à la normale élevée au centre de courbure se voit rencontrer les perpendiculaires nv et $n'v'$ élevées en n et n' sur les axes en des points v et v' tels que

$$\frac{\mu v}{\mu v'} = \frac{mn}{m'n'}$$

mais alors si l'on prolonge mv jusqu'à sa rencontre en k avec $n'v'$, le rapport de mv à mk étant égal à celui de mn à $m'n'$ la droite $n'k$ doit précisément rencontrer nv en v . le centre de courbure se trouve ainsi déterminé.



Cette construction peut encore se simplifier en remarquant que si l'on élève en n la perpendiculaire à mn et qu'on la ramène en i à sa rencontre avec om , ni est parallèle et égal à μv comme étant avec mv dans le même rapport que cette dernière ligne : la figure nvp est donc un parallélogramme et pour construire p , il suffit de déterminer le point i comme il vient d'être dit, et de mener par ce point une parallèle à l'axe sur lequel est situé le point n .

5°. Des propriétés des cordes focales.



Interprétons quelques propriétés des cordes focales

SS' étant une corde focale, et l le diamètre, perpendiculaire à SS' en O .

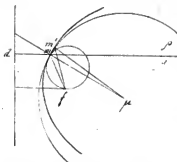
ll' , pp' en conjugués, p le paramètre $\frac{b^2}{a}$ de la conique,

$$on a : \frac{1}{fS} + \frac{1}{fS'} = \frac{2}{p}$$

⁽¹⁾ Le théorème combiné avec la remarque de la page 81 montre que la projection sur les rayons vecteurs de la portion de normale comprise entre le point axe et la courbe est constante et égale au demi grand axe.

Supposons que la sécante $n n'$ se rapproche de plus en plus de la tangente, le cercle devient osculateur et le théorème se trouve démontré.

Le cercle décrit sur le demi rayon de courbure comme diamètre, passe au foyer.

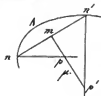


Car si l'on considère les deux normales aux courbes en m qui convergent au centre de courbure, il est facile de reconnaître que l'angle $m p m'$ est double de l'angle $m p p'$.

Si l'on prolonge la normale jusqu'à la directrice, la portion de cette normale comprise entre la directrice et la courbe est égale à la moitié du rayon de courbure.

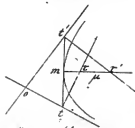
En effet la corde $m p$ inscrite par le cercle osculateur sur le diamètre du point m est égale à $2 p' m p''$ c'est-à-dire à $4 m p$.

3°. à l'hyperbole. Si au lieu de cercle on a l'hyperbole, peut se démontrer tout simplement par l'application du théorème suivant :



Lorsqu'une corde mobile à l'extrémité d'une courbe A s'attache au segment $n n'$ d'axes conjugués, cette corde touche son enveloppe en un point, et le centre de courbure de cette enveloppe est le milieu du segment $p p'$ où la normale est renversée par les normales à la courbe issues en n et en n' .

La première partie du théorème se voit immédiatement en donnant à la corde un déplacement infinitésimal petit et exprimant que l'axe du segment est invariable : la seconde résulte du 1°. théorème sur les cercles normaux.

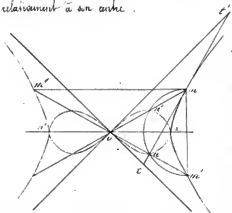


En appliquant ce résultat à l'hyperbole et à ses asymptotes, on a une construction très-élégante du rayon de courbure (Mannheim).

Diamètres d'ordre. Les diamètres et le centre étant généralement connus dans les sections coniques, leur connaissance permettrait de déterminer les centres de courbure du second et troisième ordre par les constructions inverses de celles précédemment indiquées. Le théorème énoncé pour la parabole est général pour toute section conique et l'on appelle paramètre en un point la quantité $\frac{r}{2}$.

8. Lemniscate.

La lemniscate est la podaire orthogonale d'une hyperbole équilatère relativement à son centre.



Soit a un point de la lemniscate, m le point correspondant de l'hyperbole. on sait que la tangente à l'hyperbole en m est perpendiculaire à la droite om . Donc l'angle des asymptotes du triangle otm d'axe constante et touche l'hyperbole au même point m de ot . De plus l'hyperbole étant dans le cas actuel équilatère, il résulte d'une propriété

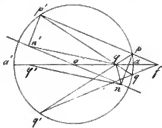
bien connue du triangle rectangle que la médiane om et la hauteur on sont également enclenchées sur la bissectrice de l'angle droit, c'est à dire sur l'axe transverse de l'hyperbole. Si donc on prolonge on , cette droite rencontre l'hyperbole en deux points m' et m'' symétriques de m par rapport aux axes et l'on voit que la cercle décrit sur toute corde de l'hyperbole perpendiculaire à l'un des axes coupe les diamètres aboutissant à ses extrémités en deux points qui appartiennent à la lemniscate.

L'axe du triangle otm est égal à oa ou a' est aussi égal à $\frac{om \cdot on}{a}$. Mais $ot = 2om = 2om'$. Donc :

$$om \cdot om' = a^2$$

c'est à dire que la lemniscate est la courbe réciproque de l'hyperbole équilatère relativement à son centre.

Menons du foyer de l'hyperbole une perpendiculaire sur la tangente : le pied de cette perpendiculaire se trouve comme l'on sait sur le cercle décrit sur l'axe aa' comme diamètre. La



lemniscate peut donc se construire en menant par l'un des foyers de l'hyperbole des normales au cercle décrit sur l'axe aa' et prenant les intersections de ces normales avec

le cercle sur les parallèles menées par le centre ⁽¹⁾

Prends y au milieu de of . Le point est précisément le conjugué harmonique de f par rapport à oa' . Il donc on mène la sécante fgg' symétrique de fpf' , pg' et $p'g$ se rencontrent en y , et $yp' = yg$. Donc :

$$yp \cdot yp' = yp \cdot yg = ya \cdot ya' = \frac{a^2}{2}.$$

mais y étant le milieu de of , $yp = yn$, $yp' = yn'$ et l'égalité précédente peut s'écrire :

$$yn \cdot yn' = \frac{a^2}{2}$$

$$\text{ou bien encore } yn \cdot yn' = \frac{a^2}{2}.$$

on appelant y' le point symétrique de y par rapport au centre. Ainsi : le produit des rayons vecteurs qui vont de deux points fixes q, q' à un point de la courbe est constant et égal au carré de la distance de ces deux points au centre.

Les points q, q' sont dits les foyers de la lemniscate ⁽²⁾

D'après une remarque générale et qui résulte immédiatement de la définition même des podaires, lorsque nous construisons une courbe qui lui est symétrique par rapport à leur tangente commune, le point m de la courbe mobile est toujours symétrique à la podaire de la courbe fixe prise au point m' symétrique de m .

Donc on peut conclure lorsque une hyperbole équilatère roule sur sa symétrique, son centre décrit une lemniscate.

Dans le roulement que nous venons de définir, les deux foyers de l'hyperbole mobile décrivent deux cercles dont les

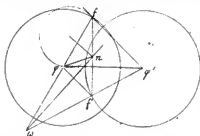
⁽¹⁾ Une construction analogue s'applique en remplaçant le cercle par une courbe quelconque on remplaçant également le centre du cercle par le point par rapport auquel on construit la podaire.

Si la courbe est une parabole, le cercle se remplace par une droite.

⁽²⁾ Par cette propriété la lemniscate se définit comme une courbe telle que l'ensemble des produits des distances de deux points fixes est un produit constant.

autres sont les foyers de l'hypocycloïde, etc. et que est le double de l'axe transverse pour rayon. Donc :

Si les extrémités d'une corde de longueur constante C se meuvent sur deux cercles égaux dont les rayons sont $\frac{C}{\sqrt{2}}$ et les centres distants de C , le point milieu de la corde mobile décrit une lunette dont les centres ou cercles sont les foyers.



Soient q q' ces deux cercles, ff' une portion de la corde mobile, prolongée ff' jusqu'à leur rencontre en w : ce point est le centre instantané du mouvement. Joignons-le au point n qui décrit la lunette : le triangle fff' nous servira, par la

propriété de la médiane :

$$2\bar{wn}^2 + \bar{ff}^2 = \bar{wf}^2 + \bar{wf}'^2$$

mais $2\bar{fn}^2 = \bar{fq}^2$ et $\bar{wf}' = (\bar{wf} - \bar{fq})$

donc, on réduisant :

$$\bar{wn}^2 = \bar{wf}^2 - \bar{wf} \cdot \bar{fq} = \bar{wq} \cdot \bar{wf}$$

c'est-à-dire que la normale à la lunette est tangente en n au cercle des deux points q q' (1)

et inversement on résulte :

Si dans un système articulé q q' les longueurs des bases qf $q'f'$ sont entre elles dans le rapport de $\sqrt{2}$ à 1 et si le point q étant fixe, l'extrémité n se déplace constamment décrivant le rayon que sa trajectoire a pour centre ou cercle circonscrit au triangle $qf'n$, le lieu qui décrit le point n est une lunette dont q est l'un des foyers et $2f'n$ la distance focale.

On déduisant de là est inverse le rapport des cotés qf' et $f'n$, on obtiendrait la définition générale (Secret) de la première classe des courbes dont les axes sont asymptotes en fonction du rayon vecteur par des intégrales elliptiques de premier espèce (2). la lunette

(1) On peut remarquer que le cas le $qf'n$ est également lorsque n est à la droite qf' on effectue les relations qui existent entre les longueurs ff' ff' qf' qf' mais aussi que les angles $f'nq$, $ff'q$ sont complémentaires. L'égalité des angles $ff'q$, $f'nq$ on conclut mais $ff'q$ étant parallèles, les angles $ff'q$, $f'nq$ sont aussi égaux, donc, etc.

(2) Il est à remarquer que sur une même courbe correspond à deux points q q' qui sont l'un de l'autre.

se trouve ainsi rattachée à cette classe de courbes.

Mentionnons une propriété commune à toutes ces courbes : l'aire du triangle g'fn est égale (à une constante près) à l'aire balayée par le rayon vecteur de la courbe.

En effet, lorsqu'on passe d'une position à la position instantanée suivante, la variation de l'aire du triangle g'fn est égale à :

$$gn'n' + ff'n'n' - gff'$$

mais si l'on appelle ω le centre instantané de déplacement de fn , les triangles gfn , gfn' étant égaux, on a :

$$ff'n'n' = \omega n'n' - \omega ff' \\ = \frac{1}{2}(\omega n^2 - \omega f^2) d\theta$$

et comme ωn est la tangente en n au cercle fgn ,

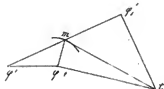
$$ff'n'n' = \frac{1}{2} \omega f \times fg d\theta = \frac{1}{2} ff' \times fg d\theta = gff'$$

Donc en somme, la variation de l'aire du triangle g'fn est égale à l'accroissement de l'aire balayée par le rayon vecteur de la courbe, ce qui démontre le théorème.

Tangente, courbure et diamètre. Les nombreuses propriétés de la conchoïde que nous venons de démontrer, conduisent facilement à la détermination de la tangente, de la courbure et du diamètre en un point de cette courbe.

Soient en appliquant au théorème sur le produit des rayons vecteurs un raisonnement tout analogue à celui qu'on emploie pour les sections coniques, on obtient pour la tangente la construction suivante, applicable aux ovales de Cassini ou

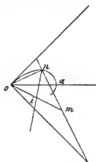
général : prolongeons $g'm$ de sa propre longueur on g' , élevons en g' et en g' des perpendiculaires aux rayons vecteurs, ces perpendiculaires se coupent en un point de la tangente.



Mais la construction la plus simple de la tangente et du cercle osculateur résulte immédiatement

de la définition de la limniscate comme puissance d'hyperbole équilatère.

En effet, reprenons la figure de la page 87 : la normale à la limniscate s'obtient en joignant le point n de la courbe au milieu i de om . Or les angles ino , ion sont égaux, et comme



oa est bissectrice de ion , on en conclut que la normale à la limniscate fait avec le rayon vecteur un angle double de celui que fait ce rayon vecteur avec l'axe transverse de l'hyperbole (4).

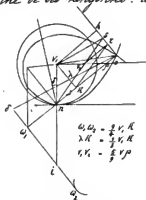
Si l'on prend maintenant deux points n et n' sur la courbe, les normales en ces points feront entre elles un angle nn' qui sera triple de l'angle non' .

Supposons les deux points n et n' infiniment voisins, v devient le centre de courbure et l'on voit que



le cercle osculateur en un point de la limniscate touche sur le rayon qui va de ce point au centre une corde égale aux deux tiers de ce rayon vecteur.

Enfin le diamètre peut se déterminer de la manière suivante : supposons que la limniscate touche une de ses tangentes : le centre O décrit une courbe qui s'après



la construction de Savary aura son rayon de courbure verticalement égal aux $\frac{2}{3}$ de sa normale. En appliquant à cette courbe, à sa développée et à la base du roulement le théorème I^{er} sur les sous-normales, on détermine facilement le centre de seconde courbure ; et par suite le diamètre de cette courbe, la construction générale du diamètre.

(1) On remarquera comme conséquence de cette propriété que si on étend d'un angle constant glissant sur la limniscate, la corde ni et l'angle et que le centre de la courbe sous un angle également constant et qui est le tiers du premier

on mettra pour θ l'angle du centre du cercle fixe avec le centre du cercle roulant : on trouve pour la dérivée l'expression :

$$\frac{dy}{dx} = \frac{R \sin \theta}{R \cos \theta} = \tan \theta$$

c. Epicycloïde, Cycloïde Développante de cercle.

On appelle *epicycloïde* la trajectoire d'un point d'un cercle qui roule sur un cercle fixe ⁽¹⁾. Si le cercle fixe est une droite, l'*epicycloïde* est une *Cycloïde*. Si le cercle roulant est une droite, l'*epicycloïde* est une *développante de cercle*.

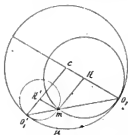
On appelle par extension *epicycloïde allongée* ou *raconnée* la roulette décrite par un point lié au cercle mobile sans être situé sur sa circonférence : l'*epicycloïde* est allongée si le point est extérieur au cercle roulant, *raconnée* dans le cas contraire.

La théorie des roulettes permet de déterminer très simplement la tangente, le cercle osculateur et le diamètre des *epicycloïdes*.

Tout énoncé nous donnera les trois propriétés suivantes :

I. Toute *epicycloïde* peut être engendrée de deux manières différentes par un cercle roulant sur un cercle.

En effet, soient r et R les rayons du cercle roulant et du cercle fixe. Choisissons le point m qui engendre l'*epicycloïde* au point e contact e_1 des deux cercles et prolongeons em



jusqu'en sa seconde intersection e_2 avec le cercle fixe : traçons le cercle k' tangent au cercle fixe en e_2 et passant en m . Ce cercle aura pour rayon $R - r$, et le plus si l'on

appelle μ le point du cercle fixe avec lequel on considère le point m par le rayonnement du cercle k , il est facile de vérifier que l'arc $e_1\mu$ étant égal à l'arc e_2m , l'arc e_2m est égal à l'arc $e_2\mu$. Donc le point m s'approche

(1) L'*epicycloïde* peut être également considérée comme l'enveloppe du cercle roulant sur un autre cercle.

Dans le cas de la développante de cercle, il s'obtient en prolongeant le rayon ou l'arc de sa longueur : ce qui concorde bien avec la propriété générale du diamètre.

d. Caustique d'un point relativement à un cercle. (Circles de Descartes)

La caustique d'un point relativement à un cercle est la développante d'un cercle de Descartes. (1) (Theorem)

Démontrons d'abord le théorème pour la caustique par réflexion. Soit f le point rayonnant; prenons son symétrique n par rapport à une tangente au cercle : le lieu des points n sera, d'après une remarque précédente (page 74) une caustique secondaire du point f . Mais si l'on prend sur le diamètre of le conjugué f' de f relativement au cercle, et si par les points m et f , on mène une circonférence, le produit $of \times of'$, étant égal à on^2 , cette circonférence sera tangente à on en m et passera par conséquent au point n . Les triangles mf, n , omf sont donc semblables et isocèles :

$$\frac{nf}{mn} = \frac{mf}{of}$$

ou à cause de $mn = mf$:

$$nf = \frac{mf^2}{of} = \frac{mf^2}{r}$$

D'ailleurs le triangle ofm donne aussi :

$$mf^2 = r^2 + d^2 - 2r \cdot d \cos. \omega$$

$$\text{et comme : } d \times \cos. \omega + \frac{f^2}{2} = om = r$$

on aura des cercles par tous les points situés à l'instant que l'on considère sur un même cercle tangent au cercle roulant en o . (Voir la construction générale du diamètre des caustiques (page 63))

(*) On appelle Ovals de Descartes les courbes que l'on obtient en établissant une relation linéaire entre les coordonnées épolaires d'un point : les deux pôles sont alors foyers de l'ovale. Cette définition qui comprend celle des sections coniques comme cas particuliers conduit directement à la détermination de la tangente et de la normale par des constructions analogues à celles qui fournissent la propriété des foyers et le théorème du cercle de l'intersection des sections coniques.

on en conclut :

$$2xnf = z^2 + d^2 - z(2z - fn)$$

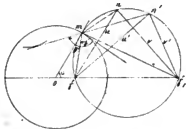
ou enfin : (a) $z \times nf - d \times nf = z^2 - d^2$

ce qui rémontre le théorème.

On voit de plus que les foyers de l'ovale ont le point z joignant et son conjugué sur la diamètre of.

Passons actuellement au cas de la caustique par réflexion

D'après le théorème donné (page 80) sur les caustiques secondaires, si l'on prend relativement à la bissetrice des rayons



incidents et réfractés la symétrique de la tangente à la courbe évanouante et si l'on abaisse en ce point évanouant une perpendiculaire sur cette droite, le lieu des intersections n' de cette perpendiculaire avec le rayon réfracté est une caustique secondaire en point f.

D'ailleurs l'égalité des angles $n'n', n'f'n'$ prouve que ce point n' est situé comme le point n sur le cercle ff, m. Apprenons pour simplifier aux n' et n les distances des points n et n' aux points f et f' : les triangles $m'n'f, m'n'f'$ donnent :

$$\frac{v'}{\sin(\omega, \theta, \theta')} = \frac{mn'}{\cos \theta'} = \frac{mf}{\cos \theta}$$

d'où :

$$v' = \frac{mf}{\cos \theta} \left[\sin(\omega, \theta) \cos \theta' + \cos(\omega, \theta) \sin \theta' \right]$$

mais $\cos \theta' = \frac{\cos \theta}{n}$

et en projetant sur fn' le contour fmn' , on a :

$$-u' = fm \sin \theta' + mn' \sin \theta = fm \sin \theta' - \frac{1}{n} fm \sin \theta$$

d'où :

$$\sin \theta' = \frac{-u'}{fm} + \frac{1}{n} \sin \theta$$

Portons dans l'équation précédente les valeurs de $\cos \theta', \sin \theta'$, nous aurons :

$$v' = u' \frac{\cos(\omega, \theta)}{\cos \theta} - \frac{mf}{n \cos \theta} \left[\sin(\omega, \theta) \cos \theta + \cos(\omega, \theta) \sin \theta \right]$$

le triangle ofm donne d'ailleurs :

$$\frac{\cos(\omega, \theta)}{\cos \theta} = \frac{z}{d}$$

de sorte que l'équation précédente s'écrit :

$$n(v' - \frac{z}{d} u') = \frac{mf}{\cos \theta} \sin(\omega, \theta)$$

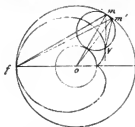
en tenant compte du signe des angles

Le second membre étant indépendant de u , il en résulte :

$$(6) \quad n \left(v' - \frac{r}{2} u' \right) = - \left(v - \frac{r}{2} u \right) = \frac{d^2 - c^2}{2}$$

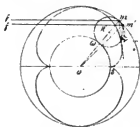
ce qui complète la démonstration du théorème.

On remarquera que dans le cas de la réflexion, la caustique secondaire semblable à la poëuse du cercle et son limaçon ou Pascal :



le limaçon n'est donc qu'une variété de l'évolute de l'évolute. Et de plus, le point rayonnant est situé sur le cercle, le limaçon devient une cardiode (cas particulier où le limaçon est une épicycloïde, voir page 71). La caustique principale est alors une cardiode semblable : ce qui est facile de vérifier directement.

directement.



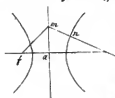
Si maintenant le point f est à l'infini, c'est à dire que les rayons incidents sont parallèles au centre pas dans la démonstration précédente.

$$mm' = 2mOm'$$

$$mM = \frac{1}{4} mO$$

$$mM = mO$$

cercle de rayon $\frac{r}{4}$ roulant sur le cercle de rayon $\frac{r}{2}$



Enfin si le cercle roulant se transforme en une droite, le rapport $\frac{r}{2}$ devenant égal à l'infini, la caustique secondaire est l'hyperbole :

$$u - v = \frac{2fa}{n}$$

ayant le point rayonnant pour foyer, et la droite directrice pour axe non transversale.

Les cercles et courbes appelés aussi courbes épi-cycliques jouent un rôle considérable dans la théorie de la réflexion tant sous leurs propriétés focales depuis longtemps connues que pour celles plus récemment découvertes ; on nous en dira de dimension. Leur étude a été complétée dans ces derniers temps par la démonstration de propriétés nouvelles qui rattachent ces courbes aux plus importantes de la géométrie moderne.

Tous mentionneront quelques-unes de ces propriétés, dont la plus remarquable consistait en ce que : Tout cercle de l'ellipse a pour les deux foyers qui servent à la définir, un troisième foyer

situé en ligne droite avec les deux autres, ce qui assure à l'un de eux la somme pour l'autre une relation toute semblable à celle que les deux premiers foyers ont fournie (Charles)

La considération des foyers dans l'espace qui avait déjà conduit à de remarquables propriétés des sections coniques⁽¹⁾ a permis de donner au résultat précédent une forme encore plus étendue et plus complète.

Considérons deux points fixes q et q' de l'espace et soit dans un plan donné un point m assujéti à la condition que ses distances p et p' aux deux points fixes soient liées par une relation de la forme :

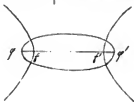
$$p = m p' + p \quad (\alpha)$$

où m et p sont des constantes.

Prenez pour axes de coordonnées la projection de qq' sur le plan de la coupe, la perpendiculaire par un point q et une perpendiculaire à ce deux premières droites.

⁽¹⁾ Rappelons les énoncés de ces beaux théorèmes dus à Charles Dupire :

Si l'un des foyers d'une section conique dans l'espace est une section conique d'espace contenue dans un plan rectangulaire avec celui de la première ayant les foyers de celle-ci pour sommets et ses sommets pour foyers.

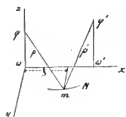


Il y a remarque entre les deux courbes : un d'autres formes si la différence des distances de deux points de l'ellipse à chaque point de l'hyperbole est constante, la somme ou la différence des distances de deux points de l'hyperbole à chaque point de l'ellipse est constante également (la différence se rapportant au cas où les deux foyers sont situés sur une même branche de l'hyperbole focale, et la somme au cas contraire).

Enfin chacune des deux courbes est la ligne des sommets des cônes de révolution qui passent par l'autre courbe et les axes de ces cônes sont les tangentes à la courbe l'un de leurs sommets.

Les théorèmes se démontrent très-simplement soit par la géométrie, soit par l'analyse.

Cours de Géométrie descriptive de M. Haug (Géométrie) Livraison 25



Tous deux, on appelant ξ l'abscisse du point m , x et z les coordonnées de p' , la distance $p'q$,

$$\rho'^2 = z^2 + x^2 + \rho^2 - h^2 - 2x\xi \quad (\beta)$$

d'où, en tenant compte de (4) :

$$\xi = \frac{(1-m^2)\rho^2 - 2pm\rho + z^2 + x^2 - \rho^2}{2x} \quad (\gamma)$$

c'est-à-dire que l'équation de la courbe, en prenant ξ et ρ pour coordonnées, sera de la forme :

$$\xi = A\rho^2 + B\rho + C \quad (\delta)$$

A, B, C étant des constantes.

Néanmoins, si l'équation d'une courbe écrite sous la forme (8), on aura par identification les relations

$$\begin{aligned} A &= \frac{1-m^2}{2x} \\ B &= \frac{\rho m}{x} \\ C &= \frac{z^2 + x^2 - h^2 - \rho^2}{2x} \end{aligned} \quad (\epsilon)$$

l'élimination de m et de ρ donnera :

$$2Cx = z^2 + x^2 - h^2 - \frac{\rho^2 x^2}{1-2Ax} \quad (\eta)$$

et tout point situé sur la courbe focale (4) associé au point q formera un couple de foyers conjugués donnant pour les points de la courbe M une relation de la forme :

$$\mu\rho + \mu'\rho' = \text{constante}$$

Par suite, il en sera de même de tout autre couple de points pris d'une façon quelconque sur la courbe focale.

Si donc on convient d'écrire la dénomination d'ovales à toutes les courbes dont les distances à deux points fixes de l'espace satisfont à une relation de la forme (8) on pourra énoncer le théorème :

Tout ovale a une infinité de foyers situés sur une courbe plane ou dans l'espace sont le plan, perpendiculaire à celui de l'ovale et pour cet ovale un plan de symétrie (Dictionnaire)

Appelons pour simplifier foyers principaux les foyers situés dans le plan de l'ovale. Si deux de ces foyers sont réels, le troisième le sera également et le troisième de Charles se trouve ainsi démontré.

Dans le cas général, un des trois foyers principaux est toujours réel. Soit f , ce foyer, on pourra supposer que le point q coïncide avec lui, alors l'équation de la courbe focale sera de la forme :

$$x^2 = \frac{x[2Ax^2 + (B^2 - 4Ac - 1)x + 2C]}{1 - 2Ax} \quad (q')$$

Si l'un des foyers principaux s'éloigne à l'infini, A devant être nul, m^2 qui est égal à $1 - 2Ax$ sera l'unité, c'est-à-dire que l'ovale sera une conique⁽¹⁾.

Si deux foyers principaux coïncident, on peut toujours supposer que f_1 est l'un d'eux : alors C sera nul, et la valeur de p relative au troisième foyer f_3 sera égale d'après : $\frac{x^2 p^2}{2x} = C$ à ff_3 : c'est-à-dire la condition à laquelle satisfait l'ovale obtenue comme caustique secondaires du cercle dans le cas de la réflexion, c'est-à-dire le limaçon de Pascal.⁽²⁾

Enfin les trois foyers principaux coïncident si l'on a simultanément $C = 0$ $B = 1$: le limaçon de Pascal sera alors une cardioïde et l'on aura une cardioïde pour courbe focale.

Le point q coïnciderait avec le foyer principal f , l'équation trouvée pour l'ovale deviendrait une équation en coordonnées polaires ordinairement. Elle peut s'écrire :

$$\cos \theta = Ap + B + \frac{C}{p} \quad (d')$$

Sous cette forme, on reconnaît immédiatement que l'ovale est sa propre transformée par rayons vecteurs réciproques lorsqu'on prend pour pôle de transformation un de ses foyers principaux (Guichet)⁽³⁾. L'ovale appartient donc à l'importante famille des anallagmatiques sur lesquelles nous aurons à revenir à propos des surfaces de même nom (Moutard, Laguerre).

Convenons d'appeler distance d'un point à une sphère, la moyenne géométrique des normales abaissées du point sur la sphère, c.à.d. la longueur de la tangente. Nous reconnaitrons par une extension très simple du raisonnement qui a été fait plus haut que tout ovale admet une infinité de sphères focales, c.à.d. telles que les distances t, t' de chaque point de la courbe à deux sphères associées satisfont à une

(1) Dans ce cas, les propriétés du troisième foyer ne survivent pas elles des directrices.

(2) Si $C = 0$ $B = \sqrt{2}$ la courbe focale est une cardioïde droite.

(3) Cette propriété appartient à toutes les courbes traitées dans l'équation :

$$\rho^m + F(\theta) + \frac{a}{\rho^n} = 0$$

quel que soient $F(\theta)$ et m . Les courbes qui peuvent être considérées comme dérivées du cercle, $\rho^2 + (2\sqrt{a} - \cos^2 \theta) + \frac{a}{\rho^2} = 0$, par une espèce de déformation ont été récemment étudiées (Mannheim)

relation de la forme

$$\mu t + \mu' t' = \text{constante}.$$

Les centres de toutes ces sphères sont contenus dans le plan de la courbe focale dont les points doivent être considérés comme des sphères focales de rayon nul.

Il est d'ailleurs évident que les sphères focales qui ont leurs centres sur une même perpendiculaire au plan de l'ovale occupent ce plan suivant une même droite réelle ou imaginaire et ont une relation identique quand on les associe à la même sphère focale ou au même foyer.

Il suffit donc pour connaître le système de sphères, d'étudier la série des cercles focaux situés dans le plan de l'ovale.

L'équation de la courbe focale étant

$$z^2 = \varphi(x)$$

il est facile de voir que les cercles focaux ont pour diamètres les ordonnées de la courbe.

$$y^2 = -\varphi(x) \quad (1)$$

On outre ils ont pour enveloppe l'ovale à laquelle ils sont

(1) Si l'on appelle u_0 le rayon du cercle focal réel ou imaginaire occupant à la sphère qui remplace le point focal φ dans les calculs de la page 98, on trouve pour l'équation de l'ovale :

$$\xi = At^2 + Bt + C \quad (2)$$

avec :

$$A = \frac{1-m^2}{2x}$$

$$B = \frac{pm}{x} \quad (E_1)$$

$$C = \frac{x^2 - p^2 + u_0^2 - u^2}{1-2Ax}$$

L'équation de la courbe focale est alors :

$$z^2 = -u_0^2 - x^2 + 2Cx + \frac{B^2 x^2}{1-2Ax} \quad (F)$$

et celle de la courbe dont les ordonnées sont les diamètres des cercles focaux :

$$u^2 = -z^2 = u_0^2 + x^2 - 2Cx - \frac{B^2 x^2}{1-2Ax} \quad (F')$$

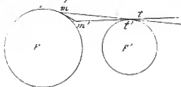
Les nouvelles expressions ont l'avantage d'être indépendantes de l'existence des points focaux. Mais d'après la forme même de la fonction φ , il est facile de reconnaître que ces points existent toujours, sauf le cas où $A = 0$ qui est celui des coniques.

Dans ce dernier cas, en prenant l'origine au centre de la conique, on remarque d'abord que par raison de symétrie C doit être nul on identifiant ensuite la relation

$$\xi = Bt$$

par raison de symétrie. Soient m et m' tangents⁽¹⁾

En effet, soit m un point de l'ovale F et F' une corde, f un point sur ce point, assésion au cercle F' , un autre cercle focal F' , le déplacement du point m à gauche de sa position sur F' est déterminé, par la relation :



$$m \cdot t + p \cdot t' = 0$$

qui exige que le rapport des accroissements de t et t' soit fini, et cette condition ne peut être satisfaite que si m se déplace sur la tangente au cercle focal sur lequel il se trouve.

focal sur lequel il se trouve.

On reconnaît aisément, d'après ce que précède, que la surface engendrée par la révolution d'un ovale autour d'un axe situé dans son plan de symétrie n'admet pour sections planes que des ovales.

En effet, si F et F' sont, sur l'axe de rotation, deux sphères

avec l'équation :

$$\frac{x^2}{a^2} + \frac{y^2}{b^2} = 1$$

on trouve : $\frac{x^2}{a^2} + \frac{y^2}{b^2} = 1$ et les équations ϕ, ψ deviennent :

$$\frac{x^2}{a^2 - b^2} - \frac{y^2}{b^2} = 1 \quad (\phi')$$

$$\frac{x^2}{a^2 - b^2} + \frac{y^2}{b^2} = 1 \quad (\psi')$$

En faisant diverses hypothèses sur les signes et les grandeurs de a et de b , on reconnaît :

que la courbe ψ' est toujours réelle, c'est-à-dire, que toute conique admet deux systèmes de cercles focaux correspondant à ses deux axes;

que la courbe focale est imaginaire si, b^2 étant positif, a^2 est négatif ou positif et inférieur à b^2 . Les deux cas correspondent au petit axe de l'ellipse ou à l'axe non transverse de l'hyperbole.

Ainsi, en résumé, les ovales qu'on pourrait décrire au moyen de deux sphères focales ne diffèrent pas des ovales déjà observés, par la construction des foyers.

(1) Cette condition s'applique avec l'ovale un double contact réel ou imaginaire peut servir de distinction aux cercles focaux et aux foyers. C'est cette distinction qui a permis de généraliser la notion de foyer et de l'appliquer aux cas les plus généraux. Nous reviendrons dans la note suivante sur ce sujet.

Cours de Géométrie descriptive de M. Haug (Apprendre) Édition 26.

focales de la courbe donnée, les distances de tous les points de la surface à ces deux optiques seront liées par une relation de la forme :

$$\mu p + \mu' p' = \text{constante}$$

ce qui démontre la proposition énoncée.

S'ignation :

$$\cos \theta = A p + B + C \frac{1}{p}$$

qui ne diffère que par le terme constant B de celle d'un cercle, fait voir que l'ovale passe par les deux points circulaires situés à l'infini.

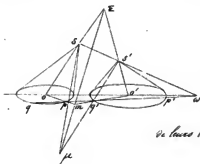
Ces points sont pour la courbe des points de rebroussement imaginaires (Cayley).

Etant pour commencer, une construction géométrique très simple des ovales.

Soient deux cercles O, O' et un point ω pris sur la ligne qui joint leurs centres. Par ce point, menons une transversale quelconque T , joignons O à l'un des points où cette transversale coupe le premier cercle et faisons de même pour O' et le second cercle, nous obtenons ainsi deux cercles qui se coupent en m et le lieu du point m est un ovale dont O et O' sont deux foyers.

C'est la théorie des transversales appliquée au triangle $OO'm$ nous donne immédiatement que le rapport de mp à mp' est constant (1).

Si le point ω est sur l'un des cercles, l'ovale est un diamètre dont le centre sera coïncider avec le foyer double, si le point ω est un centre de similitude des deux cercles, l'ovale est une courbe conique.



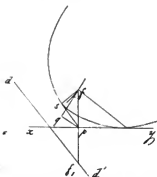
(1) Cette construction graphique est précisément celle qu'on aurait à effectuer pour trouver la trace horizontale d'un cône E passant par l'intersection de deux autres cônes à bases concourantes et tels que les lignes joignant leurs sommets S, S' aux centres de leurs bases passent concurremment au sommet du cône E .

Tous retrouverons fréquemment les ovales de Descartes dans la suite de ces leçons : ces courbes se représenteront naturellement à propos de la force et de la cycloïde et dans l'étude des courbes gauches obtenues par l'intersection d'une sphère avec une surface du second degré.

e. Chanette.

La chanette peut être géométriquement définie comme lieu du foyer d'une parabole qui roule sur une droite ⁽¹⁾.

La chanette a un sommet qui correspond à la position où l'axe de la parabole est perpendiculaire à la droite sur laquelle elle roule.



Les propriétés principales de la chanette se réduisent aisément de la définition précédente.

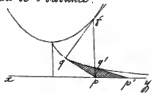
1°. La perpendiculaire abaissée du pied de l'ordonnée sur la tangente a une longueur constante.

En effet, soit pq cette perpendiculaire, et s le sommet de la parabole ; sp est la tangente au sommet, et les triangles

rectangles égaux sfp , pqf , donnent :

$$pq = sf = p \quad (2)$$

2°. L'arc de chanette mesuré à partir du sommet de la courbe est égal à la longueur de la tangente comprise entre son point de contact f et la projection q du pied de l'ordonnée.



Cette proposition résulte immédiatement de deux remarques qui seront faites plus loin (N° 8) sur la rectification des courbes en général.

(1) C'est aussi l'enveloppe de la directrice de cette même parabole : car il est aisé de voir que les points successifs de cette enveloppe sont les symétriques par rapport à xy des positions correspondantes du foyer.

(2) Il est facile de retrouver l'équation de la chanette en partant de cette propriété : le triangle fpq donne : $p \frac{dy}{dx} = \sqrt{y^2 - p^2}$
 d'où en intégrant : $y = \frac{p}{2} (e^{\frac{x}{p}} + e^{-\frac{x}{p}})$

3°. Le point q décrit une développée de la chaînette et cette développée jouit de cette propriété remarquable que sa tangente, comptée jusqu'à la brèche xy a une longueur constante po c'est une tractrice ⁽¹⁾.

4°. Courbure et diamètre de la chaînette. Les centres o_1 et o_2 sont faciles à construire. Le sont, page 68, les centres



de courbure au premier et au second ordre de la parabole. Le premier s'obtient en prenant l'intersection t de la normale à la parabole avec la tangente à la chaînette et prolongeant $o_1 t$ de sa propre longueur au delà de t ; le second en menant par o_2 la parallèle à xy , prenant son intersection e avec $o_1 f$ et prolongeant $o_2 e$ du double de sa longueur.

Connaissant les centres o_1, o_2, o_3 , on applique les constructions généralisées de la page 62, et l'on arrive aux résultats suivants:

Le centre de courbure du premier ordre o_1 est le symétrique de o , par rapport à la tangente à la courbe. en d'autres termes:

Le rayon de courbure de la chaînette est égal à la normale.

Le centre de courbure du second ordre o_2 est le symétrique de o_1 par rapport à la normale à la courbe. ⁽²⁾



Prolongeons pq de sa propre longueur au delà de p joignons le point f au point z avec obtenu: nous aurons le diamètre de la chaînette ou f ⁽³⁾.

Cette dernière construction fournit un moyen simple et direct pour

⁽¹⁾ Il est aisé de voir d'après la propriété de la tractrice que l'arc mixtiligne ppq compris entre xy , la courbe et deux tangentes, est égal au rayon que dans le cercle le rayon pq correspond à l'angle des deux tangentes.

⁽²⁾ Cette dernière propriété résulte plus immédiatement encore de l'application du théorème 1° car les mil. normaux à la normale à la chaînette sur laquelle les points $o_1 f$ et q , s'éloignent et eux, s'approchent constamment l'un de l'autre.

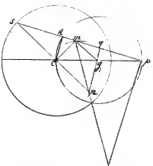
⁽³⁾ On obtient aussi le diamètre en menant le point z de la chaînette

résumée le centre de la Conique osculatrice. En effet, faisons
rouler la tangente fg sur la chaînette, elle entraînera avec
elle le point q qui suivra la trachée, le point p qui
suivra la croix xy , et enfin le point d qui suivra une
certaine trajectoire dont df sera à chaque instant la
normale. Mais df sera aussi à chaque instant le diamètre
de la chaînette au point f où il la rencontre. L'enveloppe
du diamètre et la développée de la trajectoire d sont donc une
même courbe dont les points s'obtiennent en appliquant au
point d dans le roulement de la tangente la construction de
Lagrange.

f. Courbe d'ombre de la vis à filet triangulaire.

Cette courbe, d'après la définition géométrique que on est
donnée dans l'étude des hélicoïdes est le lieu du point d'ombre
d'un point m d'une droite pm mobile autour d'un point fixe avec l'un des
côtés d'un angle droit pivotant autour du centre d'un cercle tandis que le
second côté rencontre pm sur ce cercle.

Construction de la tangente. Menons au centre c la
perpendiculaire ck sur pm . On a



$$SA \cdot SM = r^2 = \text{constante}$$

Mais les normales aux lieux
des points s et k sont normales,
le théorème II sur les sous-
normales donne donc immédia-
tement la normale à la
courbe d'ombre.

On est conduit à la construction
suivante.

Par m menons la perpendiculaire à cm et par le second
 g ou cette droite rencontrée cp la perpendiculaire à

au symétrique de o_2 par rapport à xy .

Notes de Géométrie descriptive de M. Haag (appruée) Janvier 27.

d'ombre est identique dans le cas actuel avec celle donnée à la suite § pour la strophoïde.

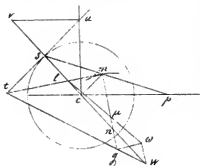
Autrement. Supposons qu'à partir de la position actuelle le rayon mobile $p m$, on remplace dans la génération de la courbe le cercle par sa tangente en s . On aura en outre, outre la construction pour cette tangente, un nouveau lieu tangent au précédent on me prouvera qu'il aura avec les deux points constructifs communs. Mais les faisceaux $p m$ et $c m$ étant homographiques, ce nouveau lieu est une conique, et il est facile de reconnaître que cette conique qui passe en m , en c et en p passe aussi par le pied q de la perpendiculaire abaissée de p sur la diamètre cs , et a pour tangente en c la perpendiculaire cy à cp : les deux cordes $c m$, $p q$ étant parallèles, la droite si qui joint leurs milieux est le diamètre conjugué de leur direction et c'est sur ce diamètre que doivent se couper les tangentes à la conique en c et en m , c'est à dire la droite cy et la tangente en m à la courbe d'ombre.

De là cette construction : mener par le point t où $p m$ coupe cy la parallèle à $c m$ jusqu'à sa rencontre en l avec cs : ml est la tangente à la courbe d'ombre en m (Monnier).

Remarque. Si l'on prolonge la tangente st jusqu'à ses intersections en u et en t avec cy et avec ml , la figure montre immédiatement que le point s est le milieu de tu .⁽¹⁾

(1) Cette remarque détermine la position des asymptotes par celle correspondante du point t : ces asymptotes sont les tangentes menées du point p au cercle : le cas où p est sur le cercle fait exception : mais alors le point q étant au milieu de $m m'$ (fig. 4) l'asymptote est symétrique par rapport à p de la tangente en c : il y a là un exemple de discontinuité assez remarquable.

Construction du centre de courbure : La remarque que nous venons de faire permet de trouver le normale au lieu des points t . En effet, les segments su , st étant constamment égaux, et le point s étant le point de contact de la droite tu avec le cercle qu'elle enveloppe, d'après le théorème I sur les sous-normales, la perpendiculaire uv à cy , et la normale tw à la courbe t doivent concorder. La droite cs ou son prolongement v et w symétriques par rapport au centre.



D'ailleurs les droites st et cm étant constamment parallèles, les déplacements simultanés de m et c et t sont en projection sur la direction perpendiculaire cs comme cm est à st , si donc on prolonge la normale à la courbe d'ombre jusqu'à sa rencontre en n avec cs , les longueurs mn et tw pouvant être considérées comme des quantités proportionnelles aux vitesses des points m et t qu'on aurait portés sur les normales à leurs trajectoires.

Mais les deux points m et c sont constamment situés sur la tangente à la courbe d'ombre, on en déduit donc conclure : (D'après ce qui a été vu, page 76) le point où toute droite passant par m et faisant avec mt un angle constant touche son enveloppe. Appliquant cette construction à la normale, on obtiendra le centre de courbure.

Il est facile de reconnaître que la construction à laquelle on est ainsi conduit revient à première vue mn un point g , tel que :

$$\frac{mg}{mn} = \frac{tg}{tw}$$

g étant l'intersection de tw avec mn .

Si donc on mène par g une parallèle à la tangente, et si on mène par g une parallèle à la normale, ces droites se coupent en w , et c'est en w que la normale à la courbe d'ombre.

Note 7.

Sur les courbes et les courbes de courbes planes

généralités.

Si dans la fonction géométrique d'une courbe, il entre un paramètre variable et qu'on attribue à ce paramètre une série de valeurs, on aura une série de courbes.

Si le paramètre variable entre au premier degré dans l'équation de la courbe ⁽¹⁾, il passera par tout point du plan une courbe, ou la série et une seule : la série sera simple. Elle sera multiple dans le cas contraire et son degré de multiplicité représentant le nombre de courbes réelles ou imaginaires qui passent par un point donné du plan sera égal au degré de l'équation de la courbe obtenue par rapport au paramètre variable. Les points du plan se distingueront alors suivant le nombre de racines réelles que donnera l'équation précédente où l'on remplace les coordonnées variables de la courbe par celles du point. Et l'on sera arrivé à décomposer le plan en zones telles que pour tous les points d'une même zone, le nombre de racines réelles sera le même : les courbes de séparation de ces zones seront les lieux des points donnant des racines doubles ou multiples, ce seront les enveloppes des courbes de la série.

Revenons au cas de la série simple et soit α le paramètre variable. Comme il passe par chaque point du plan une courbe et une seule, il en résulte qu'à chaque point du plan correspond une valeur et une seule du paramètre. On peut donc en adoptant une dénomination proposée par l'auteur considérer ce paramètre comme une fonction du point et les courbes de la série seront le lieu des points pour lesquels la fonction de point est constante : ces courbes pourront donc servir à la représentation de la fonction. Mais comme elles représentent également toute fonction rationnelle de α , il

⁽¹⁾ Équation rapportée à un système de coordonnées quelconques d'ailleurs et, mais supposée algébrique et rationnelle.

venant se liéger l'étude géométrique de la série de courbes de l'étude algébrique de la fonction à laquelle elle se est pas nécessairement liée.

Systeme de réseaux
enveloppant à une série.

Soient données une série simple A, A', A'', \dots , on peut toujours supposer qu'à partir d'un point fixe on a l'une des courbes qui a enveloppé un mobile on se déplace en couvrant constamment les courbes de la série qu'il rencontre sous un angle donné θ : on obtient ainsi une courbe. Supposons et en choisissant le point de départ ou point on a une seconde série C , simple comme la première, ces deux séries forment un réseau qui peut être orthogonal puisque l'angle sous lequel les courbes se courent est le même en tout point du plan.

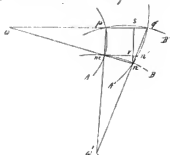


Toutes les séries obtenues en faisant varier θ forment deux à deux des réseaux orthogonaux, les réseaux sont orthogonaux, quand les courbes des deux séries se coupent à angle droit.

On conçoit que l'étude de ces différents réseaux soit de même nature que celle de la série propre.

Relations entre les courbes
des courbes d'un réseau.

Considérons la quadrilatère infinitésimal $mnpq$ formé par deux couples de courbes orthogonales infiniment voisines, et soient ω, ω' les



points de concours des côtés opposés; il est facile de reconnaître que ces points sont à la limite les centres de courbure de A et B , car si l'on suppose, par exemple, que B et B' coïncident, A se représente indéfiniment de A , m et p deviennent les normales à la courbe A en m et p , c'est-à-dire en deux points consécutifs.

Notons par n une parallèle à pm et par v une parallèle à pn et ces droites se coupent en v et les triangles semblables mpm , mvn donneront :

$$\frac{mn}{\cos} = \frac{nv}{mp}$$

mais nv qui est la différence entre m et p peut être pris également

pour la différence entre $m p$ et $n q$ ⁽¹⁾, et l'on a conséquemment :

$$\frac{m n}{\omega m} = \frac{\frac{\delta m p}{m p} m n}{m p} \quad (2)$$

c'est-à-dire en remplaçant $m n$ et $m p$ par les arcs δs et $\delta s'$ dont les différences sont de quantités négligeables et substituant à ωm sa limite :

$$(a) \quad \frac{1}{\epsilon} = \frac{\frac{\delta \delta s}{\delta s} \delta s'}{\delta s \cdot \delta s'}$$

d'où est tirée : le rayon de courbure de l'une des courbes orthogonales qui se joignent en m et est égal à la différence entre les côtés du rectangle infinitésimal qui sont parallèles à cette courbe, divisé par l'arc du rectangle.

Théorème de Lamé

Considérons actuellement le faisceau formé par les tangentes aux courbes L isogonales ou m . L'angle α que fait ce faisceau avec une position arbitraire quelconque est une fonction de point qui n'admet en chaque point d'un plan qu'une seule valeur. La somme des variations de cette fonction sera donc nulle toutes les fois qu'on parcourra un contour fermé quelconque.

(1) Car le triangle $n s q$ donne : $n q - n s = \omega \times n q \times \sin \theta$ et si θ tend vers $\frac{\pi}{2}$, cette différence est négligeable à côté des termes que l'on conserve.

Il n'en serait plus de même si les deux courbes considérées au lieu d'être orthogonales faisaient entre elles un angle θ : on observerait alors que la limite de ω n'est plus le cosinus de l'angle de courbure de A , mais sa projection sur l'oblique ωm et en tenant compte de la différence entre $n q$ et $n s$, on serait conduit à la relation :

$$(a') \quad \frac{1}{\epsilon \sin \theta} + \frac{1}{\epsilon' \sin \theta'} = - \frac{\frac{\delta \delta s}{\delta s} \delta s'}{\delta s \cdot \delta s'}$$

qui, combinée avec la relation conjuguée :

$$(a'') \quad \frac{1}{\epsilon' \sin \theta'} + \frac{1}{\epsilon \sin \theta} = - \frac{\frac{\delta \delta s'}{\delta s'} \delta s}{\delta s \cdot \delta s'}$$

donnerait :

$$(a''') \quad \frac{\sin \theta}{\epsilon} = \frac{\frac{\delta \delta s}{\delta s} \delta s'}{\delta s \cdot \delta s'} - \cos \theta \frac{\frac{\delta \delta s'}{\delta s'} \delta s}{\delta s \cdot \delta s'}$$

(2) Afin de ne laisser aucune incertitude sur le sens précis des notations employées il est nécessaire d'insister sur la signification du symbole $\frac{\delta m p}{m p}$. En général m étant une fonction de point telle que $q(x, y)$ a un déplacement défini correspond un accroissement de u qui sera :

$$\frac{\partial q}{\partial x} \delta x + \frac{\partial q}{\partial y} \delta y$$

et c'est cet accroissement que nous désignerons pour abréger par :

$$\frac{\delta u}{\delta s} \delta s$$

δs étant la longueur du déplacement : il est d'ailleurs facile de s'assurer que nous a adopté de notations comme pour les différentielles ordinaires :

$$\frac{\delta u v}{\delta s} \delta s = u \frac{\delta v}{\delta s} \delta s + v \frac{\delta u}{\delta s} \delta s$$

Apr. l'un ou l'autre annexe au contour m.n.p.q et désignons par e et e' les angles de contingence relatifs aux arcs m.p, m.n. Nous verrons quelque soit la disposition de la figure à la relation

$$\frac{\delta \mathcal{L}}{\delta s'} ds' + \frac{\delta \mathcal{L}'}{\delta s} ds = 0$$

c'est à dire en remarquant que : $c = \frac{ds}{\tau}$ $c' = \frac{ds'}{\tau'}$

$$\frac{\delta \frac{1}{t}}{\delta s} + \frac{\delta \frac{1}{t'}}{\delta s} + \frac{1}{t} \frac{\delta ds}{\delta s} \frac{ds'}{ds} + \frac{1}{t'} \frac{\delta ds'}{\delta s} \frac{ds}{ds'} = 0$$

ou à cause du théorème précédent:

$$(6) \quad \frac{d\frac{1}{t}}{ds} + \frac{d\frac{1}{t'}}{ds} + \frac{1}{t^2} + \frac{1}{t'^2} = 0.$$

Elle est la relation $\frac{d^2}{ds^2}$ par l'arc s et dont nous retrouvons plus loin l'extension aux courbes orthogonales tracées sur une surface (!)

Touche entre les courbes
de toutes les courbes isogonales
qui passent en un point m.

Soit maintenant p le rayon de courbure d'une courbe isogonale C faisant avec la courbe B du réseau un angle θ et soit q le point où

cette courbe rencontre la courbe Π' . En appelant ϵ et ϵ' les angles de contingence des arcs m, n et ϵ celui de l'arc m, q , on a évidemment :



$$\varepsilon = c + c'$$

puisque les angles ne sont que les variations de la fonction de point à point plus haut. Il s'en suit d'ailleurs que ρ le rayon de courbure de la courbe C on en déduit par $\varepsilon, \varepsilon'$ comme précédemment les rayons de courbure des courbes A' et B , on aura :

$$\frac{\pi R_1^2 \rho}{\rho} = \frac{\pi R_1^2}{\tau} + \frac{\pi R_1^2}{\tau'}$$

et comme le triangle mng est à la limite rectangle on a :

$$(c) \quad \frac{1}{\rho} = \frac{\cos \theta}{r} + \frac{\sin \theta}{r'}$$

Par les centres de courbure de toutes les courbes isogonales qui passent en un point on voit qu'ils sont sur une même droite.

Il est évident qu'en chaque point du réseau il existe une courbe ayant une inflexion en ce point, et que la courbe qui lui est orthogonale est celle dont la courbure est la plus grande.

Le mode même de démonstration qui nous a conduit aux résultats

(11) Si les courbes considérées au lieu d'être orthogonales, faisaient entre elles un angle θ , on substituerait à $\frac{\partial \xi}{\partial s} \frac{\partial s}{\partial \xi}$, $\frac{\partial \xi}{\partial s} \cos \theta$, $\frac{\partial \xi}{\partial s} \sin \theta$, en prenant toujours la 1^{re} de la page précédente, on aurait encore:

$$\frac{\partial \sqrt{\frac{1}{2}}}{\partial s'} + \frac{\partial \sqrt{\frac{1}{2}}}{\partial s} + \frac{1}{\sin \theta} \left(\frac{1}{r^2} + \frac{2 \cos \theta}{r^2} + \frac{1}{r^2} \right) = 0$$

présentes montre suffisamment quelle était la marche à suivre pour arriver à ces relations plus complexes tant soit aux les éléments caractéristiques d'ordre supérieur tels que la vibration et les variations de ces éléments (1).

Théorème de Plücker

Nous nous bornons, pour terminer ce chapitre à mentionner le théorème suivant relatif aux foyers.

Lorsque deux séries simples de courbes algébriques sont orthogonales entre elles, les courbes qui les composent sont toutes homofocales (Kummer.)

Nous revenons à théorème généralisé dans l'état des surfaces.

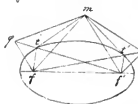
Exemples de réseaux orthogonaux.

1° Courbes homofocales ou bifocales du second degré.

Considérons toutes les ellipses et toutes les hyperboles ayant même foyers ff' , ces courbes forment deux séries simples si on les prend orthogonales puisque les tangentes respectives aux deux courbes qui se croisent en un point sont les bissectrices de l'angle mf' . (2)

L'étude géométrique du réseau ainsi obtenu n'est pas importante. Nous énonçons ses principales propriétés en rappelant d'abord quelques théorèmes élémentaires sur les sections coniques.

I. Les tangentes menées d'un point extérieur à une section conique sont également inclinées sur les rayons vecteurs allant de ce point aux foyers.



Résulte immédiatement de la considération des triangles qmf' , $qm'f'$ qui sont égaux comme ayant leurs deux côtés respectivement égaux.

La même figure fait voir que l'angle $mf't$ est égal à l'angle $mf't'$.

Ainsi

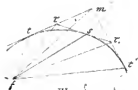
II. La droite qui joint un foyer au sommet d'un angle circonscrit à l'ellipse, est bissectrice de l'angle des rayons vecteurs qui vont de ce foyer aux points de contact.

(1) On en trouverait encore les vibrations des infinitésimales courbes algébriques qui peuvent fixer un point ou la relation

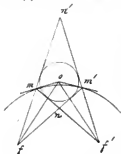
(d) $\frac{tg \delta}{\frac{1}{r^2}} = \cos^2 \theta \frac{tg \delta}{\frac{1}{r^2}} + \sin^2 \theta \frac{tg \delta}{\frac{1}{r^2}} = \left(\frac{1}{r^2} + \frac{1}{r^2} \right) \frac{\sin \theta \cos \theta}{\frac{1}{r^2}}$ où $tg \delta$ représente la vibration de la courbe C, $tg \delta'$ et $tg \delta''$ celles des courbes A et B.

(2) Si deux courbes ont deux centres foyers communs, les normales à ces courbes en leurs points d'intersection forment avec les rayons vecteurs qui vont aux centres des courbes foyers un faisceau harmonique.

Cours de Géométrie descriptive de M. Haug, (Appendice) Section 29.

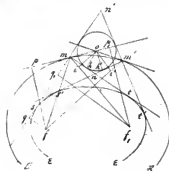


III. La portion d'une tangente mobile comprise entre deux tangentes fixes est vue d'un foyer sous un angle constant



IV. Le quadrilatère formé par les quatre rayons vecteurs qui vont des foyers d'une conique à deux points m et m' pris sur la conique est circonscriptible au cercle.

Soient enfin deux coniques homofocales, deux ellipses par exemple, par deux points m et m' pris sur l'ellipse extérieure E menons les tangentes



à l'ellipse intérieure e. Menons aussi les tangentes à la conique extérieure en m et m' et soit o le point de concours de ces droites. Abaissons de o les perpendiculaires oh et oh', oi et oi' sur mt, m's', mf, m'f, nous aurons :

$$\frac{oh}{oi} = \frac{\sin omh}{\sin omi} \quad \frac{oh'}{oi'} = \frac{\sin om'h'}{\sin om'i'}$$

or d'après le théorème précédent :

$$oi = oi'$$

donc :

$$\frac{oh}{oh'} = \frac{\sin omh}{\sin omi} \times \frac{\sin om'i'}{\sin om'h'}$$

mais si l'on abaisse de foyer f, les perpendiculaires f₁p, f₁q sur ma, m's, m'a :

$$\frac{f_1p}{f_1q} = \frac{f_1m}{f_1m'} \cdot \frac{\sin omi}{\sin om'i'}$$

$$\frac{f_1p}{f_1q} = \frac{f_1m}{f_1m'} \cdot \frac{\sin (\pi - omi - omh)}{\sin omi} = \frac{f_1m}{f_1m'} \cdot \frac{\sin (omi + omh)}{\sin omi}$$

d'où

$$\frac{f_1p}{f_1q} = \frac{\sin (omi + omh)}{\sin omi}$$

l'autre foyer donnera de même :

$$\frac{f_2p}{f_2q} = \frac{\sin (omi - omh)}{\sin omi}$$

La cc' est une tangente mobile à la conique :

$$cfc' = \frac{1}{2} cfs + \frac{1}{2} c'fs = \frac{1}{2} cfc'$$

c'est. à. dire que

un quelconque membre à membre et remarquant que les produits $f_1 \times f_2$, $f_2 \times f_3$, $f_3 \times f_4$, sont respectivement égaux aux carrés des deux axes B et b des deux ellipses, il vient :

$$\frac{b^2}{B^2} = \frac{\ln^2(\cos i + \cos h) \ln^2(\cos i - \cos h)}{\ln^4 \cos i} \\ = \frac{\ln^2 \cos i - \ln^2 \cos h}{\ln^4 \cos i}$$

si on suppose $\frac{\ln^2 \cos h}{\ln^2 \cos i} = 1 - \frac{b^2}{B^2}$

on aurait de même : $\frac{\ln^2 \cos h}{\ln^2 \cos i} = 1 - \frac{b^2}{B^2}$

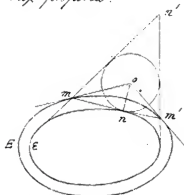
ou en corollaire : $\frac{b^2}{B^2} = 1$

c'est-à-dire que le point o est équidistant des tangentes mn et $m'n'$. Mais étant situé à l'intersection des tangentes on et $m'n'$ à la conique E , ce point est déjà équidistant des tangentes ms et mt , $m's'$ et $m't'$. Donc ces quatre tangentes touchent un même cercle ou cercle ω et l'on a ce théorème qui est l'extension du précédent.

V. Les quatre tangentes menées de deux points d'une conique à une conique homofocale forment un quadrilatère circonscriptible au cercle.

La réciproque de ce théorème se démontre sans difficulté.

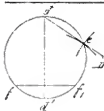
On en conclut que le quadrilatère complet formé par les quatre tangentes à des coniques opposées situées deux à deux sur des coniques homofocales aux propriétés.



Supposons que les deux côtés mn , $m'n'$ viennent à coïncider : le quadrilatère se réduit à un triangle. Le cercle inscrit touche mn en n , et l'on a ce théorème qui est un corollaire du précédent.

Étant menée la tangente en un point n d'une conique E , le pôle de cette droite relativement à une conique homofocale à la première, est situé sur la normale en n à la conique E .

Mais une droite quelconque D est toujours tangente ou l'un ou les deux à une conique du réseau ⁽¹⁾, à l'exception précédente, on



(1) Le cercle passant par les deux foyers du réseau et par le point d'intersection ω de la droite avec la perpendiculaire au milieu de ff' , coupe précisément cette droite au point unique et toujours réel où elle touche l'une des coniques du réseau.

peut être substituée celle-ci.

VI. Le lieu des foyers d'une courbe dans un réseau de coniques homofocales est une seconde courbe perpendiculaire à la première au point où celle-ci est touchée par celle des coniques du réseau à laquelle elle est tangente (1).

On voit d'après ce théorème qu'il existe en chaque point du plan deux droites rectangulaires qui sont conjuguées par rapport à toutes les coniques du réseau. Ce sont les tangentes respectives aux deux coniques qui passent en ce point : ce sont aussi les axes de la conique caractéristique dont il a été question page 10, et l'on voit par conséquent que les courbes du réseau peuvent être considérées comme les lignes de courbure d'une surface du second degré infiniment aplatie dont l'une des courbes du réseau, \mathcal{C} , serait une section principale, tandis que l'axe conjugué à cette section formerait vers 0. D'après une remarque facile ailleurs (page 140) ces coniques caractéristiques sont isohomologiques de celles du réseau relativement à leurs centres. Leurs asymptotes sont les tangentes menées par leur centre à \mathcal{C} .

Si l'on considère en particulier l'un des foyers, les deux coniques infiniment aplaties qui passent en ce point formeront une infinité de couples de tangentes rectangulaires qui sont conjuguées relativement à toutes les courbes du réseau : on retrouve ainsi une propriété connue des foyers.

D'ailleurs la conique homologique qui a son centre au foyer est un cercle. Les asymptotes imaginaires du cercle sont donc les tangentes menées de ce foyer à toutes les coniques du réseau, ou, en d'autres termes,

VII. Toutes les coniques homofocales peuvent être considérées comme inscrites dans un

(1) La démonstration de ce théorème peut sembler incomplète, puisque nous n'avons considérée que le cas de deux ellipses \mathcal{C} et \mathcal{C}' . Mais d'abord la raisonnerait s'élève immédiatement au cas de deux hyperboles et le théorème VI se trouve aussitôt naturellement démontré toutes les fois que les foyers sont pris dans les coniques de même espèce que celle touchée par la droite \mathcal{D} . Si les foyers sont pris dans les coniques d'espèce contraire, vers les ellipses par exemple, tandis que la droite \mathcal{D} touche en \mathcal{C} une hyperbole, la normale à \mathcal{C} touche l'hyperbole en \mathcal{C}' touchera en ce point une ellipse, ces foyers relatifs aux ellipses seront donc situés sur la droite \mathcal{D} , et à cause de la réciproque entre foyers et polaires, les foyers de \mathcal{D} relatifs à ces mêmes ellipses appartiendront à \mathcal{D} .

même parallélogramme imaginaire dont les deux foyers sont deux sommets réels et qui a pour ses quatre autres sommets les foyers imaginaires de ces mêmes coniques et les deux points circulaires situés à l'infini.

Ce théorème établit un rapprochement important entre les propriétés des coniques homofocales et celles plus générales appartenant à un système de coniques inscrites dans un quadrilatère ⁽¹⁾; il rattache directement l'étude du réseau homofocal à la définition générale d'un foyer (page 16) et permet d'arriver au point de départ à cette étude et la notion sur laquelle il repose ne s'écartant pas des conceptions purement géométriques.

Les théorèmes qui précèdent fournissent la démonstration d'une seule proposition que nous avions énoncée à la fin de la note 5 et qui consiste en ce que :

Un polygone à périmètre maximum inscrit dans une ellipse a ses côtés tangents à une ellipse homofocale et réciproquement.

Un polygone à périmètre minimum circonscrit à une ellipse a ses sommets situés sur une ellipse homofocale et réciproquement.

On voit de plus que l'énoncé peut être généralisé dans le premier cas en supposant que les sommets du polygone soient assésés à être

(1) Un pencil système de coniques, comme l'on sait, d'une seule double de coniques.



Les tangentes aux deux coniques qui se croisent en un point forment un faisceau harmonique avec les droites qui joignent à part à deux sommets opposés du quadrilatère.

Les tangentes menées d'un point à toutes les coniques du réseau forment deux faisceaux en involution.

Il y a toujours une conique du réseau et une seule touchant une droite donnée.

Les pôles d'une droite D dans les coniques du réseau sont situés sur une seconde droite Δ : ces deux droites sont les tangentes aux coniques qui se croisent en leur point d'intersection.

Et par conséquent, on supposant la droite D à l'infini :

Les centres de toutes les coniques du réseau sont situés sur une même ligne droite (droite, droite unique, pages 39 et suivantes).

On voit comment les propriétés des coniques homofocales découlent de ces théorèmes plus généraux.

Cours de Géométrie descriptive de M. Haug (Appendice) Livraison 30

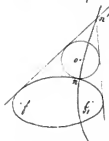
autres non pas une seule même ellipse, mais une infinité d'ellipses homofocales.

D'après un théorème général dû à Cordelet, s'il existe un polygone fermé à la fois inscrit à une conique et circonscrit à une autre conique, tous ceux qui en circonscrivent de même s'ajoutent une infinité de fois à eux-mêmes.



En appliquant ce théorème aux coniques homofocales, on voit qu'une conique admet toujours une infinité de polygones inscrits, de même nombre de côtés, à périmètre maximum, qui sont tous circonscrits à une même conique homofocale: et une infinité de polygones circonscrits de même nombre de côtés, à périmètre minimum, qui sont tous inscrits dans une même conique homofocale.

De plus tous les polygones inscrits et tous les polygones circonscrits sont isopérimétriques, ainsi que nous l'avons déjà observé.

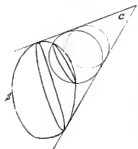


Remarquons enfin que le premier énoncé du théorème VI donne immédiatement la proposition suivante:

Le lieu des points de concours des tangentes communes à une conique et à une suite de cercles touchant la conique en un point fixe est une seconde conique passant par le point fixe et homofocale à la première⁽¹⁾.

⁽¹⁾ Cette propriété des coniques se rattache au théorème suivant qu'elle peut servir à démontrer:

Le lieu des sommets des cônes de révolution circonscrits à une surface du second ordre est une conique passant par le pôle de la surface et homofocale à la section principale qui engendre cette surface (plusieurs énoncés en effet (ce qui sera démontré plus tard) que deux surfaces du second degré inscrites dans une troisième se coupent suivant deux lignes planes, et ont une courbe de révolution circonscrite à la surface proposée S . Cette phrase quelconque inscrite dans le cône engendra la surface S suivant



Nous aurons à revenir sur les uniques homofocales dans la note suivante à propos de la rectification des courbes du second degré.

2°. Ovals homofocaux.

Les ovales qui ont mêmes foyers principaux (réels ou imaginaires) forment un réseau orthogonal (HART.)

Soient f_1, f_2 les trois foyers communs. Soit θ l'angle toujours réel. L'équation des ovales en prenant ce foyer pour pôle sera de la forme :

$$(a) \quad \cos \theta = A\rho + B + C \frac{1}{\rho}$$

avec les conditions

$$\frac{4AC + 1 - B^2}{2A} = ff_1 + ff_2 = m$$

$$\frac{C}{A} = ff_1 \times ff_2 = n$$

entre les trois coefficients A, B, C . Éliminant B et C entre ces trois équations, on arrive à la relation :

$$(b) \quad A^2 \left(\rho - \frac{n}{\rho} \right)^2 - 2 \left[\left(\rho + \frac{n}{\rho} \right) \cos \theta - m \right] A - \sin \theta = 0$$

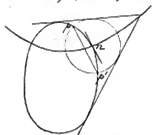
qui donne pour chaque point du plan deux valeurs de A correspondant à deux ovales. Mais si l'on appelle ν l'angle sous lequel l'un de ces ovales coupe le rayon vecteur, cet angle est lié à A par la relation :

$$\tan \nu = \frac{\rho d\theta}{d\rho} = \frac{A \left(\frac{n}{\rho} - \rho \right)}{\sin \theta}$$

et l'on voit d'après l'équation (b) que les deux valeurs de $\tan \nu$ correspondant

un cercle donc, en particulier, une sphère inscrite dans la tige et touchant la surface la touchera en l'un de ses ombilics. Les ombilics des tiges sont donc tous dans le plan principal des ombilics et dès lors le théorème de géométrie plane énoncé dans le texte énonce immédiatement celui de Steiner.

Mais ce même théorème fournirait à son tour une extension au théorème de géométrie plane, car si l'on considère la série des sphères inscrites dans les tiges et passant par une section circulaire déterminée de la surface, on obtient



dans le plan principal une série de cercles coupant la conique située dans ce plan suivant une corde fixe pp' parallèle à la tangente en n , et l'on voit que le théorème énoncé dans le texte prouve les cercles qui touchent la conique en n s'étend à tous les cercles coupant la conique suivant des cordes parallèles à la tangente en n .

Cette remarque fournit un nouvel exemple de la démonstration d'un théorème de géométrie plane par la géométrie à trois dimensions.

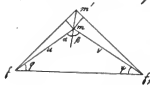
à celles de A auront leur produit égal à -1 ce qui démontre le théorème).

Il est à remarquer que les points désignés comme foyers de l'ovale étant, ainsi qu'on l'a vu, les centres de cercles de rayon nul doublement tangents à la courbe, ces points rentrent bien dans la définition générale des foyers (page 16).

Le théorème de Hart se rattache donc au théorème général de Steiner énoncé plus haut. (1)

d. Coordonnées
à foyers et à tangentes équilatères.

Les coordonnées bipolaires d'un point étant u et v , appelons φ et ψ ses coordonnées triangulaires relatives aux mêmes pôles f et f_1 .



Les angles α et β que fait avec les rayons vecteurs un déplacement infinitésimal m en m' sont déterminés par les deux formules :

$$\frac{\sin \alpha}{\sin \beta} = \frac{u \frac{\partial \varphi}{\partial v}}{v \frac{\partial \psi}{\partial u}} = \frac{\sin \varphi \frac{\partial \varphi}{\partial \psi}}{\sin \psi \frac{\partial \psi}{\partial \varphi}}$$

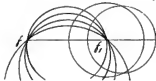
ou encore que si deux séries de courbes donnent,

l'une en coordonnées bipolaires, l'autre en coordonnées triangulaires, des valeurs de $\frac{\partial u}{\partial v}$, $\frac{\partial \varphi}{\partial \psi}$ qui satisfassent en chaque point du plan à la relation :

$$(a) \quad \left(\frac{\partial u}{\partial v} \right) : \left(\frac{\partial \varphi}{\partial \psi} \right) = \frac{u}{v} = \frac{\sin \varphi}{\sin \psi}$$

ces deux séries formeront un réseau orthogonal.

Cette remarque permet de déterminer simplement un assez grand nombre de réseaux orthogonaux.



Soit, par exemple, une série de cercles appartenant à deux points conjugués f, f_1 situés sur une diamétre commune à tous ces cercles. L'équation générale de cette série sera

(1) Or, si un cercle de rayon nul est doublement tangent à une courbe, le point de contact des tangentes communes au cercle et à la courbe est le centre même du cercle, et par conséquent ces tangentes sont les asymptotes du cercle, ou on s'en tient, elles passent par les points circulaires à l'infini.

F représentant une fonction géométrique quelconque d'ailleurs. Les nouveaux rayons vecteurs décrivent deux nouvelles courbes C C' .

Pi. les deux premières se coupent en un point μ , les deux nouvelles se coupent au point correspondant m et si l'on forme à partir de ce point aux rayons \bar{u} et \bar{v} les accroissements géométriques μv $\mu \pi$, on a $d\bar{u}$ $d\bar{v}$, \bar{u} et \bar{v} prennent les accroissements $m\pi$, $m\rho$ ou $d\bar{u}$ $d\bar{v}$. Mais d'après les relations (A)

$$\frac{d\bar{u}}{d\bar{v}} = \frac{F'(\bar{u})}{F'(\bar{v})} \frac{d\bar{u}}{d\bar{v}} = \frac{d\bar{u}}{d\bar{v}}$$

le triangle $m\rho\pi$ est donc semblable au triangle $\mu v\pi$ et par suite les courbes C C' se coupent sous le même angle que les courbes Γ Γ' .

Ainsi toute transformation conservant ions elle qui nous venons de définir conserve la similitude infinitésimale des figures planes.

Si l'on prend pour la relation (A) l'équation générale du premier degré.

$$\bar{v}\bar{u} + \bar{a}\bar{v} + \bar{b}\bar{u} + \bar{c} = 0$$

où \bar{a} \bar{b} \bar{c} sont des constantes géométriques, on a la transformation par rayons vecteurs réciproques (Eucas) ⁽¹⁾.

(1) Car cette équation peut s'écrire.

$$(\bar{v} + \bar{b})(\bar{u} + \bar{a}) = \bar{K}$$

et sous cette forme elle exprime que le produit géométrique des rayons vecteurs allant de m et de μ aux points fixes a et b est constant; ou en d'autres termes, que le produit algébrique des longueurs ma , μb est constant quand ces rayons forment d'angles égaux et de signes contraires.



Note 8.

Sur la rectification des courbes planes.

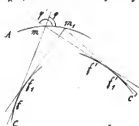
Le problème de la rectification des courbes est un de ceux dont la solution analytique offre de assez grandes difficultés. Il n'est donc pas sans intérêt d'indiquer ici comment ce problème peut se résoudre dans un assez grand nombre de cas par de simples considérations géométriques.

I. Rectification des Caustiques.

Quand une droite de longueur variable ab ou l se déplace, si l'on appelle ds ds' les chemins élémentaires parcourus par ses extrémités, α et β les angles que font ces déplacements avec la direction de la droite prolongée au-delà de a et de b , on a toujours en négligeant les infiniment petits du deuxième ordre :

$$dl = ds \cos \alpha + ds' \cos \beta$$

Appliquons cette relation aux côtés mf mf' d'un angle variable mf qui touche en f et f' deux courbes fixes.



En désignant par ds le déplacement mm , du point m et par ds' les chemins parcourus par les points de contact sur les courbes C et C' , ces chemins étant comptés positivement dans le sens fm , $f'm$, nous aurons :

$$dl = -ds + ds' \cos q$$

$$dl' = -ds' + ds \cos q'$$

Si maintenant les courbes C et C' qui touchent les côtés de l'angle sont caustiques réciproques relativement à la courbe Δ ,

$$\cos. q = n \cos. q'$$

on voit que $\sin. n\alpha' = -ds + n\delta s'$

ou en indiquant entre deux tenues :

$$(\mu q - n \mu q') - (mf - n mf') = -(\sin. f q - n \sin. f' q')$$

en tenant compte, bien entendu, du signe des arcs



Si les deux courbes sont caustiques par réflexion, $n = \pm 1$ et l'on a par exemple dans le cas de la figure :

$$\mu q + \mu q' + \sin. f q + \sin. f' q' = mf + mf'$$

c'est-à-dire que le contour angulaire $\{q, q', f, f'\}$ est constant lorsque le point p se déplace.

On d'autres termes, la trajectoire mp est celle que décrit la pointe d'un rayon qui se déplacerait à partir de la position m en maintenant toujours tendu le fil $mf + mf'$ dont les extrémités seraient fixées en f et f' et qui perdrait le mouvement communiquant sur la courbure des courbes C et C' .

En opérant facilement à l'aide de dérivation aux différents cas possibles en changeant des sommes en différences et en trouvant ainsi une équation se rapprochant de celle de l'hyperbole comme la précédente se rattache à celle de l'ellipse ⁽¹⁾

Les remarques permettent la rectification immédiate de la courbe C' toutes les fois que la courbe C est un point ou une courbe déjà rectifiée.

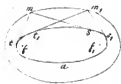
Si la courbe C n'est pas rectifiable, on pourra trouver sur les courbes C et C' des arcs dont la somme ou la différence sera rectifiable, c'est-à-dire des arcs associés.

Application aux sections coniques.
Théorèmes de Graves,
Mac Laggan & Chasles.

En appliquant les considérations qui précèdent aux coniques C homofocales, et en se rappelant (Note 7) qu'une conique est toujours sa propre caustique par réflexion relativement à une conique homofocale quelconque, on arrive aux théorèmes suivants.

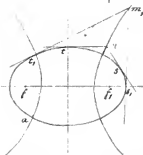
I. Si d'un point m on tire une ellipse homofocale à une ellipse

⁽¹⁾ à chacune de ces deux équations, on ajoute pour deux courbes données C et C' une série de courbes A : ces deux séries sont orthogonales.



on mène les tangentes mt ms à cette ellipse, le contour nichilique mt as m a une longueur indéterminée de la position du point m sur l'ellipse elliptique (Graves)

II. Si d'un point m pris sur une hyperbole homofocale à une ellipse donnée,



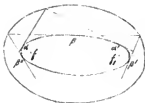
on mène les tangentes mt ms à cette ellipse, en appelant a le point d'intersection des deux coniques situées dans l'angle opposé au apex, la différence des contours nichiliques at on, as on est constamment nulle, quelle que soit la position du point m sur l'hyperbole (Mac Cullagh)

Les deux théorèmes s'énoncent facilement

en cas où la conique donnée est une hyperbole

Soit prenons, étant pris un arc quelconque $\alpha \alpha'$ sur une ellipse

et un point β , se détermine à tracer de ce point deux arcs $\beta \beta'$ $\beta \beta''$ adjacents à $\alpha \alpha'$ et coïncidant avec lui une différence ou par lui complètement à l'ellipse entière, avec somme rectifiable.



Le β coïncide avec l'une des extrémités de $\alpha \alpha'$, β'' coïncide avec l'autre extrémité.

L'analyse démontre d'ailleurs d'une façon générale qu'un arc d'ellipse ou d'hyperbole ne saurait être rectifié, il en résulte le théorème suivant.

Étant pris deux arcs adjacents $\alpha \alpha'$ $\beta \beta'$ sur une conique, les points de rencontre des tangentes en α et α' , β et β' sont sur une même conique homofocale à la première (1).

(1) Car s'il n'en était pas ainsi, on pourrait se parer d'autre, de β par exemple, déterminer deux arcs adjacents à $\alpha \alpha'$ et différents tous deux de $\beta \beta'$.

Soient $\beta \gamma$ $\beta \gamma'$ ces deux arcs on aurait alors,

$$\beta \gamma \pm \beta \gamma' = \text{un arc rectifiable}$$



Si l'on prenait le signe + $\beta \gamma'$ serait rectifiable, ce

Conte de Géométrie descriptive de M. Haug (Appendice) Livraison 32

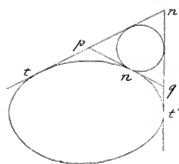
Mais si $\alpha\alpha' - \beta\beta'$ est rectifiable, $\alpha\beta - \alpha'\beta'$ l'est aussi : donc $\alpha\beta$ et $\alpha'\beta'$ sont associés. Donc enfin : le quadrilatère complet formé par les quatre tangentes aux points $\alpha\alpha'\beta\beta'$ a ses six sommets situés deux à deux sur des coniques homofocales à la proposée, ce qui complète l'énoncé précédent.

En rapprochant ce résultat de celui déjà connu (page 114) on est conduit à la proposition suivante :

Un quadrilatère formé par les quatre tangentes aux extrémités de deux arcs associés est toujours circonscriptible au cercle (Chasles).

Corollaires. I. Si en un point d'une conique on décrit avec un rayon arbitraire un cercle tangent à la conique et qu'on mène ensuite les tangentes communes aux deux courbes, ces tangentes déterminent à partir du point de contact deux arcs associés sur la conique.

II. Un polygone à périmètre minimum circonscrit à une conique détermine sur cette conique une série d'arcs associés.



On a vu (page 87) que la lémniscate était la courbe réciproque de l'hyperbole équilatère relativement à son centre : il existe entre les arcs correspondants de ces deux courbes la remarquable relation suivante :

À des arcs associés d'hyperbole équilatère correspondent des arcs égaux sur la lémniscate et réciproquement (Chasles)

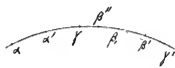
Démontrons d'abord le lemme suivant :

Les t, t' sont deux positions de la tangente à l'hyperbole équilatère m et m' leurs points de contact, μ leur commune intersection, on a :

$$\mu m \cdot \mu t' = \mu m' \cdot \mu t$$

En effet, puisque que les arcs μt et $\mu t'$ sont égaux, nous avons :

$$\mu t \cdot \mu t' = \mu s \cdot \mu s'$$



qui est impossible ; si l'on prenait le signe - comme on peut déterminer à partir de β et dans le sens opposé à $\beta\beta'$ un arc $\beta\beta''$ dont la différence avec $\beta\beta'$ est rectifiable, il s'en suit que $\beta\gamma$ serait rectifiable : ce qui est également impossible.

c'est à dire à cause de $ms = mt$, $m's' = m't'$:

(1^{re} figure)

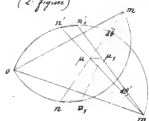


$$(mt + \mu m)(m't' - \mu m') = (mt - \mu m)(m't' + \mu m')$$

d'où l'on tire, en simplifiant, la relation cherchée.

Considérons maintenant (2^e figure) les deux points n et n' de la terminale où les deux tangentes ts et $t's'$ se supposent que le point μ se déplace en restant sur une ellipse homofocale à l'hyperbole proposée. A un déplacement $\mu\mu_1$ de μ correspondent pour n et n' les déplacements nn_1 , $n'n'_1$.

(2^e figure)



Ces arcs infiniment petits de terminale s'approchent aussi aux cercles décrits sur om' comme diamètres. Leur valeur peut donc s'écrire en appelant $\delta\theta$ et $\delta\theta'$ les angles $\mu, m\mu$, $\mu_1, m_1\mu_1$:

$$nn_1 = om \cdot \delta\theta \quad n'n'_1 = om' \cdot \delta\theta'$$

mais $\mu\mu_1$, étant également incliné sur $m\mu$ et $m_1\mu_1$, les angles $\delta\theta$ et $\delta\theta'$ sont liés par :

$$m\mu \cdot \delta\theta' = m_1\mu_1 \cdot \delta\theta$$

donc :

$$m_1\mu_1 \cdot \frac{n'n'_1}{om'} = m\mu \cdot \frac{nn_1}{om}$$

c'est à dire, à cause du lemme et comme $om = mt$, $om' = m't'$.

$$n'n'_1 = nn_1$$

ainsi lorsque le point μ se déplace sur une ellipse homofocale à l'hyperbole équilatère, l'arc de terminale na et $n'a'$ s'accroît en quantités égales à ses deux extrémités.

Si le point μ se déplace sur une hyperbole homofocale, on diminue de même que l'arc na et $n'a'$ est constant.

Si l'on observe que le cercle décrit sur om comme diamètre coupe la terminale aux deux points n et n' (1) le résultat précité peut prouver s'écrira en disant que : les cercles décrits sur les rayons d'une unique homofocale à l'hyperbole équilatère touchant sous la terminale les arcs na et $n'a'$ tels que - arcs na et arcs $n'a'$ = constante.

La correspondance remarquable qui résulte de ce théorème fournit

(1) Un cercle passant au centre ne coupe la terminale qu'en deux points parce que les points situés à l'infini sont deux points doubles imaginaires de la conique.

pour les arcs égaux de l'involute, un assez grand nombre de propriétés relevant des propriétés géométriques sur les arcs adhérents des centres courbés.

II. Rectification des roulettes et des enveloppes de courbes mobiles.

I. Lorsque'une courbe peut être considérée comme trajectoire d'une point mobile dans le roulement de deux courbes C, K l'une sur l'autre, l'arc élémentaire ds de cette courbe est donné par la relation :

$$ds = L d\alpha$$

où L désigne le rayon om qui va de m au point de contact des courbes roullantes et $d\alpha$ l'angle dont tourne toute la figure dans le temps dt , c'est-à-dire la différence algébrique $\varepsilon - \varepsilon'$ des angles de contingence correspondants sur les courbes C et K à une même accélération de l'arc.

L'arc de roulette s'écrit pendant que le point o se déplace de oo' sur K sera donc :

$$(A) \quad s(oo') = \int_0^{o'} L(\varepsilon - \varepsilon')$$

II. Lorsque'une courbe peut être considérée comme l'enveloppe d'une courbe mobile dans le roulement de deux courbes C, K l'une sur l'autre, l'arc élémentaire de cette courbe est donné par l'expression :

$$ds = h d\alpha \pm d\varepsilon$$

où $d\alpha$ a la même signification que dans la relation précédente, où h représente la longueur de la normale op abaissée du centre instantané sur la courbe mobile et $d\varepsilon$ le déplacement élémentaire du point p sur cette courbe.

Remplaçant comme précédemment $d\alpha$ par $\varepsilon - \varepsilon'$, et intégrant entre les mêmes limites, on a :

$$(B) \quad \sigma(oo') = \int_0^{o'} h(\varepsilon - \varepsilon') \pm \varepsilon(oo')$$

Les formules (A) et (B) donnent lieu à quelques remarques :

A. Si, sans changer la courbe roullante, on modifie la base du roulement de façon à ce que les valeurs de $\varepsilon - \varepsilon'$ qui correspondent aux valeurs successives de L ou de h soient simplement multipliées par une constante n .

L'arc de nouvelle roulette sera égal à n fois l'arc de roulette primitive, puis

entre les mêmes limites ;

L'axe de la même enveloppe sera égal à π fois l'axe de l'enveloppe qui sera plus ou moins $(1-\pi)$ fois l'axe $\Sigma(00')$ de la courbe enveloppée.

Cette simple remarque suffirait immédiatement :

la rectification des épicycloïdes (y compris la cycloïde et le cardioides) par la comparaison avec l'épicycloïde qui est une droite (cette droite étant dans un cercle de rayon double).

la rectification des enveloppes de droites dans tout mouvement épicycloïdal par la comparaison avec le cas où ces enveloppes sont des cercles (cette droite étant sur un cercle de rayon moitié que lui est intérieur).

la rectification de la chaînette par la comparaison avec la droite qu'on obtient en remplaçant la base rectiligne par une parabole symétrique de la parabole roulante relativement à leur tangente commune ;

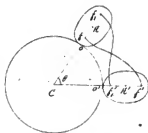
la comparaison entre les axes d'ellipses et les axes d'épicycloïdes allongés ou raccourcis, y compris les cycloïdes allongés et raccourcis et le limaçon de Pascal.

B. S'il existe entre les rayons vecteurs l, l'' qui vont de différents points du plan mobile à un point de la courbe roulante une relation linéaire telle que :

$$ml + m'l' + m''l'' + \dots = M$$

en $m, m', m'', \dots M$ étant des constantes, la même relation a lieu entre les axes directs consécutivement par les points m, m', m'', \dots .

Application aux foyers de l'ellipse et des ovales de Descartes en général.



Si l'on considère le cas d'une ellipse roulante sur un cercle, les deux foyers décrivant la même courbe, la formule donne la longueur de l'axe ff' ou f, f' de cette courbe comprise entre deux tangentes consécutives : cet axe est $a(\pi + \theta)$ en appelant $2a$ la grande axe de l'ellipse et θ l'angle $f'of$.

Application au roulement d'un cercle sur une courbe quelconque.

Deux points situés sur un même diamètre et conjugués par rapport au cercle ont la relation $l = \pi l'$.

C. S'il existe entre les normales h, h'' abaissées d'un point de la courbe roulante sur les courbes mobiles M, M', M'', \dots une relation linéaire telle que :

Cours de Géométrie descriptive de M. Haug (Appendice) Livraison 33.

$$m h + m' h' + m'' h'' + \dots = M$$

les différences des arcs σ d'enveloppes avec les arcs Σ d'enveloppées qui leur correspondent sont liées par la même relation.

Application aux enveloppes de trois droites quelconques : si l'on appelle S la surface du triangle formée par les trois droites et a, a', a'' les trois côtés de ce triangle, on a (en tenant compte des signes)

$$a h + a' h' + a'' h'' = 2S$$

Si les trois droites passent par un même point, cette relation doit être remplacée par la suivante :

$$h \sin(A' A'') + h' \sin(A'' A') + h'' \sin(A A') = 0$$

Application au cas où la courbe roulante est une droite : dans ce cas, deux droites quelconques du plan mobile donnent une relation de la forme :

$$m h + m' h' = M$$

Application au cas où deux courbes roulantes sont caustiques secondaires réciproques relativement à la courbe roulante.



On a, d'après la troisième de la page 50)

$$h = m h'$$

Si la base du roulement est une droite et si la caustique est par réflexion, il y a toujours deux caustiques secondaires dont les enveloppes sont des



courbes symétriques par rapport à cette base. En désignant par σ les arcs égaux de ces enveloppes, et par Σ, Σ' les arcs des caustiques secondaires, on aura :

$$2\sigma = \Sigma + \Sigma'$$

et l'on voit que les enveloppes seront rectifiables toutes les fois que leurs enveloppées le seront.

Dans le cas particulier où la courbe M se réduit à un point p $\Sigma = 0$, Σ' est alors double de l'arc de perçure de la courbe roulante relativement à p et l'on a la troisième :

L'arc de roulette tracé par un point est égal à l'arc de perçure de la courbe roulante par rapport à ce point et entre les mêmes limites (Steiner).

Applications : rectification de la chaînette (la perçure est la tangente à la parabole en son sommet) - rectification de la courbe d'involute par les foyers d'une conique roulant sur une droite (la perçure

est une courbe.)

D. Ses tangentes $B+C$ d'intersection dans le triangle au cas où il existe une relation linéaire entre les rayons vecteurs ℓ, ℓ' ... de plusieurs points mobiles de la normale BB' abaisse sur plusieurs courbes mobiles.

Application aux foyers et aux directrices des sections coniques.

E. Supposons qu'un des côtés d'un angle droit tourne autour d'un point fixe a tandis que l'autre côté décrit une certaine courbe R . Le second côté enveloppera une courbe M dont R sera la perçue relativement à a . Et d'après la relation (B) l'arc d'enveloppe sera

$$\int 0, p da + \Sigma \dots \text{ ou bien } \int \ell da + Dn$$

en appelant da l'angle droit tourné as ou ℓ autour du

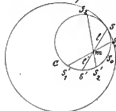
point a , Dn l'accroissement de la sous normale n correspondant aux limites de l'intégral

Application au cas de la lunulaire. Les axes de la courbe décrite par la courbe lorsque son lunulaire croise sur une droite s'expriment en fonction des axes correspondants d'hyperbole équilatère.

Application au cas de la parabole. Les axes de la courbe enveloppe de cet arc d'un angle droit dont le sommet décrit la parabole, tandis que l'autre côté' passe au foyer, s'expriment en fonction des axes de chaînette et sont par conséquent rectifiables.

Application aux sections coniques.

Appliquons les remarques précédentes à l'étude comparative des axes des sections coniques.



Soit d'abord un cercle de rayon r roulant à l'intérieur d'un cercle de rayon double : un point m du plan mobile engendrera une ellipse dont l'arc correspondant au roulement $S_1 S_2$ du petit cercle sera $B(S_1 S_2) = \int_{S_1}^{S_2} \frac{\ell ds}{2r}$ en appelant ℓ la longueur ms et S l'arc parcouru par le point de contact à partir d'un point S_1 du petit cercle.

Mais si l'on prolonge les côtés de l'angle S, m, S_2 jusqu'à leur intersection en S'_1, S'_2 avec le petit cercle, à ce nouveau arc de cercle $S'_1 S'_2$ correspondra un nouvel arc d'ellipse et si l'on convient d'effectuer du signe - les arcs correspondant à un roulement négatif, cet arc sera

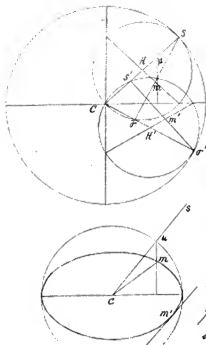
$$B(S'_1 S'_2) = - \int_{S'_1}^{S'_2} \frac{\ell' ds'}{2r}$$

$$\text{donc } E(S_1 S_2) - E(S'_1 S'_2) = \int_{S_1}^{S_2} \frac{\ell ds}{2r} + \int_{S'_1}^{S'_2} \frac{\ell' ds'}{2r}$$

$$\text{ou à cause de } \ell ds + \ell' ds' = 0$$

et en appliquant aux signes des limites correspondantes

$$E(S_1 S_2) - E(S'_1 S'_2) = \int \frac{(\ell + \ell') ds + ds'}{2r} = 2r \int \sin \frac{\pi s}{2r} \times \frac{ds + ds'}{2r} = 2r \left(\sin \frac{S_2 + S'_2}{2r} - \sin \frac{S_1 + S'_1}{2r} \right)$$



Il est d'ailleurs facile de reconnaître le mode de correspondance des points qui limitent ces arcs sur l'ellipse. la figure ci-jointe montre immédiatement que la tangente en l'un de ces points m est parallèle au rayon CS du cercle C qui correspond à l'autre point.

Mais les rayons du cercle C correspondent à ceux du cercle décrit sur le grand axe et dont l'ellipse est la projection, on voit que si l'on appelle m et m' les coefficients angulaires des tangentes aux points correspondants, on aura :

$$m m' = \frac{b}{a}$$

et l'on vérifie facilement que les arcs obtenus indéfiniment par cette relation sont en somme les particuliers de deux arcs donnés par les théorèmes de Steiner et de Steiner.

Théorème de Steiner.

Supposons actuellement qu'étant pris comme précédemment le cercle et rayon ϵ et le point m dans son plan, on laisse le cercle et le point m immobiles et qu'on fasse tourner autour du point l'un des côtés d'un angle droit tout le triangle tout adjoint à cette surface du cercle. le second côté enveloppera une conique dont le point m sera le foyer, et que sera une ellipse si comme dans le cas de la figure, le point m est intérieur au cercle. l'axe élémentaire de cette conique sera, d'après la remarque E.

$$dE = d\overline{mn} + l d\varphi$$

ou, à cause de $d\varphi = \frac{ds' ds'}{2\epsilon}$, et d'après la valeur trouvée pour l'axe d'ellipse circulaire :

$$dE = d\overline{mn} + \frac{l ds'}{2\epsilon} + dE$$

mais au point m occupé par le diamètre Km, un point quelconque passant par le même construction une hyperbole enveloppe tout l'axe élémentaire correspondant au même arc de cercle d'où sera :

$$dY = d\overline{\mu\nu} + \lambda d\psi$$

ou à cause de :

$$d\psi = \frac{ds' ds'}{2\epsilon} \quad \text{et de} \quad \lambda = Rl$$

$$dY = d\overline{\mu\nu} + \frac{Rl ds'}{2\epsilon} - R dE$$

on en déduit, éliminant $\frac{l ds'}{2\epsilon}$ et intégrant entre des limites correspondantes :

$$Y - RE + 2KE = \Delta(\overline{\mu\nu} - R\overline{mn})$$

c'est dans cette relation entre deux arcs d'ellipse et un arc d'hyperbole que consiste le théorème de Steiner.



MAG







